

PAMUKKALE ÜNİVERSİTESİ FEN BİLİMLERİ ENSTİTÜSÜ

EJEKTÖRLÜ SOĞUTMA SİSTEMLERİNDE R410A KULLANIMI

**YÜKSEK LİSANS TEZİ
İlker GÖKAY**

Anabilim Dahı : Makine Mühendisliği

Programı : Tezli Yüksek Lisans

Tez Danışmanı: Prof. Dr. Rasim KARABACAK

Haziran,2012

YÜKSEK LİSANS TEZ ONAY FORMU

Pamukkale Üniversitesi Fen Bilimleri Enstitüsü 09110022 nolu öğrencisi İlker GÖKAY tarafından hazırlanan “**Ejektorlu Soğutma Sistemlerinde R410a Kullanımı**” başlıklı tez tarafımızdan okunmuş, kapsamı ve niteliği açısından bir Yüksek Lisans tezi olarak kabul edilmiştir.

Tez Danışmanı : Prof. Dr. Rasim KARABACAK (PAÜ)
(Jüri Başkanı) 

Jüri Üyesi : Doç. Dr. Serhan KÜÇÜKA (DEÜ) 

Jüri Üyesi : Yrd. Doç. Dr. Gülay YAKAR (PAÜ) 

Pamukkale Üniversitesi Fen Bilimleri Enstitüsü Yönetim Kurulu'nun
04/07/2012 tarih ve ...17/16.... sayılı kararıyla onaylanmıştır.


Fen Bilimleri Enstitüsü Müdürü
Prof. Dr. Nuri KOJSUZ

Bu tezin tasarımlı, hazırlanması, yürütülmesi, araştırmalarının yapılması ve bulgularının analizlerinde bilimsel etiğe ve akademik kurallara özenle riayet edildiğini; bu çalışmanın doğrudan birincil ürünü olmayan bulguların, verilerin ve materyallerin bilimsel etiğe uygun olarak kaynak gösterildiğini ve alıntı yapılan çalışmalarla atfedildiğine beyan ederim.

İmza



Öğrenci Adı Soyadı : İlker GÖKAY

ÖNSÖZ

Bu tezin hazırlanmasında değerli yardımcılarını esirgemeyen ve her türlü kolaylığı gösteren Sayın Prof. Dr. Rasim KARABACAK hocama; hayatımın her anında olduğu gibi tez çalışmamda da bana manevi destek veren aileme teşekkürlerimi bir borç bilirim.

Haziran 2012

İlker Gökay

Makine Mühendisi

İÇİNDEKİLER

	<u>Sayfa</u>
ÖZET.....	xii
SUMMARY.....	xiii
1. GİRİŞ	1
1.1 Tezin Amacı.....	4
1.2 Literatür Özeti.....	4
2. SOĞUTUCU AKIŞKANLAR, BUHAR SIKIŞTIRMALI SOĞUTMA SİSTEMLERİ VE ELEMANLARI.....	7
2.1 Soğutucu Akışkanlar	7
2.2 Buhar Sıkıştırmalı (Mekanik) Soğutma Çevrimi	14
2.3 Ejektör Genleştiricili Kompresörlü Soğutma Çevrimi Sistem Elemanları.....	16
2.3.1 Ejektör	16
2.3.2 Separatör.....	16
2.3.3 Kompresör	17
2.3.4 Kondenser	17
2.3.5 Genleşme Valfi	18
2.3.6 Evaporatör	18
2.4 Ejektör Genleştiricili Kompresörlü Soğutma Çevrimi.....	19
2.5 Sistemin Termodinamik Analizi	21
2.5.1 Kompresörün Birinci Kanun Analizi	21
2.5.2 Genleşme Valfi Birinci Kanun Analizi	22
2.5.3 Ejektör Birinci Kanun Analizi	22
2.5.3.1 Tahrik Memesinin Termodinamik Analizi ($1 \sim 1_b$)	23
2.5.3.2 Emme Memesinin Termodinamik Analizi ($2 \sim 2_b$)	23
2.5.3.3 Ejektörün Sabit Kesitli Karışım Odasının Termodinamik Analizi ($1_b \sim 2_b \sim 3_m$).....	24
2.5.3.4 Ejektörün Difüzör Kısmının Termodinamik Analizi ($3_m \sim 3_d$)	24
2.5.4 Evaporatörün Termodinamik Analizi	25
2.5.5 Kondenser Birinci Kanun Analizi.....	25
2.6 Sistemin Kompresör Gücü (W_{komp}) Hesabı	26
2.7 Ejektörlü Sistemin Soğutma Performansı Katsayı (COP_i) Hesabı	26
2.8 Klasik Soğutma Sisteminin Soğutma Performansı Katsayı (COP_k) Hesabı	26
2.9 Ejektörlü Sistemin Soğutma Performansı Katsayılarındaki İyileşme Oranının (COP_r) Hesabı	27
2.10 Ejektörlü Sistemin Optimum Ejektör Alan Oranının (A_{opt}) Hesabı	27
2.11 Ejektörlü Sistemin Kompresör Sıkıştırma Oranının (ϵ) Hesaplanması.....	27
3. ARAŞTIRMA METODUNUN OLUŞTURULMASI.....	28
3.1 Modelin Belirlenmesi	28
3.1.1 Sabit Basınç Modeli	28
3.1.2 Sabit Alan Modeli	28
3.2 Hesaplama Methodunun Oluşturulması	33
3.3 Sistem Parametrelerinin Belirlenmesi.....	33

3.4 Hesaplamlarda Kullanılacak Yazılım Programının Oluşturulması.....	33
4. BULGULAR VE TARTIŞILMASI.....	35
4.1 Farklı Kondenser Sıcaklıklarına Göre Kütlesel Debi Oranına Bağlı Olarak Soğutma Kapasitesi Değişimlerinin İncelenmesi	36
4.2 Farklı Evaporatör Sıcaklıklarına Göre Kütlesel Debi Oranına Bağlı Olarak Soğutma Kapasitesi Değişimlerinin İncelenmesi	41
4.3 R22 ve R410a Soğutucu Akışkanlarının Kondenser Sıcaklık Değişimine Bağlı Olarak Optimum Ejektör Alan Oranlarının Değişiminin İncelenmesi.....	48
4.4 Farklı Evaporatör Sıcaklıklarına Göre Çeşitli Soğutucu Akışkanların Ejektör Alan Oranı Değişimlerinin İncelenmesi.....	49
4.5 Farklı Soğutucu Akışkanlar için Kütlesel Debi Oranına Bağlı Olarak Kompresör Sıkıştırma Oranı Değişimlerinin İncelenmesi	50
4.6 Farklı Kondenser Sıcaklıkları için R22 ve R410a 'nın Kütlesel Debi Oranı (w) - Kompresör Sıkıştırma Oranı (ϵ) Değişimlerinin İncelenmesi.....	51
4.7 Farklı Evaporatör Sıcaklıkları için R22 ve R410a 'nın Kütlesel Debi Oranı (w) - Kompresör Sıkıştırma Oranı (ϵ) Değişimlerinin İncelenmesi.....	52
4.8 Kondenser Sıcaklık Değişimine göre Soğutucu Akışkanların Soğutma Performansı İyileştirilme Oranlarının İncelenmesi.....	53
4.9 Kondenser Sıcaklık Değişimine göre R22 ve R410a Soğutucu Akışkanlarının Soğutma Performansı İyileştirilme Oranlarının İncelenmesi	54
4.10 Evaporatör Sıcaklık Değişimine göre Soğutucu Akışkanların Soğutma Performansı İyileştirilme Oranlarının İncelenmesi.....	55
4.11 Evaporatör Sıcaklık Değişimine göre R22 ve R410a Soğutucu Akışkanlarının Soğutma Performansı İyileştirme Oranlarının İncelenmesi	56
5. SONUÇLAR.....	57
6. ÖNERİLER.....	58
KAYNAKLAR	59
EKLER.....	61

KISALTMALAR

ODP	: Ozon Delicilik Potansiyeli Katsayı
GWP	: Küresel Isınma Potansiyeli Katsayı
COP	: Soğutma Performansı Etkinlik katsayı
COP_i	: Ejektörülü soğutma sisteminin etkinlik katsayı
COP_k	: Klasik soğutma sisteminin etkinlik katsayı
COP_r	: Ejektörülü soğutma sisteminin etkinlik katsayılarındaki iyileşme oranı
b	: Primer ve sekonder akışların karmaşma odasına giriş durumu
d	: Difüzör
e	: Evaporatör
f	: Doymuş sıvı
g	: Doymuş buhar
i	: Ejektörülü sistem
is	: İzentropik
k	: Klasik soğutma sistemi
kon	: Kondenser
komp	: Kompresör
m	: Karışmış akışın karmaşma odası çıkış durumu
n	: Sesüstü lülesi
opt	: Optimum
s	: Emme Odası
1b	: Karmaşma odası girişindeki primer akışın durumu
2b	: Karmaşma odası girişindeki sekonder akışın durumu
3m	: Karmaşma odası çıkışındaki karışmış akışın durumu
3d	: Difüzör çıkışındaki karışmış akışın durumu
EES	: Engineering Equation Solver Programı

TABLO LİSTESİ

Tablolar

2.1 : Karışım Halinde Bulunan Soğutkanlar	27
2.2 : Saf Halde Bulunan Soğutkanlar.....	28
2.3 : Bazı soğutucu akışkanların ODP ve GWP değerleri	29
3.1 : R410a için Elde Edilen Optimum P_b ve P_{3m} Değerleri.....	48
3.2 : Hesaplamada Kullanılan Değişken ve Sabit Parametre Değerleri	49

ŞEKİL LİSTESİ

Şekiller

2.1 : Tek kademeli buhar sıkıştırmalı soğutma çevrimi.....	14
2.2 : Tek kademeli ideal bir soğutma çevriminin P-h ve T-s diyagramı.....	15
2.3 : Ejektör	16
2.4 : Seperatör.....	16
2.5 : Kompresör	17
2.6 : Kondenser.....	17
2.7 : Genleşme Valfi	18
2.8 : Evaporatör	19
2.9 : Ejektör Genleştircili Kompresörlü Soğutma Çevriminin Tesisat Şeması ve P-h Diyagramı.....	19
2.10 : Ejektörün Şematik Gösterimi	20
3.1 : Sabit Basınç Modelli Ejektörün Şematik Gösterimi.....	28
3.2 : Sabit Alan Modelli Ejektörün Şematik Gösterimi.....	29
4.1 : $T_{kon}=35\text{ C}^{\circ}$, $T_{ev}=5\text{ C}^{\circ}$ için $Q_{ev}-w$ Değişimi.....	36
4.2 : R717 için $T_{ev}=5\text{ C}^{\circ}$ ve Farklı Kondenser Sıcaklıklarını için $Q_{ev}-w$ Değişimi.....	37
4.3 : $T_{kon}=40\text{ C}^{\circ}$, $T_{ev}=5\text{ C}^{\circ}$ için $Q_{ev}-w$ Değişimi.....	38
4.4 : $T_{kon}=45\text{ C}^{\circ}$, $T_{ev}=5\text{ C}^{\circ}$ için $Q_{ev}-w$ Değişimi.....	39
4.5 : $T_{kon}=50\text{ C}^{\circ}$, $T_{ev}=5\text{ C}^{\circ}$ için $Q_{ev}-w$ Değişimi.....	40
4.6 : $T_{kon}=40\text{ C}^{\circ}$, $T_{ev}=0\text{ C}^{\circ}$ için $Q_{ev}-w$ Değişimi.....	41
4.7 : R717 için $T_{kon}=40\text{ C}^{\circ}$ ve Farklı Evaporatör Sıcaklıklarını için $Q_{ev}-w$ Değişimi	42
4.8 : $T_{kon}=40\text{ C}^{\circ}$, $T_{ev}=(-)5\text{ C}^{\circ}$ için $Q_{ev}-w$ Değişimi	43
4.9 : $T_{kon}=40\text{ C}^{\circ}$, $T_{ev}=(-)10\text{ C}^{\circ}$ için $Q_{ev}-w$ Değişimi	44
4.10 : $T_{kon}=40\text{ C}^{\circ}$, $T_{ev}=(-)15\text{ C}^{\circ}$ için $Q_{ev}-w$ Değişimi	45
4.11 : $T_{kon}=40\text{ C}^{\circ}$, $T_{ev}=(-)20\text{ C}^{\circ}$ için $Q_{ev}-w$ Değişimi	46
4.12 : $T_{kon}=40\text{ C}^{\circ}$, $T_{ev}=(-)25\text{ C}^{\circ}$ için $Q_{ev}-w$ Değişimi	47
4.13 : $T_{ev}=5\text{ C}^{\circ}$ için R22 ve R410a Soğutucu Akışkanlarının Kondenser Sıcaklık Değişimine Bağlı Optimum Ejektör Alan Oranı Değişimi	48
4.14 : $T_{kon}=40\text{ C}^{\circ}$ için R22 ve R410a Soğutucu Akışkanlarının Evaporatör Sıcaklık Değişimine Bağlı Optimum Ejektör Alan Oranı Değişimi	49
4.15 : $T_{kon}=35\text{ C}^{\circ}$, $T_{ev}=5\text{ C}^{\circ}$ için $\varepsilon - w$ Değişimi	50
4.16 : $T_{ev}=5\text{ C}^{\circ}$ ve Farklı Kondenser Sıcaklıklarını için R22 ve R410a 'nın Kütlesel Debi Oranı (w) - Kompresör Sıkıştırma Oranı (ε) Değişimleri	51
4.17 : $T_{kon}=40\text{ C}^{\circ}$ ve Farklı Evaporatör Sıcaklıklarını için R22 ve R410a 'nın Kütlesel Debi Oranı (w) - Kompresör Sıkıştırma Oranı (ε) Değişimleri	52
4.18 : $T_{ev}=5\text{ C}^{\circ}$ için Farklı Soğutkanların Kondenser Sıcaklığını Değişimine Bağlı Soğutma Performans Katsayısı İyileştirme Oranlarının Değişimi ...	53

4.19 : $T_{ev}=5\text{ C}^{\circ}$ için Kondenser Sıcaklık Değişimine göre R22 ve R410a Soğutucu Akışkanlarının Soğutma Performansı İyileştirme Oranlarının Değişimi	54
4.20 : $T_{kon}=40\text{ C}^{\circ}$ için Farklı Soğutkanların Evaporatör Sıcaklığı Değişimine Bağlı Soğutma Performans Katsayısı İyileştirme Oranlarının Değişimi	55
4.21 : $T_{kon}=40\text{ C}^{\circ}$ için Evaporatör Sıcaklık Değişimine göre R22 ve R410a Soğutucu Akışkanlarının Soğutma Performansı İyileştirme Oranlarının Değişimi	56

SEMBOL LİSTESİ

A_r	Ejektör alan oranı $[(a_{1b}+a_{2b}) / a_{1b}]$
a_{1b}	Primer akış bölgesinin alanı (m^2)
a_{2b}	Sekonder akış bölgesinin alanı (m^2)
a	Alan(m^2)
h	Özgül entalpi(kJ/kg)
\dot{m}	Kütle debisi(kg/s)
P	Basınç (kPa)
P_{1b}	Primer Akışkanın Ejektör Sabit Alan Karışım Odası Giriş Basıncı (kPa)
P_{2b}	Sekonder Akışkanın Ejektör Sabit Alan Karışım Odası Giriş Basıncı (kPa)
s	Özgül entropi(kJ/kgK)
T	Sıcaklık($^{\circ}C$)
T_{kon}	Kondenser Sıcaklığı($^{\circ}C$)
T_{ev}	Evaporatör Sıcaklığı($^{\circ}C$)
u	Hız(m/s)
v	Özgül hacim(m^3/kg)
\dot{W}	Güç(kW)
\dot{w}	Birim kütle için harcanan iş(kJ/kg)
w	Kütlesel Debi oranı (\dot{m}_2 / \dot{m}_1)
x	Kuruluk derecesi
η	İzentropik verim
η_n	Tahrik Memesi Verimi
η_s	Emme Memesi Verimi
η_d	Difüzör Verimi
η_k	Kompresör Verimi
ε	Kompresör Sıkıştırma Oranı
$Q_{çikan}$	Kondenserden Dış Ortama Aktarılan Isı Enerjisi (kW)
Q_{giren}	Evaporatörden Sisteme Dahil Olan Isı Enerjisi (kW)
K	Ejektör Karışım Odası Çıkışı Kütle Debisi (kg/s)

Alt İndisler

- b : Primer ve sekonder akışların karışma odasına giriş durumu
1b : Karışma odası girişindeki primer akışın durumu
2b : Karışma odası girişindeki sekonder akışın durumu
m : Karışmış akışın karışma odası çıkış durumu
3m : Karışma odası çıkışındaki karışmış akışın durumu
d : Difüzör
3d : Difüzör çıkışındaki karışmış akışın durumu
e : Evaporatör
f : Doymuş sıvı
g : Doymuş buhar
is : İzentropik
i : Ejektorlu sistem
k : Klasik soğutma sistemi
r : Ejektorlu sistem kullanımının klasik sisteme göre durumu
kon : Kondenser
komp : Kompresör
opt : Optimum
s : Emme Odası

ÖZET

EJEKTÖRLÜ SOĞUTMA SİSTEMLERİNDE R410A KULLANIMI

Bu çalışmada ejektörlü soğutma sistemlerinde R410A soğutucu akışkan kullanımının sistem performansına etkisinin araştırılması amaçlanmıştır. Ejektör genleştircili kompresörlü soğutma sistemi matematiksel olarak modellenerek Engineering Equation Solver (EES) yazılım programı yardımıyla sekiz farklı soğutucu akışkan kullanılarak farklı kondenser ve evaporatör sıcaklıklarını için uygulanmış sistemin soğutma kapasitesi ve kütlesel debi oranları elde edilmiştir. Elde edilen bulgular grafikleştirilerek sekiz farklı soğutucu akışkan, karşılaştırmalı olarak incelenmiştir. Ayrıca R410A soğutucu akışkanının kütlesel debi oranına bağlı olarak soğutma kapasitesi değerlerinin R22 soğutucu akışkanına yakın, kütlesel debi oranına bağlı çalışma aralığının ise R22 soğutucu akışkanına göre daha geniş olduğu elde edildi. Kyoto ve Montreal Protokollerine göre çevreye yaptığı olumsuz etkileri nedeniyle üretimi durdurulan ve 2020 yılından itibaren de kullanımı yasaklanacak olan R22 soğutucu akışkanı yerine R410A'nın kullanımının ejektörlü soğutma sistemlerinde iyi bir alternatif olabileceği gösterildi.

Anahtar Kelimeler: Soğutma Sistemleri, Soğutkan, Ejektör, Soğutma Kapasitesi, Kütlesel Debi Oranı

SUMMARY

USING REFRIGERANT R410A IN COOLING SYSTEMS WITH EJECTOR

In this study, we mainly focused on the effect of the system performance of the using R410A refrigerant at ejector cooling systems. After we have been mathematically modeled the cooling system which have a compressor and an ejector as a expander, we founded the system's cooling capacity values and mass flow rates values with the help of Engineering Equation Solver (EES) software program. Eight different refrigerants have been analyzed by comparing the graphics. We have founded the R410A refrigerant's cooling capacity values which depend on the mass flow rate values is close to R22 and also have a wider operating range than R22. According to the Kyoto and Montreal Protocols, production of R22 has been discontinued and also going to be banned after 2020. We investigated the R410A will be a good alternative for R22 at ejector cooling systems.

Key Words: Refrigeration Systems, Refrigerant, Ejector, Cooling Capacity, Mass Flow Rate

1. GİRİŞ

Yeryüzündeki canlılar için koruyucu bir perde görevi gören, dünyayı yerçekiminin etkisiyle saran gaz ve buhar tabakasına atmosfer denir. Dünyamızı çevreleyen atmosfer yedi katmandan oluşmaktadır. Bu katmanlardan ikincisi dünya yüzeyinin birkaç kilometre uzaklığında bulunan stratosferdir. Stratosferden yukarı çıktıktan sonra sıcaklık değerlerinde artış görülür. Bunun nedeni ozon tabakasının varlığı ile ilgilidir. Kimyasal formülü O₃ olan Ozon, oksijen ile allotropik özellik gösterir. Stratosferde bulunan ozon tabakası güneşten gelen zararlı ultraviyole ışınlarını absorbe eder ve dünyamızı güneşin tehlikeli elektromanyetik radyasyon etkisinden korur. Ozon tabakasının zarar görmesi canlılar için büyük bir tehlike oluşturur.

Güneşten yeryüzüne gelen ışınlar geriye dönerken atmosferde bulunan gazlar tarafından tutulmaktadır. Eğer bu gazların dengesi değişir ve güneş ışınları gaz tabakasının içerisinde daha uzun süre kalırsa bu durum sera etkisi yaratarak sıcaklık değerlerinin normal değerlerin üzerine çıkmasına neden olur. Bu durum küresel ısınma olarak tanımlanır.

Karbon emisyonun artması, ozon tabakasının incelmesi ve küresel ısınma birbirleriyle ilişkili sorunlardır. Bu sorunlar yeryüzündeki iklimsel değişikliklere ve insan sağlığına önemli derecede etki etmekte olup birlikte ele alınması gereken sorunlardır.

Soğutma sistemlerinde, ısının taşınması görevini yapan ara maddeler "soğutucu akişkan" veya daha kısaltılmış şekilde "soğutkan" olarak tanımlanmaktadır. Soğutkanların özelliklerinin bilinmesi soğutma sistemlerinin verimliliğinin artırılması açısından önemlidir.

1930'lu yıllarda CFC soğutkanlar kendilerinden önce kullanılan soğutkanlar için güvenilir alternatifler olarak piyasaya sürülmeye başlandı. Bu soğutkanların soğutma sistemlerinde kullanımı güvenli ve verimli olmalarından dolayı kısa süre içinde yaygınlaştı. 1950'li yıllarda ise HCFC soğutkanlar CFC soğutkanlara alternatif soğutkan olarak kullanılmaya başladı. (IIR, 2004)

1970'li yıllara gelindiğinde bilim adamları yaptıkları araştırmalarla ozon tabakasının atmosfere salınan zararlı gazlar nedeniyle incelmeye başladığını gözler önüne serdi. Bu incelmenin nedenlerinden bir tanesi de insanlar tarafından soğutma sistemlerinde kullanımı yaygınlaşan CFC (Kloroflorokarbon) ve HCFC (Hidrocloroflorokarbon) gazlarının yaygınlaşması idi. Bu gazlar stratosfere doğru yükselsek ozon tabakasını incelterek zarar veriyorlardı. (UNEP,2010)

Ozon tabakasının delinmesi ile ilgili küresel tartışmalar 1987 yılında gerçekleştirilen uluslararası Montreal Protokolünde ozon tabakasına zararlı maddelerin üretim ve kullanımının yasaklanması kararı ile sonuca bağlandı. Protokolden sonra CFC soğutkanlar 1996 yılına kadar ozon tabakasına daha az zararlı HCFC soğutkanlar yada hiç zararı olmayan HFC soğutkanlar ile yer değiştirmeye başladı.

1990'lı yıllarda soğutkanların küresel ısınmaya neden olduğu ile ilgili tartışmalar sonucu 1997 yılında gerçekleştirilen Kyoto Protokolünde gelişmiş ülkelerde HFC içeren sera gazlarının azaltılması kararı alındı.

Her iki protokolde günümüzde katılımcı ülkelerin uyum yükümlülüklerini yerine getirmelerini sağlamaktadır. Montreal ve Kyoto protokollerinde “Ozon Tabakasının Korunması”, “Sera Etkisinin Azaltılması” amacıyla ODP ve GWP değerleri düşük soğutkanların uzun vadede kullanılabilirliği sağlamak için tarihler belirlendi. 1996 yılından itibaren CFC üretiminin, 2010 yılından itibaren de HCFC üretiminin durdurulması kararı alındı. Fakat CFC soğutkanların üretimi yasaklandırılmış olmasına rağmen stokta çok sayıda bu tür soğutkanlardan bulunduğu için soğutma sistemlerinde kullanımları devam etmekteydi. Bu sorun karşısında dünya devletleri 2030 yılına kadar kademeli olarak CFC ve HCFC soğutkan kullanımının ortadan kaldırılmasını kararlaştırdı. (IIR, 2009)

Günümüzde, üretim ve kullanımı önlenecek olan CFC ve HCFC türü soğutkanların yerine alternatif soğutkanların belirlenmesine yönelik yapılan çalışmalar önem kazanmıştır. Yeni tasarlanan soğutma sistemlerinde CFC ve HCFC (R-22) soğutkanları kullanılmamaktadır. Ancak, HCFC (R-22) ile çalışan mevcut soğutma sistemlerinin servis bakım ihtiyacı için kullanılmak üzere HCFC-22 soğutkan üretimi 2020 yılına kadar sürdürülecektir.

R22, geçtiğimiz 40 yıl boyunca soğutma uygulamalarında tercih edilen ve kullanımı yaygın olan bir soğutkan oldu. Fakat Kyoto ve Montreal Protokoller sonucunda

freon üretiminin azaltılması tüketim maliyetlerinin artmasına ve R22 soğutkanına göre tasarlanmış eski tip soğutma sistemlerinin tamir ve bakım maliyetlerinin artmasına neden oldu. Amerika Birleşik Devletlerinde bu konu ile ilgili yapılan araştırma sonuçlarına göre 2012 yılı itbarıyla maliyet oranının %300 arttığı belirlenmiştir.(EPA,2012) Bu maliyetler göz önüne alındığında R22 kullanan soğutma sistemleri için alternatif soğutkanın bulunması büyük önem kazanmaktadır.

Alternatif soğutkanın kullanılacağı mevcut soğutma sisteminde ve aksamında tercihen hiçbir değişiklik yapılmaması ekonomik açıdan istenilen bir durumdur. Fakat, mevcut soğutkanlar arasında bu koşulu sağlayabilen bir soğutkan çıkmamıştır ve sistemde en az değişikliği gerektiren akışkan tercih edilmek durumundadır. Soğutkan dönüşümü yapılmadan önce soğutma kapasitesi ve verimlilik etkisinin belirlenmesi gereklidir.

Hidrokarbonların ve amonyağın soğutkan dönüşümünde önemi büyüktür fakat mevcut soğutma ekipmanları ve soğutma uygulamalarının büyük bir kısmında zehirsiz ve yanıcı olmayan R22 yerine ozon delme potansiyeli değeri (ODP) sıfır olan, yanıcı ve zehirli olmayan bir alternatif aranmaktadır. Soğutkan dönüşüm çalışmalarında R22'nin özelliklerini yansıtmak için çoklu kimyasal maddelerin kullanımının gereklisi test ve analiz ekipmanları üreticileri için pratik olmamaktadır.

Alternatif arayışlarında ASHRAE adlandırmaları ile R407C (R32-R125-R134a karışımı), R410A (R32-R134a karışımı) ve R417A (R125-R134a ve R600) olmak üzere üç karışım potansiyel alternatif olarak önerilmektedir. (TEAP,2010) Bu karışımının ortak özelliği her birinin zehirlilik ve yanıcılık açısından ASHRAE standartlarına göre en düşük risk olan A1/A1 sınıfı kriterlerini sağlamalarıdır.

1.1 Tezin Amacı

Bu çalışmada soğutkan olarak R22 kullanan buhar jetli ejektörlü bir soğutma sisteminde soğutkan olarak R410a dönüşümü yapılması durumunda sistemin soğutma performansında olabilecek değişimler ile bu tip bir soğutma sisteminin soğutma kapasitesi ve kompresör sıkıştırma oranı değerlerine külesel debi oranı faktörünün etkisi çeşitli soğutkanlarla karşılaştırılmış olarak incelenmiştir. Kademeli olarak 2030 yılına kadar ortadan kaldırılmasını kararlaştırılan R22 için buhar jetli ejektörlü bir soğutma sisteminde R410a soğutkanının iyi bir alternatif olabileceği konusu araştırılmıştır.

1.2 Literatür Özeti

Düşük sıcaklıkta ve yüksek vakum altında suyun buharlaştırılması ile çalışan sistemler su buharı jetli Soğutma Sistemleri olarak adlandırılır. Arthur Moncaster tarafından hazırlanan “The Westinghouse Machine Company” firmasına ait Ağustos 1909 tarihli “The Westinghouse-Leblanc” adlı yayında Buhar jetli soğutma ünitelerinin büyük soğutma sistemleri için kullanılabilir olduğu ilk kez literatürde yer almıştır. (Moncaster,A.,1909)

Buhar jetli sistemlerin klima sistemlerinde kullanılmaya başlaması 1930'lu yıllarda gerçekleşmeye başlamıştır. İlerleyen yıllarda ise buhar jetli ejektör çevrimlerinin yerini mekanik kompresörler kullanılan sistemler almıştır. İlerleyen zamanlarda ise ejektörlü soğutma sistemlerinin geliştirilmesi ve kullanılır hale getirilmesi, buhar sıkıştırmalı çevrimlerin iyileştirilmesi üzerine yoğunlaşlığından yeterli gelişme göstermemiştir. 1950'lerden sonra ejektör ile ilgili çalışmalar artış göstermeye başlamıştır. (Sun, D.W.,1997)

A.A. Kornhauser, Buhar sıkıştırmalı soğutma sistemlerinde genleşme valfindeki kısılma işleminin termodinamik olarak enerji kaybına neden olduğunu bu kaybın sisteme yerleştirilecek bir ejektörle düşürülebileceğini belirtti. Araştırmasında kondenser ve evaporatör sıcaklık değişimlerinin etkisini R12 kullanan ideal bir ejektörlü soğutma çevrimi için inceledi. Nozul, difüzör ve kompresör verimlilik değerlerini 1 olarak kabul ettiği bu çalışmasında; kondenser ve evaporatör arasındaki sıcaklık farkının artması ile ejektörlü sistemin soğutma performansı katsayısının,

klasik buhar sıkıştırmalı sistemin soğutma performansı katsayısına oranının arttığını tespit etti. (Kornhauser, A.A.,1990)

DENSO firması 2003 yılında orta ve büyük tip figorifik kamyonlarda dünyada ilk kez ejektörlü soğutma sisteminin kullanıldığını açıkladı. Ejektörlü soğutma sistemi kullanımının klasik soğutma sistemlerine kıyasla enerji verimliliğini %50 arttırdığı; aynı soğutma kapasitesi değeri için ejektörlü soğutma sistemi olan frigorifik araçlarda kullanılan kompresör, evaporatör ve kondenserin kütlesel ağırlıklarının klasik soğutma sistemi kullanan frigorifik araçlarda kullanılan kompresör, evaporatör ve kondenserin kütlesel ağırlıklarına göre % 40 daha hafif olduğu ve bu durumun yakıt tüketiminde %60 kazanç sağladığını belirtildi. (DENSO,2003)

Aynı firma tarafından 2006 yılında binek bir otomobilde uygulanan soğutkan olarak CO₂ ‘ in kullanıldığı transkritik çevrim ile geliştirilmiş ejektörlü soğutma sistemi tasarlandı. Bu sistemin uygulamada yer bulması durumunda kompresördeki güç tüketimini klasik soğutma sistemlerine göre %25 oranında azaltabileceği açıklandı. (DENSO,2006)

A.Aktoprakoğlu ve R.Yapıcı, ejektörlü soğutma sisteminin performansına geometrik parametrelerin etkisini incelemek için özel bir ejektör tasarladılar. Soğutucu akışkan olarak R-123 kullanarak, tahrik lülesi konumunun ve karışma odası kesit alanının tahrik lülesi boğaz alanına oranı olan alan oranını deneysel olarak incelediler. Belirli bir sahada olmak şartı ile lüle konumunun sistem performansına etkisinin olmadığını ve her alan oranı için optimum bir çalışma noktası olduğunu belirlediler. (Aktoprakoğlu, A., ve Yapıcı, R.,2006)

M.J.Bergander, çift fazlı ejektörlü soğutma sisteminin termodinamik modellemesini soğutucu akışkan R22 için yaptı. Yaptığı teorik çalışmada; çift fazlı ejektörlü soğutma sisteminin, klasik buhar sıkıştırmalı sisteme göre mümkün olabilecek en yüksek soğutma performans katsayısı iyileştirme değerinin %38 olabileceğini belirtti. Daha sonra oluşturduğu 10 kW kapasiteli prototip sistem üzerinde gerçekleştirdiği deneysel çalışmada ise iyileştirme değerinin %16 ‘da kaldığını belirledi. (Bergander, M.J.,2006)

M.Yakın ve M.Özkaymak, eşit koşullarda ejektörlü ve ejektörsüz olarak hazırlanan soğutma sistemleri çalıştırarak sıcaklık ölçümleri yaptılar. Ejektörsüz sistemde elde ettikleri minimum sıcaklık -10 °C iken ejektörlü sistemde elde ettikleri sıcaklık

değerinin -15°C'a kadar düşüğünü tespit ettiler. Bu değerlere göre sistemlerin soğutma tesir katsayılarını hesaplayarak Ejektörsüz sistemin soğutma tesir katsayısını (COP) 2.6 , ejektör kullanılan sistemin soğutma tesir katsayısını ise (COP) 2.74 olarak buldular. (Yakın, M., ve Özkaymak, M., 2007)

F.Liu ve E.A.Groll , çift fazlı ejektördeki akış durumunu transkritic CO₂ çevrimi için incelediler. Yaptıkları çalışmada ejektör boğaz alanının azalmasıyla tahrik memesi veriminin düşüğünü ve emme memesi veriminin dış ortam sıcaklığı ve ejektör boğaz alanından etkilendiğini tespit ettiler. Çift fazlı ejektörlü bir transkritic CO₂ çevrimi için Optimum tahrik memesi boğaz yarıçapını 2,4 mm , optimum karışım odası yarıçapını ise 3,5 mm olarak buldular. (Liu, F., ve Groll, E.A.,2008)

H.K.Ersoy ve N.Bilir , Çift Fazlı Sabit Alanlı Ejektör Kullanarak Buhar Sıkıştırmalı Soğutma Sisteminin Etkinliğinin İyileştirilmesini ; sistemi EES programında modelleyerek R134a soğutucu akışkanı için incelediler. Genleştirmeli olarak ejektör kullanıldığında klasik sisteme göre soğutma performans katsayısının en az ~% 8, en çok ~% 29 artacağını tespit ettiler. (Bilir, N., ve H.K.Ersoy.,2009)

İ. Üçgül, Güneş Enerjisi Destekli Ejektörlü Soğutma Sistemi Soğuk Depolama uygulamaları için termodinamik ve çevresel açıdan inceledi. Klasik buhar sıkıştırmalı soğutma sistemlerinin, 1kWh soğuk etkisi üretmek için 0,585 kg miktارında (CO₂) karbondioksitin atmosfere salınmasına sebep olduğunu ve ayrıca 1kWh soğutma etkisi için maliyetin, güneş enerjisi destekli ejektörlü sistemde 0,016 Euro/kWh(SE) iken geleneksel soğutma sisteminde 0,178 Euro/kWh(SE) olduğunu ortaya koydu. (Üçgül,İ.,2009)

Ejektörlü soğutma sistemleri 2010 yılında Toyota Prius model taşıtların araç klima sistemlerinde kullanılarak binek araç uygulamalarında kendine yer buldu. Piyasaya düşüt yakıt ekonomisi hedefiyle sürülen bu araçlarda kompresörde yapılan güç tüketiminin 25°C dış ortam sıcaklığı için %11, 35°C dış ortam sıcaklığı için %18, 40°C dış ortam sıcaklığı için %24 oranında azaldığı belirtildi. (Talley, E., 2011)

2. SOĞUTUCU AKIŞKANLAR, BUHAR SIKIŞTIRMALI SOĞUTMA SİSTEMLERİ VE ELEMANLARI

2.1 Soğutucu Akışkanlar

Bir soğutma çevriminde ısının bir ortamdan alınıp başka bir ortama nakledilmesinde ara madde olarak yararlanılan soğutucu akışkanlar ısı alış verişini genellikle sıvı halden buhar haline (Soğutucu-Evaporatör devresinde) ve buhar halden sıvı haline (Yoğunşturucu-Kondenser devresi) dönüşerek sağlarlar. Bu durum bilhassa buhar sıkıştırma çevrimlerinde geçerlidir. Soğutucu akışkanlarının, yukarıda tarif edilen görevleri ekonomik ve güvenilir bir şekilde yerine getirebilmesi yani bir soğutma sisteminin verimli ve emniyetli çalışabilmesi için bazı kimyasal ve fiziksel özelliklere sahip olmaları gereklidir. Bu özellikler, uygulama ve çalışma şartlarının durumuna göre değişeceği gibi her zaman bu özelliklerin hepsini yerine getirmek mümkün olamayabilir. Genel kaide olarak bir soğutucu akışkanda aranması gereken özellikler şunlardır:

- 1) Daha az bir enerji (güç) sarfı ile daha çok soğutma elde edilebilmelidir.
- 2) Soğutucu akışkanın buharlaşma ısısı yüksek olmalıdır. (Daha az soğutkan akışı)
- 3) Evaporatörde basınç mümkün olduğu kadar yüksek olmalıdır.
- 4) Yoğunlaşma (Kondenser) basıncı düşük olmalıdır.
- 5) Viskotesi düşük ve yüzey gerilimi (kılcallığı) az olmalıdır. (Bu özellik, yüksek ısı geçişini sağlayan, damlalaşarak yoğunmayı zorlaştırmaktadır ve kondenserde bu istenmez)
- 6) Emniyetli ve güvenilir olmalı, nakli, depolanması, sisteme nakli kolay olmalıdır.
- 7) Yağlama yağları ve soğutma devresindeki elemanlar ile zararlı sonuç verebilecek reaksiyonlara girmemelidir ve yağlama yağında çözülebilmelidir.
- 8) Soğutma devresinde bulunmaması gereken rutubet (su) ile bulunması halinde bile çok zararlı reaksiyonlar meydana getirmemelidir.
- 9) Sisteme kaçması halinde, bilhassa yiyecek maddeleri üzerinde zararlı etki yapmamalıdır. Sisteme kaçması halinde kolay farkedilmeli ve saptanabilmelidir.

- 10) Sistemden kaçarak havaya karışması halinde civardaki insanlara, çevreye ve diğer canlılara zarar vermemelidir. Sistemden, gerektiğinde geri toplanıp kullanılabilmelidir.
 - 11) Havaya karıştığında yanıcı ve patlayıcı bir ortam oluşturmamalıdır.
 - 12) Çalışma şartlarındaki basınç ve sıcaklıkların en uç sınırlarında dahi ayırt edilemeyecek, çözülmemeli, sabit olmalı ve bütün özelliklerini muhafaza etmelidir.
 - 13) Elektriksel özellikleri, bilhassa hermetik ve yarı-hermetik tip kompresörler için uygun olmalıdır.
 - 14) Temini kolay ve fiyatı düşük olmalıdır.
 - 15) Kritik noktası ve kaynama sıcaklığı, kullanılacağı soğutma sistemine uygun olmalı, ıslık kondüktivitesi yüksek, molar buhar ısınma ısısı ise alçak olmalıdır.
- (ASHRAE,2004)

Bu özelliklerin hepsini birden her şart altında yerine getirebilen universal bir soğutkan madde halen mevcut değildir. Fakat yukarıda da belirtildiği gibi uygulamadaki şartlara göre bunlardan bir kısmı aranmayıabilir. Örneğin, amonyak yukarıdaki 6, 9, 10 ve 11 numaralı şartları çoğu kez sağlayamadığı halde, bilhassa yurdumuzda çok sık tercih edilebilmektedir. Uygulamanın durumuna göre bu özelliklerin gerekli olanlarını sağlayabilen pek çok soğutkan madde mevcut olup bunlar geniş ölçüde kullanılmaktadır.

R22 : Diğer fluo – karbon soğutucu akışkanlarda olduğu gibi R22'de emniyetle kullanılabilecek zehirsiz, yanmayan, patlamayan bir akışkandır. R22, derin soğutma uygulamalarına cevap vermek üzere geliştirilmiş bir soğutucu akışkandır, fakat paket tipi klima cihazlarında, ev tipi ve ticari tip soğutucularda da, bilhassa daha kompakt kompresör gerektirmesi (R12'ye nazaran takriben 0.60 katı) ve dolayısıyla yer kazancı sağlaması yönünden tercih edilir. Çalışma basınçları ve sıcaklıklar R12' den daha yüksek seviyede ve fakat birim soğutma kapasitesi için gerekli tahrik gücü takriben aynıdır. Çıkış sıcaklıklarının oldukça yüksek olması sebebiyle, bunun aşırı seviyelere ulaşmasına engel olmak için emişteki kızgınlık derecesini mümkün mertebe düşük tutmalıdır. Derin soğutma uygulamalarında, aşırı çıkış sıcaklıkları ile karşılaşılabileceğinden (yüksek sıkıştırma oranı sebebiyle) silindirlerin su gömlekli olması tavsiye edilir. Yağ dönüşünü sağlamak için R12'ye nazaran daha dikkatli ve iyi işlenmiş dönüş boruları döşenmeli, derin soğutma uygulamalarında muhakkak

yağ ayırcı konulmalıdır. R12 yağ ile daha çabuk ve iyi karışmaktadır. Su ile ise R22 daha çabuk ve yüksek oranda karışır.

R134a : Termodinamik ve fiziksel özellikleri ile R12'ye en yakın soğutucudur. Halen ozon tüketme katsayısı 0 olan ve diğer özelliklerini açısından en uygun soğutucu maddedir. Araç soğutucuları ve ev tipi soğutucular için en uygun olan alternatifdir. Ticari olarak da temini olanaklıdır. Yüksek ve orta buharlaşma sıcaklıklarında ve / veya düşük basınç farklarında kompresör verimi ve sistemin COP (cofficient of performance) değeri R12 ile yaklaşık aynı olmaktadır. Düşük sıcaklık için çift kademeli sıkıştırma gerekmektedir. R134a, mineral yağlarla uyumlu olmadığından poliolester veya poliolalkalinglikol bazlı yağlarla kullanılmalıdır.

R125 : R502 ve R22 için uzun dönem alternatif olarak kabul edilmiştir. R143 gibi amonyak kullanımının uygun olmadığı düşük sıcaklıklar için düşünülmüştür. Yanma özelliği yoktur. Ancak sera etkisi R134a'dan iki kat daha fazladır. R134a, R143a R32 ile (örneğin R404A veya R407A gibi) değişik oranlarda kullanılarak R502 alternatif karışımlar elde edilmektedir.

R404A : R125, R134a ve R143a'dan oluşan (ağırlıkça sırasıyla %44 / 4 / 52 oranında) ve R502 için alternatif kabul edilen zeotropik bir karışımındır. HCFC içerdığından nihai bir alternatif olmayıp 2030 yılına kadar kullanılabilecektir. Bu soğutucu DUPONT tarafından SUVA HP62 ve ELF – ATOCHEM tarafından FORANE FX70 adıyla piyasaya sunulmuştur.

R410A : R410a soğutucular basınç altında sıvılaştırılmış uçucu florinli hidrokarbonlardır. R32 ve R125'den oluşan (ağırlıkça %50 / 50 oranında) ve R22 için alternatif kabul edilen azeotropik bir karışımındır. Teorik termodinamik özellikleri R22 kadar iyi değildir. Ancak ısı transfer özelliği oldukça iyidir. R22 – R410A dönüşümünde mekanik soğutma sisteminin yeniden dizayn edilmesi gerekmektedir. Bu değişim yapıldığı taktirde mekanik soğutma sistem verimi R22'ye göre %5 daha iyi olmaktadır. Basıncı R22'den yaklaşık 1,6 kez daha yüksektir. R410a ile çalışmak üzere tasarlanmış bir soğutma sisteminde kesinlikle başka bir soğutkan ile karışım olarak kullanılamaz. R410a başka bir soğutkan ile karışırsa soğutucu devresindeki basınç anormal yükselir, soğutma devresinde kırılmalar sonucu ciddi yaralanmalar olabilir.(ALARKO–CARRİER,2006) Tutuşmaz ve amacına uygun biçimde kullanıldığından sağlığa zararlı değildir. R410a soğutucu kolaylıkla suyu emer,

membran veya yağı okside eder. Sera etkisinin yüksek olması en büyük dezavantajdır. Bu soğutucu ALLIED SIGNAL tarafından GENETRON AZ20 adıyla piyasaya sunulmuştur.

R717 (Amonyak): Bugün, fluo – karbon ailesinin dışında geniş ölçüde kullanılmaya devam edilen tek soğutucu akışkan Amonyak'dır. Zehirleyici ve bir ölçüde yanıcı – patlayıcı olmasına rağmen mükemmel ıslı özelliklere sahip olması sebebiyle, iyi eğitilmiş işletme personeli ile ve zehirleyici etkisinin fazla önem taşımadığı hallerde, büyük soğuk depoculukta, buz üretiminde, buz pateni sahalarında ve donmuş paketleme uygulamalarında başarıyla kullanılmaktadır. Buharlaşma ısısının yüksek oluşu ve buhar özgül hacminin de oldukça düşük olması sistemde dolaştırılması gereken akışkan miktarının düşük seviyede olmasını sağlar. R22'de olduğu gibi çıkış sıcaklıklarını yüksek seviyeli olup kompresör kafa ve silindirlerinin su soğutma gömlekli olması tercih edilir. Amonyak yağ ile karışmaz, fakat karterdeki çalkantı ve silindirdeki yüksek hızlar yağın sisteme sürüklənməsinə sebep olur. Bu nedenle, gerek kompresör çıkışına yağ ayırcı suretiyle, gerekse evaporatörden kompresöre yağın dönüşünü kolaylaşdıracaq tarzda boru tertibiyle yağın kompresör karterine birikmesi sağlanmalıdır.

R290 (Propan) : R-22 ile çalışan sistemi propana adapte etmek için sadece birkaç değişiklik yapmak yeterlidir. Bunlar, genleşme elemanın ve kompresör yağının değişimidir. Cihazın performansını artırmak için bir ısı değiştiricinin eklenmesi de gerekmektedir. Bu değişim sonrasında cihazın kapasitesi ve COP değeri, basma sıcaklığının tehlikeli bir şekilde yükselmesine meydana vermeden artmaktadır. R-22'li sistemin yoğunlaşma sıcaklığı ortalama 57 °C iken propana dönüşüm sonrası sadece 65°C'ye yükselmektedir. R-290 için tek sorun kolaylıkla tutuşabilmesidir. Dolayısıyla, birçok ülkedeki yönetmelikler bu çevre dostu ve yüksek verimli soğutkanın kullanımını kısıtlamaktadır.

R600a (Isobutane) : İzobütan (C4H10), doğal gazdan ve petrol rafinerisi ürünlerinden elde edilmektedir. Yanıcı olmasına karşın hidrokarbon olmasından dolayı ozonla karışık ve doğaya tamamen zararsızdır. (GWP=0, ODP=0). Havadan ağır, yanıcı ve yüksek konsantrasyonlarda boğucu bir soğutkandır. Özellikle çabuk tutuşabilme özelliğine dikkat etmek gerekmektedir. Günümüzde Avrupada üretilen(özellikle Almanya'da) ev tipi soğutucular ve dondurucuların büyük bir

kısmında R600a soğutucu kullanılmaktadır. R600a'nın bütün dünyada yaygınlaşmasıyla CFC lerle yer değiştirmesi gündeme gelmeye başlamıştır.

Tablo 2.1 : Karışım Halinde Bulunan Soğutkanlar (Montreal Protocol,2000)

Soğutkan	Bileşimi	Not
R401A	52 % R 22 + 33 % R 124 + 15 % R152a	**
R402A	38 % R 22 + 60 % R 125 + 2 % R290	**
R404A	44 % R 125 + 4 % R 134a + 52 % R143a	***
R407A	20 % R 32 + 40 % R 125 + 40 % R 134a	***
R407B	10 % R 32 + 70 % R 125 + 20 % R 134a	***
R407C	23 % R 32 + 25 % R125 + 52 % R134a	***
R410A	50 % R 32 + 50 % R 125	***
R500	73.8 % R 12 + 26.2 % R152a	*
R502	51.2 % R 115 + 48.8 % R 22	*
R507	50 % R 125 + 50 % R143a	***

Tablo 2.2 : Saf Halde Bulunan Soğutkanlar (Montreal Protocol,2000)

Soğutkan	Kimyasal Tanımı	Kimyasal Formülü	Not
R 11 (CFC11)	Trichlorofluoromethane	CFCL3	*
R 12 (CFC12)	Dichlorofluoromethane	CF2CL2	*
R 13 (CFC13)	Chlorotrifluoromethane	CF2CL2	*
R 13B1 (BFC13)	Bromotrifluoromethane	CBRF3	*
R 22 (HCFC22)	Chlorodifluoromethane	CHF2CL	**

R 23 (HCF23)	Trifluoromethane	CHF ₃	***
R 32 (HCF32)	Difluoromethane	CH ₂ F ₂	***
R113 (CFC113)	Tricholorotrifluoroethane	C ₂ F ₃ CL ₃	*
R114 (CFC114)	Dicholorotetrafluoroethane	C ₂ F ₄ CL ₂	*
R115 (CFC115)	Choloropentafluoroethane	C ₂ F ₅ CL	*
R123 (HCFC123)	Dicholorotrifluoroethane	C ₂ HF ₃ CL ₂	***
R125 (HFC125)	Pentafluoroethane	CF ₃ CHF ₂	***
R134a (HCF134a)	Tetrafluoroethane	C ₂ H ₂ F ₄	***
R141b (HCFC141b)	Fluorodicholoroethane	C ₂ CL ₂ FH ₃	***
R143a (HFC143a)	Trifluoroethane	CF ₃ CH ₃	***
R152a (HCF152a)	Difluoroethane	C ₂ H ₄ F ₂	***
R290 (HC290)	Propane	C ₃ H ₈	***
R600 (HC600)	Butane	CH ₃ CH ₂ CH ₂ CH ₃	***
R600a (HC600a)	Isobutane	CH(CH ₃) ₃	***
R717	Amonyak	NH ₃	***
R718	Su	H ₂ O	***
R744	Karbondioksit	CO ₂	***
R764	Sulfurdioxide	SO ₂	***

- * Montreal Protokolüne göre kullanımı yasaklanmış yada sınırlanmış soğutkanlar
- ** Montreal Protokolüne göre üretimi yasaklanmış, geçiş dönemi alternatif soğutkanlar
- *** Montreal Protokolüne göre kullanımı ve üretimi yasaklanmış soğutkanlar için kullanılabilecek alternatif soğutkanlar

Soğutucu akışkanların ozon tabakasına olan zararları ODP (Ozone Depletion Potential, Ozon Tüketme Potansiyeli) değeri ile belirlenir. ODP değeri, R12 soğutucu akışkanı baz alınarak belirlenmektedir ve bu akışkan için 1'dir. Soğutucu akışkanların karbon monoksit içerikleri ise GWP (Global Warming Potential, Küresel Isınma Potansiyeli) değerleri ile tespit edilir. Bu değer için ise CO₂ baz alınmıştır ve GWP değeri 1'dir. Bazı soğutucu akışkanlarının ODP ve GWP değerleri ile yakın zamanda yerine kullanılması planlanan soğutucu akışkanlar Tablo 2.3 'de gösterilmiştir.

Tablo 2.3 : Bazı soğutucu akışkanlarının ODP ve GWP değerleri ile yerini alacağı soğutucu akışkanlar (Dupont, 2003)

Soğutucu akışkan	Yerini alacağı akışkan	ODP	GWP
R410a	R22	0	1725
R22	Ü.D.	0.5	1500
R717	-	0	0
R404a	R502, R22	0	3260
R134a	R12	0	1300
R600a	-	0	0

Ü.D. : Üretimi durdurulacak

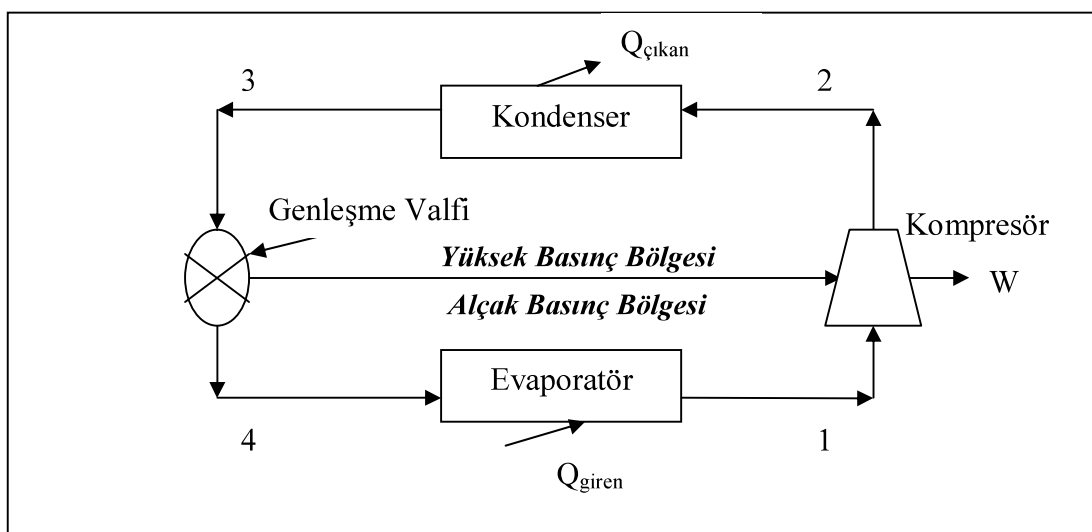
ODP değeri R12 için 1 alınarak baz kabul edilmiştir.

GWP değeri CO₂ için 1 alınarak baz kabul edilmiştir.

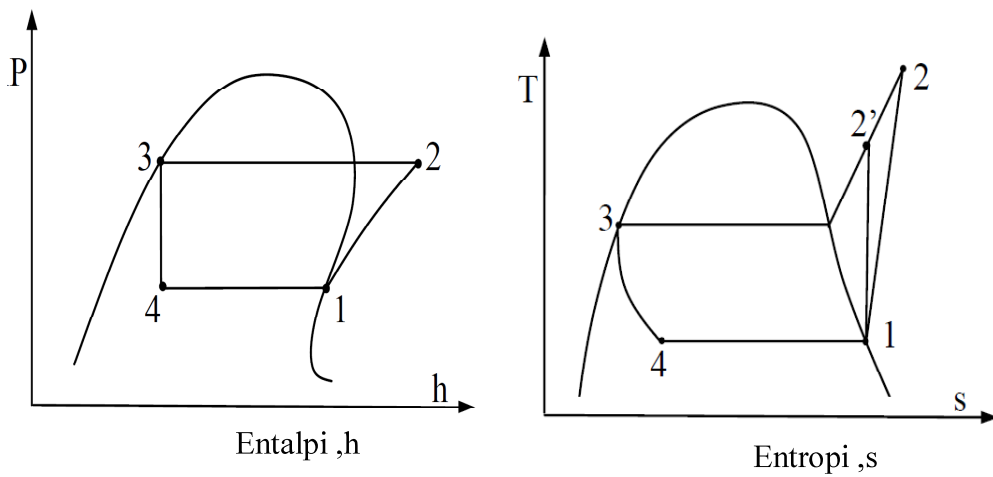
2.2 Buhar Sıkıştırmalı (Mekanik) Soğutma Çevrimi

Kompresörlü soğutma sistemleri, düşük sıcaklıktaki bir ortamdan ısıyı çekerek yüksek sıcaklıktaki ortama atan ve böylece bulunduğu ortamı soğutan sistemlerdir. Bu işlemler soğutucu akışkanlar yardımıyla ve dışarıdan enerji harcanarak yapılır. (Çengel,A.Y., ve Boles,A.M.,1994) Kompresörlü soğutma sistemleri temel olarak kompresör, kondenser, genleşme valfi ve evaporatör olmak üzere dört ana elemandan oluşmaktadır.Bu çevrimde, soğutucu akışkanın düşük basınçta çevreden ısı alarak buharlaşmasını sağlayan eleman evaporatör (buharlaştırıcı), evaporatörden alınan buharı yüksek basınçta kondensere basan eleman ise kompresördür. Kompresörden (sıkıştırıcı) gelen sıcak kızgın gazın ısısını alarak onun yoğunlaşmasını sağlayan eleman kondenserdir(yoğunlaştırıcı). Sıvı hale gelen soğutucu akışkanın toplanabileceği eleman sıvı deposu (receiver) olup, sıvı deposundan gelen sıvı soğutucu akışkanın geçisini çeşitli metotlarla kısıtlayarak evaporatörde düşük basınç olmasını, dolayısıyla soğutucu akışkanın buharlaşacak hale gelmesini sağlayan eleman ise genleşme valfidir.

Tek kademeli buhar sıkıştırmalı bir soğutma çevriminin prensip seması Şekil 2.1'de görülmektedir. Bu çevrime ait P-h diyagramı Şekil 2.2'de verilmistir. Bu çevrimdeki elemanlar sırasıyla kompresör, kondenser, genleşme valfi ve buharlaştırıcı olarak sayılabilir.



Şekil 2.1 :Tek kademeli buhar sıkıştırmalı soğutma çevrimi.



Şekil 2.2 :Tek kademeli ideal bir soğutma çevriminin P-h ve T-s diyagramı

İdeal bir soğutma çevriminde, buharlaştırıcı ve yoğunşturucudaki ısı geçişlerinde basınç kayıplarının olmadığı, genleşme valfindeki olayın adyabatik olduğu ve bu elemanlar arasındaki grup donanımlarında herhangi bir basınç kaybının olmadığı ve boru donanımı ile çevre arasında bir ısı geçişinin olmadığı kabul edilir.

Düşük basınçta, düşük sıcaklıkta ve doymuş olarak buharlaştırıcıdan 1 noktasında çıkan soğutucu akışkan, bu noktada kompresöre girerek, tersinir-adyabatik olarak sıkıştırılır. Yüksek sıcaklıkta, yüksek basınç ve kızgın bir halde 2 noktasında kompresörden çıkan soğutucu akışkan buharları, bu noktada sabit basınçta önce kızgınlığının alındığı sonra yoğunşturulduğu bir eleman olan yoğunşturucuya girer. Yüksek basınçta orta bir sıcaklıkta doymuş sıvı olarak 3 noktasında yoğunşturucudan çıkan soğutucu akışkan, bu noktada tersinir- adyabatik (sabit entalpide) genişleme işleminin olduğu genleşme valfine girer. Düşük sıcaklıkta, düşük basınçta ve küçük kuruluk derecesinde 4 noktasında genleşme valfinden çıkan soğutucu akışkan, bu noktada sabit basınçta tersinir olarak buharlaşma işleminin olduğu buharlaştırıcıya girer. Buharlaştırıcındaki işlem, soğutucu akışkanın 1 şartlarında doymuş buhar elde edilmesine kadar devam eder.

2.3 Ejektör Genleştircili Kompresörlü Soğutma Çevrimi Sistem Elemanları

2.3.1 Ejektör

Kondenserden gelen primer akışkanın basınç ve sıcaklığını azaltıp hızını arttıracak emme lülesinde vakum oluşturarak evaporatörden doymuş buhar olarak gelen sekonder akışkanın emilmesini sağlayan dolayısıyla yüksek basınçlı bir akışkanın enerjisini düşük basınçtaki diğer akışkana aktararak onun basıncını yükselten sistem elemanıdır. Ejektörler ; vana, rotor ve piston gibi hareketli parçalara sahip olmadıkları için ucuzdurlar, işletmeleri kolaydır ve az bakım gerektirirler. Buhar jet ejektörlerinin sıkıştırma oranları dolayısıyla kapasiteleri boyutlarından dolayı sınırlıdır. Büyük sıkıştırma oranı gereken sistemlerde iki veya daha fazla ejektörün seri olarak bağlanabilmesi mümkün olabilir.



Şekil 2.3 :Ejektör

2.3.2 Separatör

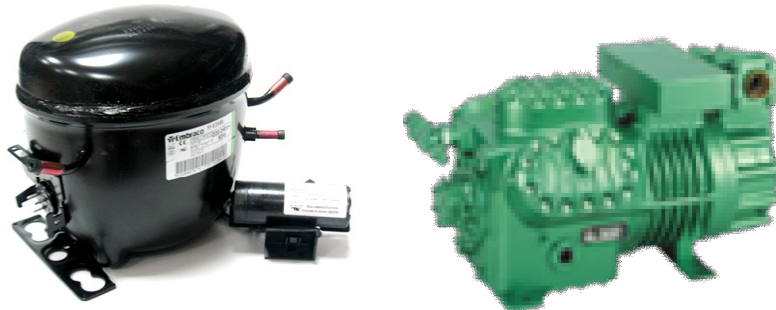
Çift fazlı sistemlerde sistemdeki akışkanın doymuş sıvı ve doymuş buhar olarak ikiye ayrıldığı ayırma görevi gören sistem elemanlarıdır.



Şekil 2.4 :Seperatör

2.3.3 Kompresör

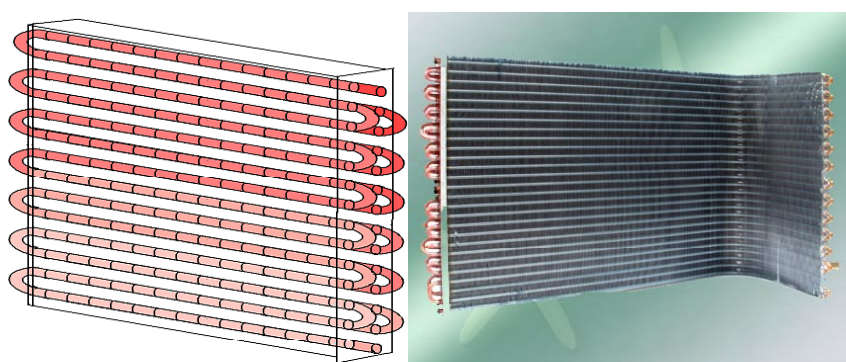
Sıkıştırmalı soğutma makinelerinin en önemli elemanları olan kompresör, konstrüksiyon detayları kullanılan soğutucunun cinsine göre değişen ve temel gayesi, evaporatör basıncındaki soğutucu akışkanı emerek daha yüksek basınçtaki kondansere göndermek olan bir gaz pompasıdır. Kompresörün mekanik ve volumetrik veriminin tesisin ekonomisi üzerinde etkisinin büyük olması dolayısıyla soğutma tesisinin cinsine ve büyüklüğüne göre çeşitli tiplerde kompresörler geliştirilmiştir.



Şekil 2.5 :Kompresör

2.3.4 Kondenser

Kondenserin bir soğutma sistemindeki görevi, kompresörle sıkıştırılmak suretiyle yüksek basınçta çıkarılmış olan sıcak gazın soğutularak yoğunşturulmasıdır. Bir soğutma sisteminde temelde evaporatörde çekilen ısı ile kompresör tarafından akışkana kazandırılan toplam ısı kondenserde dışarı atılır. Tüm kondenserlerin görevi aynı olmakla beraber bunların değişik tipleri vardır.



Şekil 2.6 :Kondenser

2.3.5 Genleşme Valfi

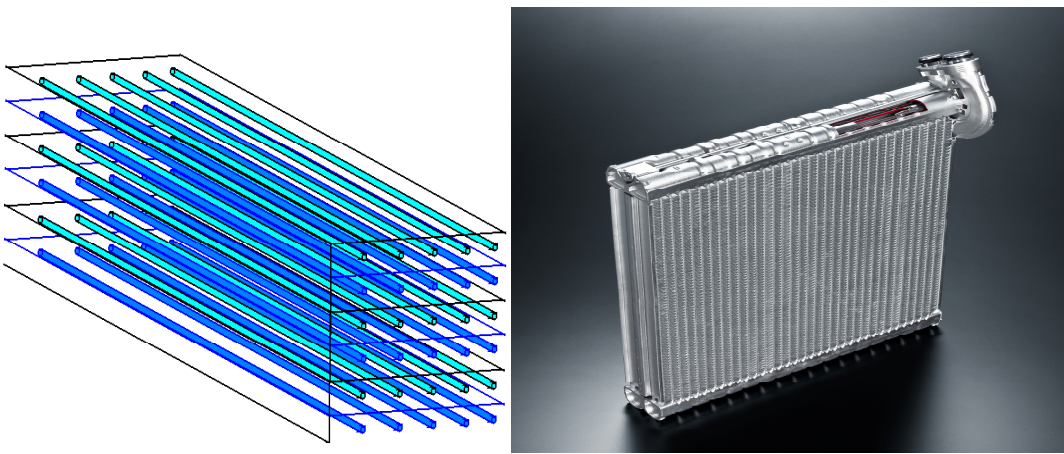
Genleşme valfi, kondanserden yüksek basınçta çıkan soğutucu akışkanı, arzu edilen evaporatör basıncına düşürmeye yarayan kısma elemanıdır. Ideal şartlarda bu elemanda gerçekleşen basınç düşürme işlemi boyunca entalpinin sabit olduğu kabul edilir. Genleşme valfi olarak küçük sistemlerde kılcal borular bu görevi yapmakla birlikte, daha büyük sistemlerde el ayar valfi, otomatik genleşme valfi ve termik genleşme valfi gibi elemanlar kullanılmaktadır.



Şekil 2.7 :Genleşme Valfi

2.3.6 Evaporatör

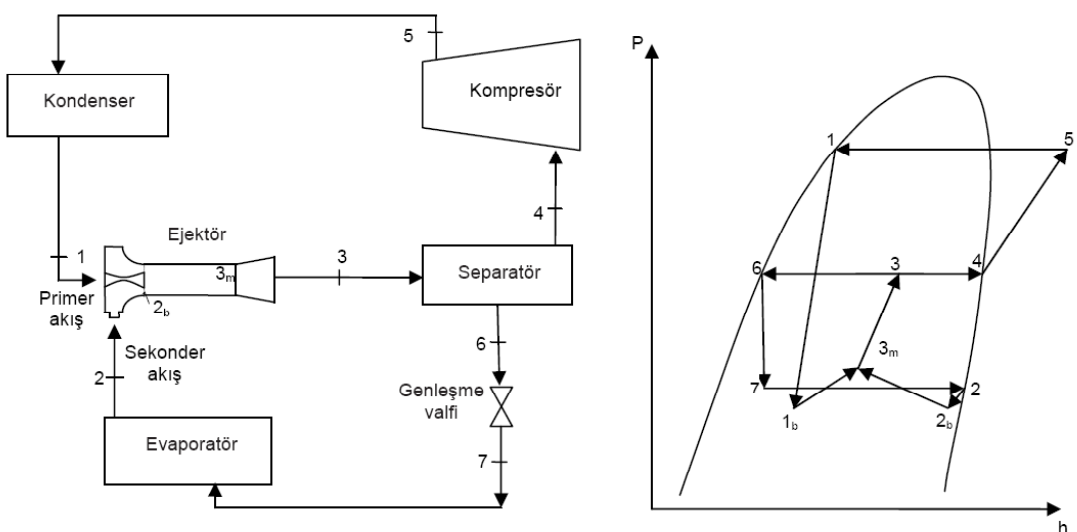
Temelde bir ısı değiştirgeci olan evaporatörler, genişleme valfinde basıncı düşürülmüş olan soğutucu akışkanı buharlaştırarak, çevre sıcaklığından daha düşük sıcaklıktaki mahallerin elde edildiği kısımlardır. Soğutucu akışkanın cinsine bağlı olarak çeşitli malzemelerden yapılmasıyla birlikte genelde yapımlarından bakır ve çelik borular kullanılır. Soğutulan ortamın hava, su veya hava su karışımı olmasına bağlı olarak çeşitli tipleri geliştirilmiş olup konstrüksiyon açısından hava yada sıvıların soğutulmasına göre iki sınıfa ayrılırlar.



Şekil 2.8 :Evaporatör

2.4 Ejektör Genleştircili Kompresörlü Soğutma Çevrimi

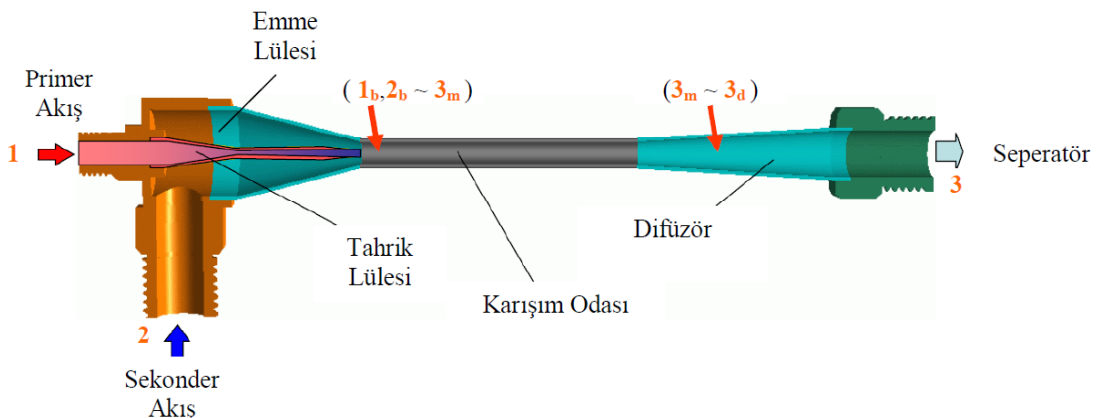
Ejektör yüksek basınçlı bir akışkanın enerjisini düşük basınçtaki diğer akışkana aktararak onun basıncını yükselten sistem elemanıdır. Kondenser ve evaporatör arasındaki kışılma işleminin genleşme valfi yerine, ejektörle yapıldığı sistemler ejektör genleştircili sistem olarak tanımlanır. Bu sistemlerde kompresöre giriş basıncı klasik sisteme göre daha yüksektir. Bu nedenle kompresörün yaptığı iş klasik sistemdekine göre düşüktür. Küçük bir genleşme valfi ve seperatör haricinde sistemde kullanılan diğer elemanlar klasik soğutma sistemi ile aynıdır. Ejektörlü soğutma sisteminin tesisat şeması ve çevrimin P-h diyagramı Şekil 2.9 'da gösterilmiştir.



Şekil 2.9 : Ejektör Genleştircili Kompresörlü Soğutma Çevriminin

Tesisat Şeması ve P-h Diyagramı (Bilir,2011)

Ejektör genleştircili kompresörlü soğutma sisteminde kullanılan ejektörün detaylı şematik görünümü ise Şekil 2.10 'da gösterilmiştir.



Şekil 2.10 : Ejektörün Şematik Gösterimi (DENSO,2004)

Sistemde, primer akışkan kondenserden gelen yüksek sıcaklık ve basınçtaki akışkandır. Sıvı halde tahrik lülesine giren primer akışkanın basınç ve sıcaklığı azalırken hızı artar. Tahrik lülesinden çıkan primer akışkan yüksek hızlı olmasından dolayı emme lülesinde kuvvetli bir emme etkisi yaratır. Bu etki evaporatörden gelen doymuş buhar halindeki sekonder akışkanın ejektörün içine emilmesine neden olur. Bu bölgede, sıcaklığı ve basıncı düşen sekonder akışkanın hızında artış olur. Karışma odasında karışan primer ve sekonder akışkanların hızı burada ses altı hızda düşerken basınç artar. Karışım odası çıkışında karışımın basıncı bir miktar daha yükselmiş olur. Daha sonra difüzöre giren akışkanın basıncı artarken hızı ciddi oranda düşer. Ejektörden çıkan akışkan doymuş buhar ve doymuş sıvı olarak ikiye ayrılacağı seperatöre girer. Akışkanın doymuş buhar halindeki kısmı kompresöre giderken, doymuş sıvı halindeki kısmı ise genleşme valfine gider. Burada kullanılan genleşme valfi küçük boyutlu bir genleşme valfi olup burada doymuş sıvının sıcaklık ve basıncı evaporatör sıcaklık ve basıncına uygun hale getirilir. Evaporatöre gelen sıvı haldeki akışkan burada ortamdan ısı çekerek bulunduğu ortamı soğutur. Evaporatörde gerçekleşen ısı transferi sonucunda doymuş buhar haline gelen akışkan, evaporatörden ayrılarak sekonder akışkan olarak tekrar ejektöre döner. Diğer taraftan doymuş buhar halinde separatörden kompresöre giden primer akışkanın basınç ve sıcaklığı artarak kompresör çıkışında kondenser basınç ve sıcaklığına yükselir. Kızgın buhar olarak kondensere gelen primer akışkan, kondenserde gerçekleşen ısı transferi sonucunda doymuş sıvı haline gelir. Buradan tekrar ejektöre giderek çevrimi tamamlamış olur.

2.5 Sistemin Termodinamik Analizi

Bu çalışmada ele alınan modellemede aşağıdaki kabuller yapılmıştır.

- Ayırıcıdan gelen karışım nozulda izentropik genişlemeye maruz kalır. Ayrıca, difüzöre her iki yönden gelen karışımlar izentropik olarak sıkışır.
- Primer ve Sekonder akışkanların karışması giriş bölgesinde olur.
- Ejektördeki akış, bir boyutlu uniform denge akışı şeklindedir.
- Ejektör genleştircili çevrim, ejektör çıkışında bir birim karışmış akışa göre modellenir.
- Ejektörün sabit alan karışım odası girişinde, primer ve sekonder akışkanlar aynı basınçta ($P_b = P_{1b} = P_{2b}$) iner.

2.5.1 Kompresörün Birinci Kanun Analizi

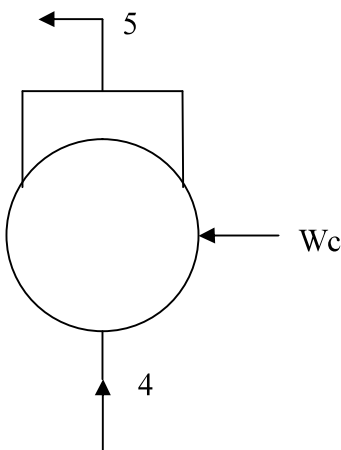
Şekil 2.9 'a göre kompresörün termodinamik analizi aşağıda belirtildiği şekilde gerçekleştirılmıştır.

W_c : Kompresörün Yaptığı İş [kW]

η_c : Kompresörün Verimi

h_4 : Kompresör Giriş Noktası Entalpisi [kj/kg]

$h_{5,is}$: Kompresör Çıkış Noktası İzsentropik Entalpi Değeri [kj/kg]

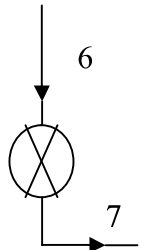


$$a) \text{Kütlenin Korunumu : } \dot{m}_4 = \dot{m}_5 \quad (2.1)$$

$$b) \text{Enerjinin Korunumu : } \dot{m}_4 h_4 = \dot{m}_5 h_{5,is} - \dot{W}_c \eta_c \quad (2.2)$$

2.5.2 Genleşme Valfi Birinci Kanun Analizi

Şekil 2.9 'a göre genleşme valfinin termodinamik analizi aşağıda belirtildiği şekilde gerçekleştirilmiştir.

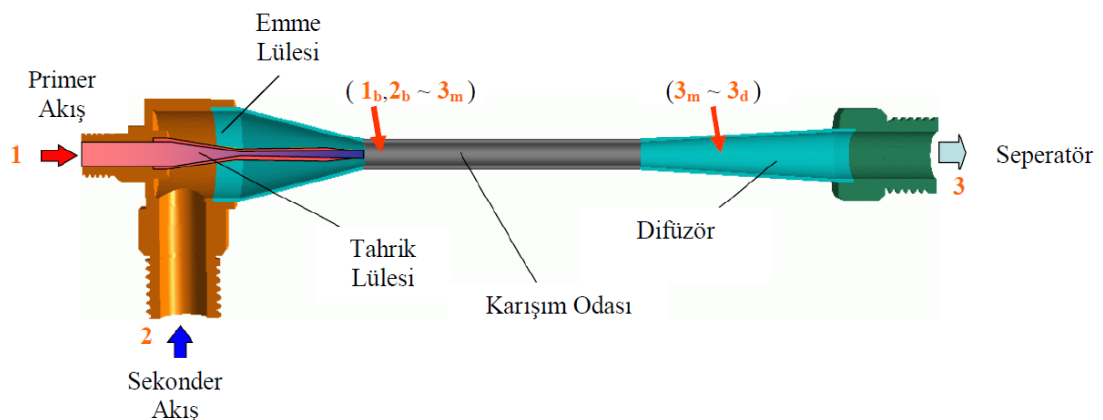


$$a) \text{ Kütlenin Korunumu : } \dot{m}_6 = \dot{m}_7 = \dot{m}_R \quad (2.3)$$

$$b) \text{ Enerjinin Korunumu : } \dot{m}_6 h_6 = \dot{m}_7 h_7 \quad (2.4)$$

2.5.3 Ejektör Birinci Kanun Analizi

Şekil 2.10 ' da şematik görünümü verilen ejektörün P-h diyagramı Şekil 2.9'da görülmektedir. Buna göre ejektörü oluşturan tahrik memesi, emme memesi, karışım odası ve difüzör için yapılan termodinamik analizler ayrı ayrı aşağıda gösterildiği gibi incelenmiştir.



Şekil 2.10 : Ejektörün Şematik Gösterimi (DENSO,2004)

$$a) \text{ Kütlenin Korunumu : } \dot{m}_1 + \dot{m}_2 = \dot{m}_{3m} = \dot{m}_{3d} \quad (2.5)$$

$$b) \text{ Enerjinin Korunumu : } \dot{m}_1 h_1 + \dot{m}_2 h_2 = (\dot{m}_1 + \dot{m}_2) h_{3d} \quad (2.6)$$

2.5.3.1 Tahrik Memesinin Termodinamik Analizi (1 ~ 1_b)

Şekil 2.9'a göre primer akışın gerçekleştiği tahrik memesi bölgesinde tahrik memesi çıkış noktası olan 1_b noktasında akışkanın entalpi ve hız değerleri ile bu noktadaki primer akışın ejektör alan oranının tespiti aşağıda belirtilen eşitliklerle sağlanmıştır. Buna göre;

η_n : Tahrik Memesi Verimi

w : Kütiesel debi oranı (m_2/m_1) olmak üzere;

$$h_{1b} = (1 - \eta_n) \cdot h_1 + \eta_n \cdot h_{1b,is} \quad [\text{kJ/kg}] \quad (2.7)$$

$$u_{1b} = [2 \cdot (h_1 - h_{1b})]^{1/2} \quad [\text{m/s}] \quad (2.8)$$

$$a_{1b} = v_{1b} / [u_{1b}(1+w)] \quad [\text{m}^2] \quad (2.9)$$

şeklinde ifade edilmiştir.

2.5.3.2 Emme Memesinin Termodinamik Analizi (2 ~ 2_b)

Şekil 2.9' a göre sekonder akışın gerçekleştiği emme memesi bölgesinde emme memesi çıkış noktası olan 2_b noktasında akışkanın entalpi ve hız değerleri ile bu noktadaki sekonder akışın ejektör alan oranının tespiti aşağıda belirtilen eşitliklerle sağlanmıştır. Buna göre;

η_s : Emme Memesi Verimi h_{2b} : Emme Memesi Çıkış Noktası Entalpisi [kJ/kg]

u_{2b} : Emme Memesi Çıkış Noktası Hızı [m/s] w : Kütiesel debi oranı (\dot{m}_2/\dot{m}_1) olmak üzere;

$$h_{2b} = (1 - \eta_s) \cdot h_2 + \eta_s \cdot h_{2b,is} \quad [\text{kJ/kg}] \quad (2.10)$$

$$u_{2b} = [2 \cdot (h_2 - h_{2b})]^{1/2} \quad [\text{m/s}] \quad (2.11)$$

$$a_{2b} = [v_{2b} / u_{2b}] \cdot [w / (1+w)] \quad [\text{m}^2] \quad (2.12)$$

şeklinde ifade edilmiştir.

2.5.3.3 Ejektörün Sabit Kesitli Karışım Odasının ($1_b, 2_b \sim 3_m$) Termodinamik Analizi

Tahrik memesinden gelen primer akışkan ile emme memesinden gelen sekonder akışkanın karıştığı bu bölümün şematik şekli Şekil 2.10'da, bölümün P-h diyagramı ise Şekil 2.9'da görülmektedir. Karışım odası çıkış noktası olan 3_m noktasında akışkanın entalpi ve hız değerleri ile bu noktadaki sekonder akışın ejektör alan oranının tespiti aşağıda belirtilen eşitliklerle sağlanmıştır. Buna göre;

$$P_b : \text{Karışım Odası Giriş Basıncı [kPa]} \quad P_{3m} : \text{Karışım Odası Çıkış Basıncı [kPa]}$$

$$u_{3m} : \text{Karışım Odası Çıkış Hızı [m/s]} \quad w : \text{Kütlesel debi oranı (m}_2/\text{m}_1)$$

olmak üzere;

$$u_{3m} = P_b (a_{1b} + a_{2b}) + (1 / 1+w) u_{1b} + (w / 1+w) u_{2b} - P_{3m} (a_{1b} + a_{2b}) \quad [\text{m/s}] \quad (2.13)$$

$$a_{3m} = a_{1b} + a_{2b} \quad [\text{m}^2] \quad (2.14)$$

$$h_{3m} = (1 / 1+w) \cdot (h_i + w.h_s) + (0,5 \cdot u_{3m}^2) \quad [\text{kJ/kg}] \quad (2.15)$$

şeklinde ifade edilmiştir.

2.5.3.4 Ejektörün Difüzör Kısminın Termodinamik Analizi ($3_m \sim 3_d$)

Karışım Odasından çıkan karışmış akışkanın basıncının arttırıldığı bu bölümün şematik şekli Şekil 2.10'da, difüzörün P-h diyagramı ise Şekil 2.9'da görülmektedir. Difüzör çıkış noktası olan 3_d noktasında akışkanın normal entalpi ile izentropik entalpi değeri aşağıda belirtilen eşitliklerle bulunmuştur. Buna göre;

$$h_{3d} : \text{Difüzör Çıkış Entalpisi [kJ/kg]}$$

$h_{3d,is}$: Difüzör Çıkış İzentropik Entalpisi [kJ/kg] olmak üzere;

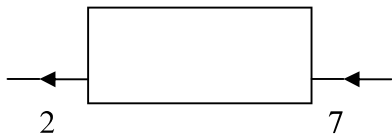
$$h_{3d} = (1 / 1+w) \cdot (h_i + w h_s) \quad [\text{kJ/kg}] \quad (2.16)$$

$$h_{3d,is} = \eta_d (h_{3d} - h_{3m}) + h_{3m} \quad [\text{kJ/kg}] \quad (2.17)$$

şeklinde ifade edilmiştir.

2.5.4 Evaporatörün Termodinamik Analizi

7 noktası genleşme valfinden gelen evaporatör giriş noktası, 2 noktası evaporatörden ejektöre giden çıkış noktası olmak üzere Şekil 2.9' a göre evaporatörün termodinamik analizi şu şekilde gerçekleştirılmıştır.



$$a) \text{Kütlenin Korunumu : } \dot{m}_2 = \dot{m}_7 = \dot{m}_R \quad (2.18)$$

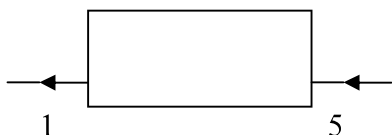
$$b) \text{Enerjinin Korunumu : } \dot{m}_7 h_7 + Q_e = \dot{m}_2 h_2 \quad (2.19)$$

olmak üzere ejektorlu sistemin soğutma kapasitesi aşağıda belirtilmiştir.

$$Q_e = [w/(w+1)].(h_2 - h_7) \quad [\text{kW}] \quad (2.20)$$

2.5.5 Kondenser Birinci Kanun Analizi

5 noktası kompresörden gelen kondenser giriş noktası, 1 noktası kondenserden ejektöre giden çıkış noktası olmak üzere Şekil 2.9' a göre kondenserin termodinamik analizi şu şekilde gerçekleştirılmıştır.



$$a) \text{Kütlenin Korunumu : } \dot{m}_1 = \dot{m}_5 = \dot{m}_R \quad (2.21)$$

$$b) \text{Enerjinin Korunumu : } \dot{m}_5 h_5 = \dot{m}_1 h_1 + Q_{kon} \quad (2.22)$$

2.6 Sistemin Kompresör Gücü (\dot{W}_{komp}) Hesabı

5 noktası kompresör çıkış noktası, 4 noktası kompresör giriş noktası olmak üzere Şekil 2.9' a göre ejektorlu soğutma sisteminin kompresör gücü aşağıda belirtildiği gibi belirlenir.

w : KütleSEL debi oranı (m_2/m_1) olmak üzere;

$$\dot{W}_{komp} = [1/(1+w)].(h_5-h_4) \quad [\text{kW}] \quad (2.23)$$

2.7 Ejektorlu Sistemin Soğutma Performansı Katsayı (COP_i) Hesabı

Soğutma sisteminin performans katsayısı evaporatörce oluşturulan soğutmakapasitesi değerinin kompresörde harcanan işe oranı olup aşağıda belirtildiği şekilde ifade edilmiştir.

$$COP_i = Q_e / \dot{W}_{komp} \quad (2.24)$$

2.8 Klasik Soğutma Sisteminin Soğutma Performansı Katsayısı (COP_k) Hesabı

Şekil 2.2 'ye göre soğutkan debisi $\dot{m} = 1 \text{ [kg/s]}$ için klasik bir soğutma sisteminde soğutma performansı katsayı hesabı şu şekilde gerçekleştirilir.

η_{komp} : Kompresör Verimi

$Q_{e,k}$: Klasik Soğutma Sisteminin Soğutma Kapasitesi $[\text{kW}]$

$W_{komp,k}$: Klasik Soğutma Sisteminde Kompresörde Yapılan İş $[\text{kW}]$

$\dot{m} = 1 \text{ [kg/sn]}$

$$Q_{e,k} = (h_2 - h_1) \dot{m} \quad [\text{kW}] \quad (2.25)$$

$$s_{2,is} = s_2 \left(P_d, x=1 \right) \quad [\text{kJ/kg} \cdot ^\circ\text{C}] \quad (2.26)$$

$$h_{2,is} = h (s_{2,is}, P_{kon}) \quad [\text{kJ/kg}] \quad (2.27)$$

$$h_2 = [(h_{2,is} - h_2) / \eta_{komp}] + h_2 \quad [\text{kJ/kg}] \quad (2.28)$$

$$W_{komp,k} = (h_2 - h_1) \dot{m} \quad [\text{kW}] \quad (2.29)$$

$$COP_k = Q_{e,k} / W_{komp,k} \quad (2.30)$$

2.9 Ejektorlu Sistemin Soğutma Performansı Katsayılarındaki İyileşme Oranının (COP_r) Hesabı

Eşitlik (2.24) ve (2.30) ‘dan yararlanarak klasik bir soğutma sisteme ejektör ilave edilmesiyle sistemin soğutma performansında meydana gelen iyileşme oranı aşağıda belirtildiği şekilde hesaplanmıştır.

COP_i : Ejektorlu soğutma sisteminin etkinlik katsayısı

COP_k : Klasik soğutma sisteminin etkinlik katsayısı

COP_r : Ejektorlu soğutma sisteminin etkinlik katsayılarındaki iyileşme oranı

$$\% COP_r = (COP_i - COP_k) / COP_k \quad (2.31)$$

2.10 Ejektorlu Sistemin Optimum Ejektör Alan Oranının (A_{opt}) Hesabı

Şekil 2.10 ‘da görüldüğü üzere eşitlik (2.9) ve (2.12) ‘den yararlanarak ejektorlu bir sistemin optimum ejektör alan oranı şu şekilde hesaplanır.

a_{1b} : Tahrik Memesi(Primer Akış) Alan Oranı $[\text{m}^2]$

a_{2b} : Emme Memesi(Sekonder Akış) Alan Oranı $[\text{m}^2]$

$$A_{opt} = a_{1b} / (a_{1b} + a_{2b}) \quad (2.32)$$

2.11 Ejektorlu Sistemin Kompresör Sıkıştırma Oranının (ε) Hesaplanması

Şekil 2.9 ‘a göre ; P_5 : Kompresör Çıkış Basıncı [kPa] , P_4 : Kompresör Giriş Basıncı [kPa] olmak üzere kompresör sıkıştırma oranı aşağıda gösterildiği şekilde hesaplanır.

$$\varepsilon = P_5 / P_4 \quad (2.33)$$

3. ARAŞTIRMA METODUNUN OLUŞTURULMASI

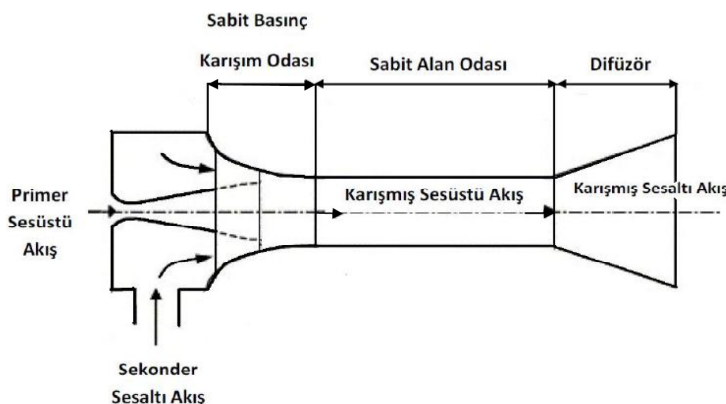
Araştırma metodu oluşturulurken bir önceki bölümde yapılan sistem ve sistem elemanlarının termodinamik analizlerinden yararlanarak model için akış şeması oluşturuldu. Araştırmada kullanılacak sistem parametreleri belirlenerek ejektorlu soğutma sisteminin araştırılmasında kullanılacak yazılım programı oluşturuldu.

3.1 Modelin Belirlenmesi

Ejektorlu soğutma sistemlerinde sabit basınç ve sabit alan olmak üzere iki tip ejektör modeli vardır. Sabit basınç modeli, sabit alan modeline göre eşit ejektör alan oranı için daha yüksek debi oranı verir. Yapılan çalışmada sabit basınç modeli sabit alan modeline göre daha yüksek performans etkinlik katsayısı verdiği için tercih edildi.

3.1.1 Sabit Basınç Modeli

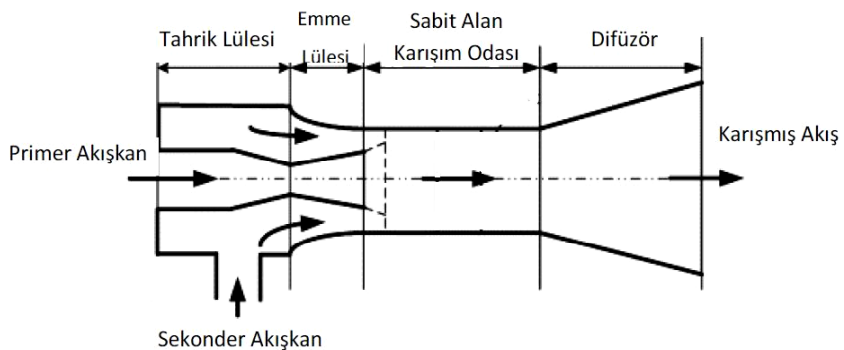
Sabit Basınçlı bir ejektörün şematik şekli Şekil 3.1 ‘de görülmektedir. Sesüstü hızı sahip primer akışkan ile sesaltı hızı sahip sekonder akışkan sabit basınçlı karışım bölgesinde karıştıktan sonra difüzör boyunca hareket ederler. Karışımın sabit alan difüzör bölgesinde girişinde hızı sesüstü iken sabit alan difüzör bölgesinde çıkışında hız sesaltı olur. Karışım bölgesinde sabit basınç gereksinimini karşılamak için karışım bölgesi alan oranı ejektörün farklı dış çalışma koşullarına göre değişkenlik göstermelidir. Basıncın sabit kalabilmesi için ön karışım bölgesinin geometrik tasarımı önemli bir etkendir.



Şekil 3.1: Sabit Basınç Modelli Ejektörün Şematik Gösterimi(Liao,2008)

3.1.2 Sabit Alan Modeli

Sabit Alanlı bir ejektörün şematik şekli Şekil 3.2 ‘de görülmektedir. Sesüstü hıza sahip primer akışkan ile sesaltı hızla sahip sekonder akışkan sabit alanlı karışım bölgesinde karışırlar. Karışımın sabit alan karışım bölgesi çıkışında hızı sesaltıdır. Sabit alanlı ejektör iki belirgin çalışma rejimine sahiptir. Bu rejim, ejektörün kütlesel debi oranı karakteristiğinin ejektör çıkışındaki karşı basınçla bağlı olup olmamasına göre belirlenir. Eğer kütlesel debi oranı karakteristiği ejektör çıkışındaki karşı basınçla bağlı ise bu durumda rejim karışmış akış şeklindedir. Eğer kütlesel debi oranı karakteristiği ejektör çıkışındaki karşı basınçtan bağımsız ise bu durumda ise rejim sesüstü akış şeklindedir.



Şekil 3.2: Sabit Alan Modelli Ejektörün Şematik Gösterimi (Liao,2008)

3.2 Hesaplama Methodunun Oluşturulması

Bölüm 2.6’da termodinamik analizi yapılan sabit basınç modelli ejektörlü soğutma sisteminin hesaplama methodu aşağıda belirtilen iş akış planına göre oluşturulmuştur.

1. Soğutucu Akışkan Seçimi
2. Kondenser Sıcaklık Değeri Seçimi
3. Evaporatör Sıcaklık Değeri Seçimi

4. Tahrik Memesi Verim Değerinin Seçimi

5. Emme Memesi Verim Değerinin Seçimi

6. Difüzör Verim Değerinin Seçimi

7. Kütlesel Debi Oranı Değerinin Tahmini Seçimi

$$\triangleright P_2 < P_{3m} < P_3 ,$$

$$\triangleright u_{2b} < u_{3m} < u_{1b} ,$$

$$\triangleright K = [(a_{1b} + a_{2b}) u_{3m} / v_{3m}] \quad [\text{kg/s}] \quad \text{olmak üzere},$$

$K \geq 1$ ve K minimum değerde olacak

Yukarda belirtilen koşulları sağlayacak şekilde uygun w değeri seçilir.

8. P_b Basınç Değerinin Tahmini Seçimi

$$\triangleright u_{2b} < u_{3m} < u_{1b}$$

$$\triangleright K = [(a_{1b} + a_{2b}) u_{3m} / v_{3m}] \quad [\text{kg/s}] \quad \text{olmak üzere},$$

$K \geq 1$ ve K minimum değerde olacak

Yukarda belirtilen koşulları sağlayacak şekilde uygun P_b değeri seçilir.

9. P_{3m} Basınç Değerinin Tahmini Seçimi

$$\triangleright P_2 < P_{3m} < P_3$$

$$\triangleright K = [(a_{1b} + a_{2b}) u_{3m} / v_{3m}] \quad [\text{kg/s}] \quad \text{olmak üzere},$$

$K \geq 1$ ve K minimum değerde olacak

Yukarda belirtilen koşulları sağlayacak şekilde uygun P_{3m} değeri seçilir.

10. Şekil 2.9 ‘da gösterilen ejektörülü soğutma sistemi çevriminin termodinamik analizi bölüm 2.6 ‘da anlatıldığı şekilde programda yazılır.

11. Program çalıştırılır.

12. Eğer program

- $P_2 < P_{3m} < P_3$ veya
- $u_{2b} < u_{3m} < u_{1b}$ koşulları gerçekleşmediği için hata verirse yeni bir kütiesel debi oranı değeri verilir.

13. Eğer program

- $P_2 < P_{3m} < P_3$ veya
- $u_{2b} < u_{3m} < u_{1b}$ koşulları gerçekleştiği için hata vermezse
- $K \geq 1$ koşulunu gerçekleştirecek minimum K değeri elde edilene kadar P_b ' ye değer verilerek optimum P_b değeri elde edilir.

14. Minimum K değerini sağlayan optimum P_b değeri belirlendikten sonra

- $u_{2b} < u_{3m} < u_{1b}$ ve
- $K \geq 1$ koşulunu gerçekleştirecek minimum K değeri elde edilene kadar P_{3m} ' ye değer verilerek optimum P_{3m} değeri elde edilir.

15. Optimum P_b ve P_{3m} değerleri elde edildikten sonra bu değerler programda yazılarak sistemin termodinamik analizi tamamlanır. Sistem ile ilgili istenilen noktaların termodinamik özellik değerleri program çalıştırılarak hesaplanır.

16. Elde edilen verilerden yararlanılarak sistemin soğutma kapasitesi, optimum ejektör alan oranı, ejektörlü sistem soğutma performans katsayısı, sistemin kompresör gücü ve kompresör sıkıştırma oranı hesaplanır.

17. Kütiesel debi oranına bağlı çalışma aralığı içerisinde kalan diğer kütiesel debi oranı değerleri için de hesaplama prosedürü yukarıda anlatıldığı şekilde devam ettirilir.

Soğutkan olarak R410a kullanılan ejektörlü soğutma sisteminin $T_{kon} = T_{[1]} = 40$ °C ve $T_{ev} = T_{[2]} = 5$ °C sıcaklık değerleri için optimum P_b ve P_{3m} değerlerinin elde edildiği hesaplama methodunu gösteren örnek Tablo 3.1'de gösterilmiştir.

Tablo 3.1 R410a için Elde Edilen Optimum P_b ve P_{3m} Değerleri

$T_{[1]}$ (°C)	$T_{[2]}$ (°C)	w (m_2/m_1)	P_b (kPa)	P_{3m} (kPa)	K [kg/s]	u_{1b} (m/s)	u_{2b} (m/s)	u_{3m} (m/s)
40	5	0,95	840	980	1,665			
40	5	0,90	840	980	1,464			
40	5	0,85	840	980	1,323			
40	5	0,8	840	980	1,302			
40	5	0,75	840	980	1,293			
40	5	0,74	840	980	1,291	99,46	70	86,9
40	5	0,73	840	980	1,292			
40	5	0,72	840	980	1,294			
40	5	0,71	840	980	1,312			
40	5	0,7	840	980	1,343			
40	5	w<0,7 UYGUN DEĞİL		$P_3 > P_{3m} > P_2$ koşulu sağlanıyor.				
40	5	0,74	921	980	2,372			
40	5	0,74	900	980	1,644			
40	5	0,74	850	980	1,306			
40	5	0,74	825	980	1,281			
40	5	0,74	810	980	1,27			
40	5	0,74	800	980	1,268	102,4	83,69	94,41
40	5	0,74	790	980	1,269			
40	5	0,74	775	980	1,274			
40	5	0,74	750	980	1,285			
40	5	0,74	725	980	1,309			
40	5	0,74	$P_b < 725$ UYGUN DEĞİL	$u_{1b} > u_{3m} > u_{2b}$ koşulu sağlanıyor.				
40	5	0,74	800	935	1,204	102,41	83,7	94,42
40	5	0,74	800	950				
40	5	0,74	800	975				
40	5	0,74	800	995,5				
40	5	0,74	800	$P_{3m} > 995,5$ UYGUN DEĞİL	$P_3 > P_{3m} > P_2$ koşulu sağlanıyor.			

3.3 Sistem Parametrelerinin Belirlenmesi

Ejektörülü Soğutma Çevriminde hesaplamalar için daha önce literatürde yayınlanmış olan ,benzer çalışmalarında kullanılmış parametreler seçilmiştir. Bu parametreler Tablo 3.2 ‘de verilmiştir.

Tablo 3.2 Hesaplamada Kullanılan Değişken ve Sabit Parametreler

Değişken Parametreler		
Parametrenin Adı	Sembolü	Değer Aralığı
Kondenser Sıcaklığı	T _{kon}	35 C° ~ 50 C°
Evaporatör Sıcaklığı	T _{ev}	- 25 C° ~ 5 C°
Kütlesel Debi Oranı	w	0,5 ~ 0,95
Sabit Parametreler		
Parametrenin Adı	Sembolü	Değeri
Tahrik Lülesi Verimi	η _m	0,90
Emme Lülesi Verimi	η _s	0,90
Difüzör Verimi	η _d	0,80
Kompresör Verimi	η _{komp}	0,80

3.4 Hesaplamalarda Kullanılacak Yazılım Programının Oluşturulması

Bu çalışmada Engineering Equation Solver (EES) programı kullanılmış olup kullanılan program ; lineer ve nonlinear cebirsel ve diferansiyel denklemeleri nümerik olarak çözen, 3D plotting yeteneği mevcut, içinde katı ve akışkanların termodinamik ve malzeme özelliklerini barındıran, Termodinamik ve Akışkanlar Mekaniği konularınında bazı karmaşık problemlerin çözümü için gerekli olan, DELPHİ tabanlı bir yazılımdır. Termodinamik alanında literatürde yayınlanmış pek çok çalışmada bu program kullanılmıştır. Programda soğutucu akışkanların termodinamik özellikleri; DFT , NBP , ASHRAE ve IIR referans standartlarından istenilen standartı seçmeye elverişli olup yapılan bu çalışmada ASHRAE standartına göre olan termodinamik özellikler seçilmiştir.Yazılan program ve sonuçların doğruluğu N.Bilir, H.K.Ersoy ve A.Hepbaşlı ‘nın 2011 yılında R22 için yapmış

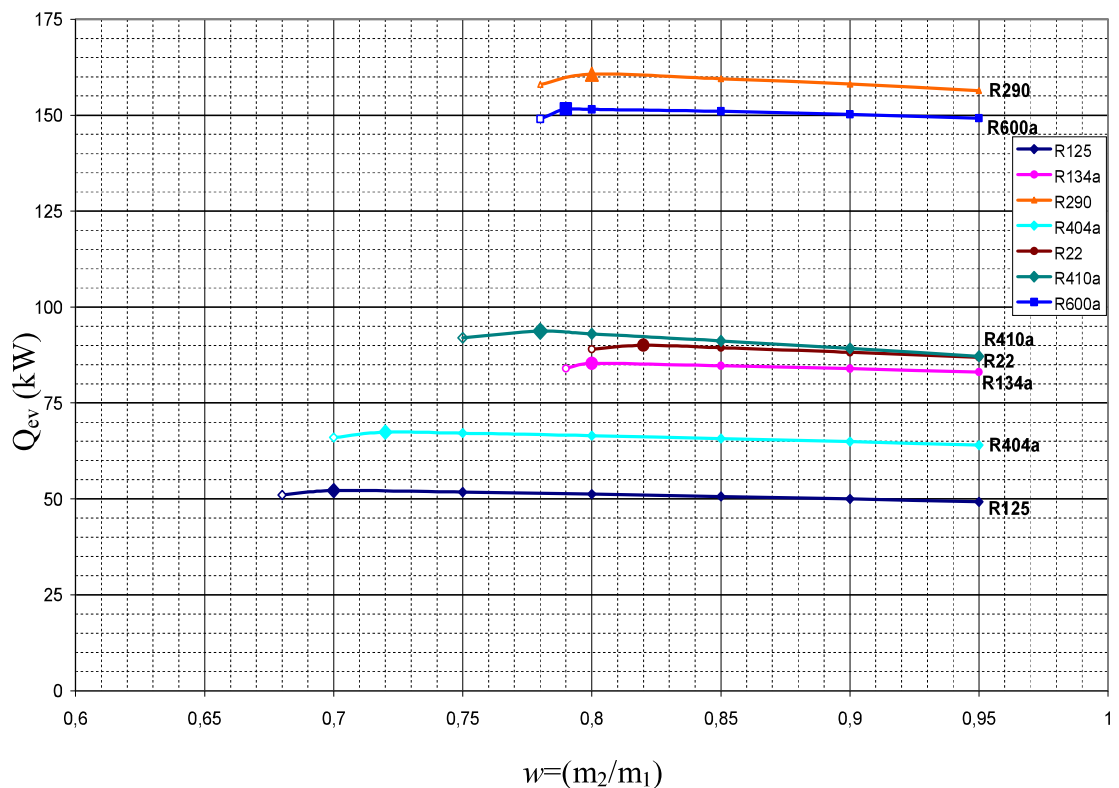
oldukları, ejektörlü sistem soğutma performansı katsayısı iyileştirme oranı değeri $COP,r = 0,11$ ile mukayese edilerek kontrol edilmiştir. (N.Bilir, H.K.Ersoy ve A.Hepbaşlı.,2011) Yapılan çalışmada EES programı yardımıyla R22 için $T_{kon}=40\text{ }^{\circ}\text{C}$, $T_{ev} = 5\text{ }^{\circ}\text{C}$ çalışma koşullarında ejektörlü sistem soğutma performansı katsayısı iyileştirme oranı değeri $COP,r = 0,1112$ olarak bulunmuştur. Hesaplamalarda kullanacağımız yazılım programından elde ettiğimiz sonuç literatürde yapılmış çalışmayla yakınlık göstermiştir. R22 ve için $T_{kon}=40\text{ }^{\circ}\text{C}$ ve $T_{ev} = 5\text{ }^{\circ}\text{C}$ çalışma koşullarına göre EES (Engineering Equation Solver) programında yazılmış programın bir örneği Ek B.1'de , elde edilen sonuçlar ise Ek B.2 'de verilmiştir. Programın doğruluğu kontrol edildikten sonra R410a ve diğer soğutkanlar için farklı koşullarda çalışmalar yapılarak bulgular elde edilmiştir. R410a için $T_{kon}=40\text{ }^{\circ}\text{C}$ ve $T_{ev} = 5\text{ }^{\circ}\text{C}$ çalışma koşullarına göre EES (Engineering Equation Solver) programında yazılmış programın bir örneği Ek C.1'de , elde edilen sonuçlar ise Ek C.2'de verilmiştir.

4. BULGULAR VE TARTIŞILMASI

Bu bölümde, Bölüm 3.'de modellemesi tamamlanan buhar jetli ejektörlü bir soğutma sisteminde sekiz farklı soğutucu akışkan (R410a ,R22 ,R404a ,R134a ,R290 ,R125 ,R600a ,R717) için; soğutma kapasitesi, kompresör işi, ejektör alan oranı ve soğutma performans katsayılarını tespit etmek amacıyla farklı çalışma koşulları göz önüne alınarak, EES programı yardımıyla teorik bulgular elde edilmektedir. Elde edilen bulgular soğutucu akışkanların soğutma kapasitesi, kütlesel debi oranına bağlı çalışılabilirlik sınır değerleri, kompresör sıkıştırma oranı değerleri açısından birbirleriyle karşılaştırmalı olarak grafikler halinde incelenmektedir. Kondenser Sıcaklıklarları 35 °C , 40 °C , 45 °C ve 50 °C değerleri seçilerek farklı soğutkanların kütlesel debi oranlarına göre soğutma kapasitesi değerleri belirlenmektedir. Daha sonra kondenser sıcaklığı sabit kalmak üzere ; evaporatör sıcaklıkları 5 °C , 0 °C , -5 °C , -10 °C , -15 °C , -20 °C , -25 °C değerlerine ve kütlesel debi oranlarına bağlı olarak soğutma kapasitesi değerleri farklı soğutkanlar için belirlenmektedir. Elde edilen veriler ile Kondenser ve Evaporatör sıcaklığının optimum ejektör alan oranına etkisi araştırılmaktadır.

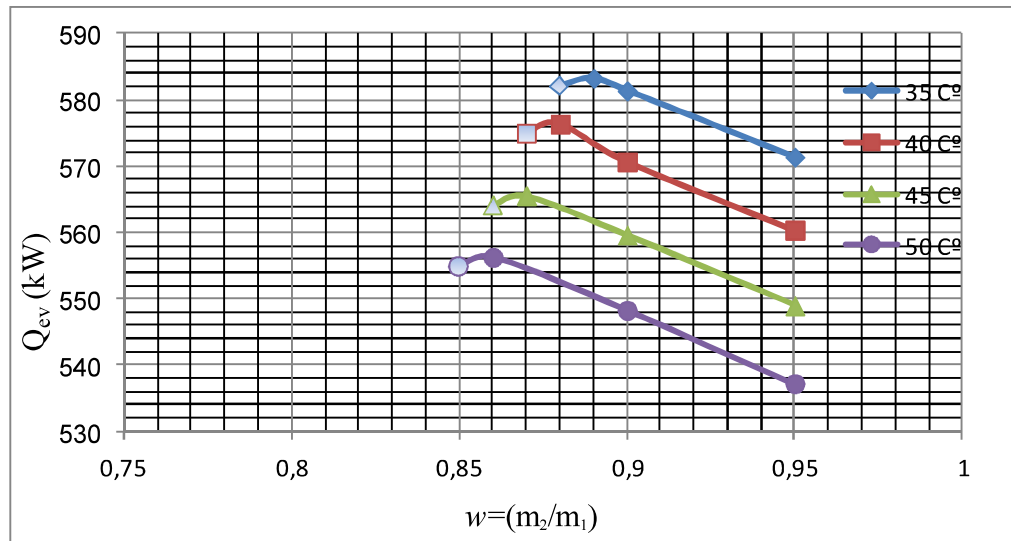
4.1 Farklı Kondenser Sıcaklıklarına Göre Kütesel Debi Oranına Bağlı Olarak Soğutma Kapasitesi Değişimlerinin İncelenmesi

Kondenser Sıcaklıklar 35 °C , 40 °C , 45 °C ve 50 °C değerleri seçilerek farklı soğutkanlar için kütlesel debi oranlarına göre Soğutma Kapasitesi değerleri belirlendi.



Şekil 4.1: $T_{kon}=35$ °C, $T_{ev}=5$ °C için $Q_{ev} - w$ Değişimi

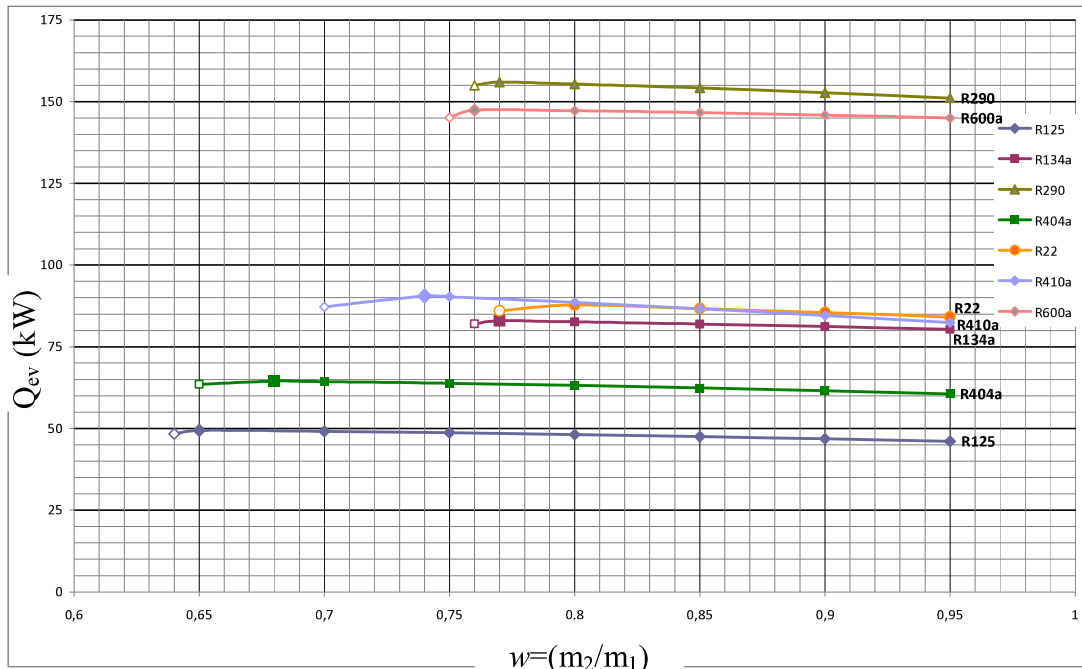
R717 soğutkanının soğutma kapasitesi değerleri diğer soğutkanlara oranla çok yüksek mertebelerde olduğundan diğer soğutkanlarla aynı grafikte yer vermek grafiğin anlaşılabilirliğini zorlaştırdığı için R717 soğutkanı için Şekil 4.2'de görüldüğü gibi ayrı bir grafik hazırlanmıştır.



Şekil 4.2: R717 için $T_{ev}=5\text{ }^{\circ}\text{C}$ ve Farklı Kondenser Sıcaklıklarları için $Q_{ev}-w$ Değişimi

Şekil 4.1'de, $T_{kon}=35\text{ }^{\circ}\text{C}$, $T_{ev}=5\text{ }^{\circ}\text{C}$ sıcaklık değerleri için kütlesel debi (w) değişimine bağlı olarak soğutucu akışkanlardaki soğutma kapasitesi (Q_{ev})'nin değişimi incelenmiştir. Grafiklerden soğutucu akışkanların kütlesel debi oranına değerlerine göre çalışma aralıkları görülmektedir. R125, kütlesel debi oranına bağlı çalışma aralığı en geniş olan ($0,68 - 0,95$) soğutucu akışkandır. Şekil 4.2'te görüldüğü gibi R717 ise ($0,88 - 0,95$) kütlesel debi oranına aralığı ile en dar çalışma aralığına sahip soğutucu akışkandır. Şekil 4.1 ve Şekil 4.2'de görüldüğü gibi aynı çalışma koşullarında en yüksek soğutma kapasitesine sahip soğutucu akışkan R717 ($583,3\text{ kW}$), en düşük soğutma kapasitesine sahip soğutucu akışkan ise R125 ($52,14\text{ kW}$) dir. Diğer taraftan; $T_{kon}=35\text{ }^{\circ}\text{C}$, $T_{ev}=5\text{ }^{\circ}\text{C}$ sıcaklık değerleri için R410a'nın kütlesel debi oranına bağlı soğutma kapasitesi R22'ye yakın; kütlesel debi oranına bağlı çalışma aralığı ise R22'ye göre daha genişir. Bu durum Montreal Protokolüne göre üretimi durdurulan R22 yerine R410a'nın kullanılmasının mümkün olabileceğini göstermektedir.

Evaporatör sıcaklığı sabit kalmak üzere kondenser sıcaklığının $35\text{ }^{\circ}\text{C}$ 'den $40\text{ }^{\circ}\text{C}$ 'ye çıkarılması ile soğutkanlarda oluşacak soğutma kapasitelerinin değişimleri incelendi. Elde edilen bulgular Şekil 4.3 'de gösterilmektedir.

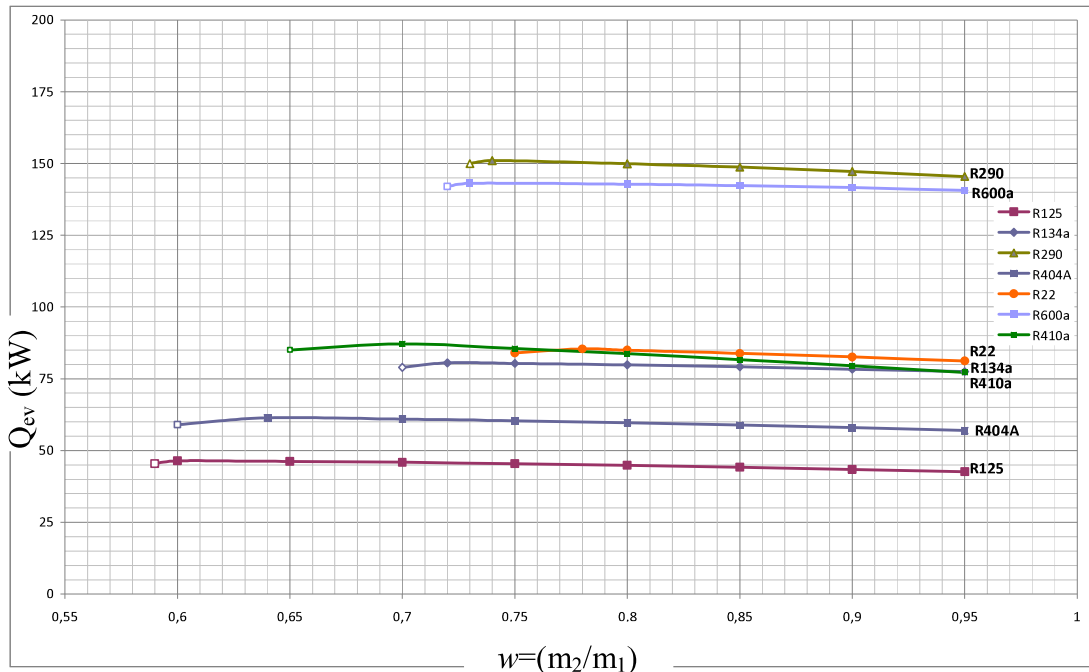


Şekil 4.3: $T_{\text{kon}}=40\text{ }^{\circ}\text{C}$, $T_{\text{ev}}=5\text{ }^{\circ}\text{C}$ için Q_{ev} – w Değişimi

Şekil 4.3 'de, $T_{\text{kon}}=40\text{ }^{\circ}\text{C}$, $T_{\text{ev}}=5\text{ }^{\circ}\text{C}$ sıcaklık değerleri için kütlesel debi(w) değişimine bağlı olarak soğutucu akışkanlardaki soğutma kapasitesi (Q_{ev}) 'nın değişimi incelenmiştir. Grafiklerden soğutucu akışkanların kütlesel debi oranı değerlerine göre çalışma aralıkları görülmektedir. R125 (0,64 – 0,95) kütlesel debi oranı aralığında en geniş çalışma aralığına sahip akışkandır. Şekil 4.2 'de görüldüğü gibi R717 ise (0,87 – 0,95) kütlesel debi oranı aralığında en dar çalışma aralığına sahip akışkandır. Şekil 4.3 ve Şekil 4.2 'de görüldüğü gibi en yüksek soğutma kapasitesine sahip soğutucu akışkan R717 (576,4 kW), en düşük soğutma kapasitesine sahip soğutucu akışkan ise R125 (49,41 kW)'dır. Kondenser sıcaklığının $35\text{ }^{\circ}\text{C}$ den $40\text{ }^{\circ}\text{C}$ ye yükseltilmesiyle soğutucu akışkanların soğutma kapasitesi değerlerinde azalma olduğu tespit edilmiştir.

$T_{\text{kon}}=40\text{ }^{\circ}\text{C}$, $T_{\text{ev}}=5\text{ }^{\circ}\text{C}$ sıcaklık değerleri için R410a'nın kütlesel debi oranına bağlı soğutma kapasitesi R22'ye yakın; kütlesel debi oranına bağlı çalışma aralığı ise R22'ye göre daha genişir. Kondenser sıcaklığının $35\text{ }^{\circ}\text{C}$ 'den $40\text{ }^{\circ}\text{C}$ 'ye çıkmasıyla R410a'nın soğutma kapasitesinde % 4 oranında azalma oluştuğu buna karşılık ise R22'nin soğutma kapasitesinde ise % 2 oranında azalma olduğu görülmüştür.

Evaporatör sıcaklığı sabit kalmak üzere kondenser sıcaklığının 40 °C ‘den 45 °C ‘ye çıkarılması ile soğutkanlarda oluşacak soğutma kapasitelerinin değişimleri incelendi. Elde edilen bulgular Şekil 4.4 ‘de gösterilmektedir.

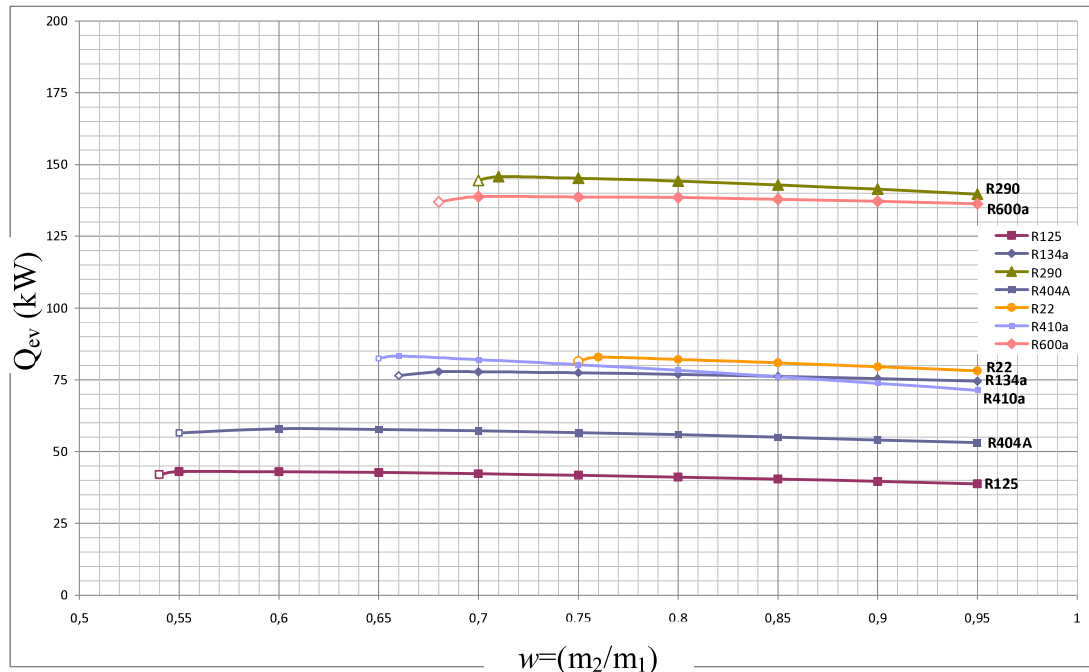


Şekil 4.4: $T_{kon}=45$ °C, $T_{ev}=5$ °C için Q_{ev} – w Değişimi

Şekil 4.4’ de, $T_{kon}=45$ °C, $T_{ev}=5$ °C sıcaklık değerleri için kütlesel debi (w) değişimine bağlı olarak soğutucu akışkanlardaki soğutma kapasitesi (Q_{ev}) ‘nin değişimi incelenmiştir. Grafiklerden soğutucu akışkanların kütlesel debi oranı değerlerine göre çalışma aralıkları görülmektedir. R125 (0,59 – 0,95)kütlesel debi oranı aralığında en geniş çalışma aralığına sahip akışkandır. Şekil 4.2 ’de görüldüğü gibi R717 ise (0,86 – 0,95) kütlesel debi oranı aralığında en dar çalışma aralığına sahip akışkandır. Şekil 4.4 ve Şekil 4.2’ de görüldüğü gibi en yüksek soğutma kapasitesine sahip soğutucu akışkan R717 (565,6 kW), en düşük soğutma kapasitesine sahip soğutucu akışkan ise R125 (46,41 kW)’dir. Kondenser sıcaklığının 40 °C den 45 °C ye yükseltilmesiyle soğutucu akışkanların soğutma kapasitesi değerlerinde azalma olduğu tespit edilmiştir.

$T_{kon}=45$ °C, $T_{ev}=5$ °C sıcaklık değerleri için R410a’nın kütlesel debi oranına bağlı soğutma kapasitesi R22’ye yakın; kütlesel debi oranına bağlı çalışma aralığı ise R22’ye göre daha genişir. Kondenser sıcaklığının 40 °C’den 45 °C’ye çıkmasıyla R410a’nın soğutma kapasitesinde % 2 oranında azalma olmuştur. Buna karşılık R22’nin soğutma kapasitesinde ise % 1 oranında azalma görülmüştür.

Evaporatör sıcaklığı sabit kalmak üzere kondenser sıcaklığının 45°C ‘den 50°C ‘ye çıkarılması ile soğutkanlarda oluşacak soğutma kapasitelerinin değişimleri incelendi. Elde edilen bulgular Şekil 4.5 ‘de gösterilmektedir.



Şekil 4.5: $T_{\text{kon}}=50^{\circ}\text{C}$, $T_{\text{ev}}=5^{\circ}\text{C}$ için Q_{ev} – w Değişimi

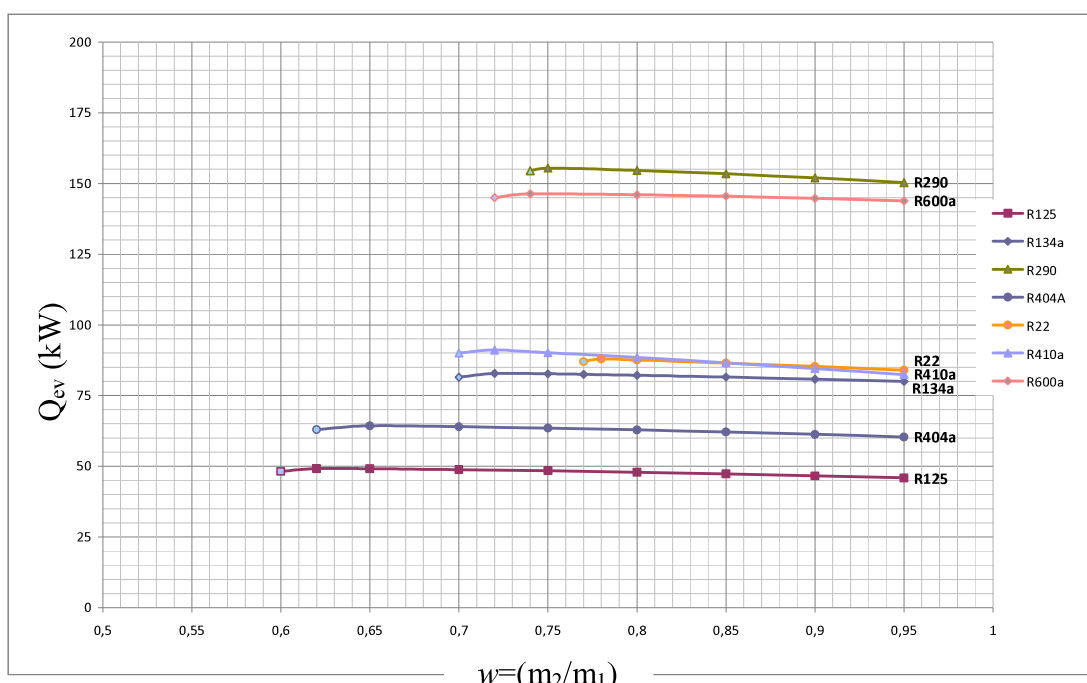
Şekil 4.5 ’de, $T_{\text{kon}}=50^{\circ}\text{C}$, $T_{\text{ev}}=5^{\circ}\text{C}$ sıcaklık değerleri için kütlesel debi (w) değişimine bağlı olarak soğutucu akışkanlardaki soğutma kapasitesi (Q_{ev}) ‘nin değişimi incelenmiştir. Grafiklerden soğutucu akışkanların kütlesel debi oranı değerlerine göre çalışma aralıkları görülmektedir. R125 (0,54 – 0,95) kütlesel debi oranı aralığında en geniş çalışma aralığına sahip akışkandır. Şekil 4.2 ’de görüldüğü gibi R717 ise (0,85 – 0,95) kütlesel debi oranı aralığında en dar çalışma aralığına sahip akışkandır. Şekil 4.5 ve Şekil 4.2’ de görüldüğü gibi en yüksek soğutma kapasitesine sahip soğutucu akışkan R717 (556,3 kW), en düşük soğutma kapasitesine sahip soğutucu akışkan ise R125 (43,05 kW)’dır. Kondenser sıcaklığının 45°C den 50°C ye yükseltilmesiyle soğutucu akışkanların soğutma kapasitesi değerlerinde azalma olduğu tespit edilmiştir.

$T_{\text{kon}}=50^{\circ}\text{C}$, $T_{\text{ev}}=5^{\circ}\text{C}$ sıcaklık değerleri için R410a’nın kütlesel debi oranına bağlı soğutma kapasitesi R22’ye yakın; kütlesel debi oranına bağlı çalışma aralığı ise R22’ye göre daha genişir. Kondenser sıcaklığının 45°C ’den 50°C ’ye çıkmasıyla R410a’nın soğutma kapasitesinde % 1 oranında azalma oluşur. Buna karşılık R22’nin soğutma kapasitesinde ise % 0,5 oranında azalma görülmüştür.

4.2 Farklı Evaporatör Sıcaklıklarına Göre Kütiesel Debi Oranına Bağlı Olarak Soğutma Kapasitesi Değişimlerinin İncelenmesi

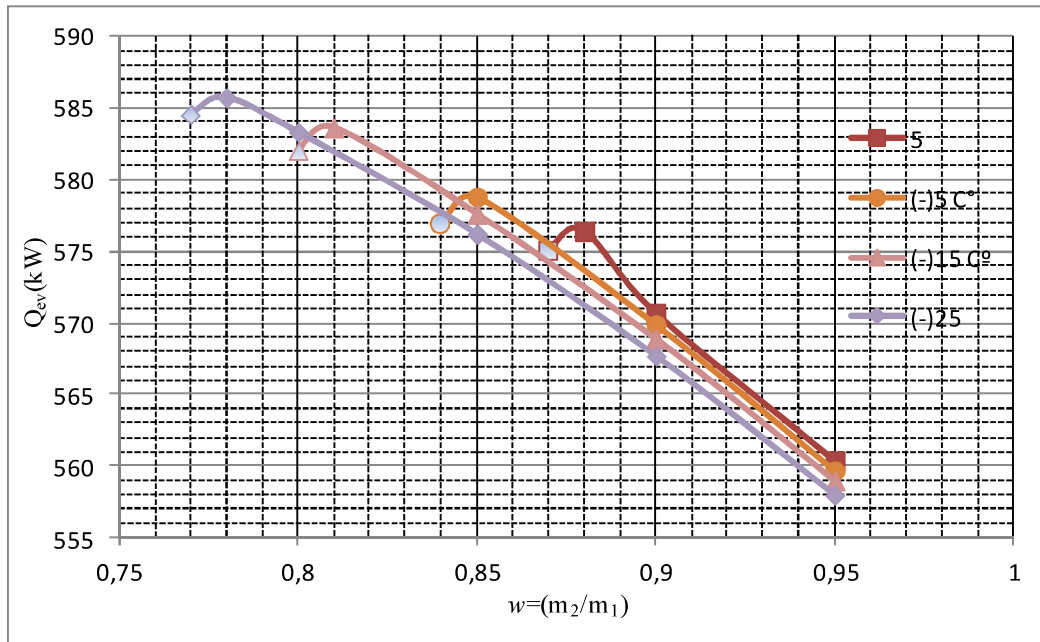
Evaporatör sıcaklıklarını 5°C , 0°C , -5°C , -10°C , -15°C , -20°C , -25°C değerleri seçilerek farklı soğutkanlar için kütiesel debi oranlarına göre soğutma kapasitesi değerleri belirlendi.

Kondenser sıcaklığı sabit kalmak üzere evaporatör sıcaklığının 5°C den 0°C ye düşürülmesi ile soğutkanlarda oluşacak soğutma kapasitelerinin değişimleri incelendi. Elde edilen bulgular grafikleştirilerek Şekil 4.6 ‘da gösterildi.



Şekil 4.6 : $T_{\text{kon}}=40^{\circ}\text{C}$, $T_{\text{ev}}=0^{\circ}\text{C}$ için $Q_{\text{ev}} - w$ Değişimi

R717 soğutkanının soğutma kapasitesi değerleri diğer soğutkanlara oranla çok yüksek mertebelerde olduğundan diğer soğutkanlarla aynı grafikte yer vermek grafiğin anlaşılabilirliğini zorlaştırdığı için R717 soğutkanı için Şekil 4.7'de görüldüğü şekilde ayrı bir grafik hazırlanmıştır.



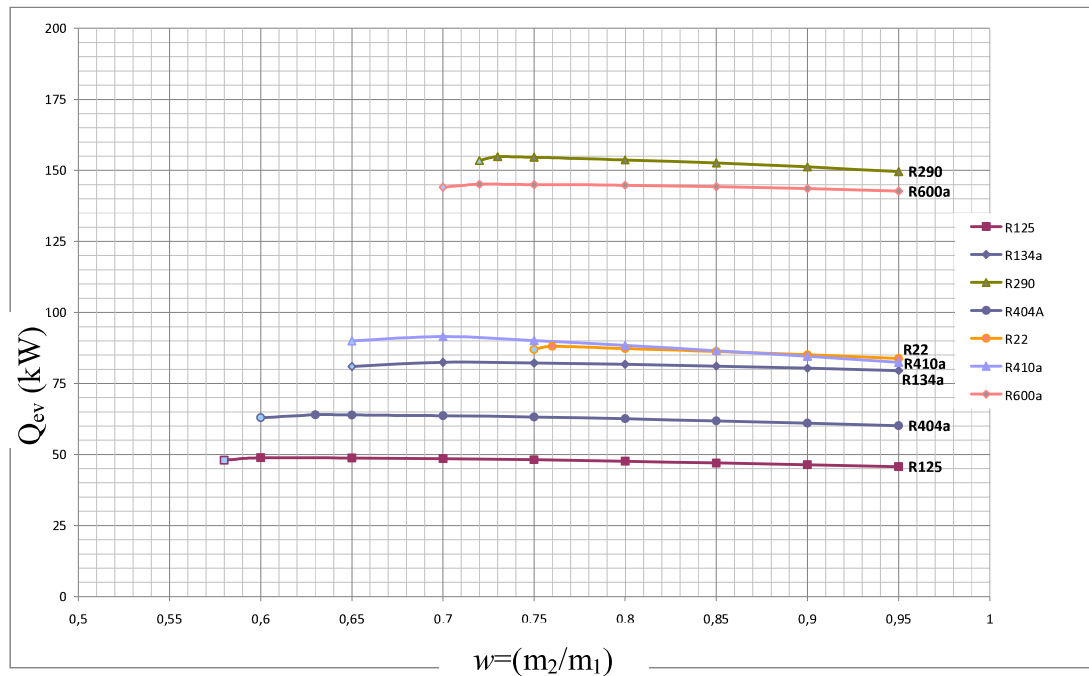
Şekil 4.7 : R717 için $T_{kon}= 40\text{ }^{\circ}\text{C}$ ve Farklı Evaporatör Sıcaklıkları için

$$Q_{ev} - w \text{ Değişimi}$$

Şekil 4.6 'da, $T_{kon}=40\text{ }^{\circ}\text{C}$, $T_{ev}=0\text{ }^{\circ}\text{C}$ sıcaklık değerleri için kütlesel debi (w) değişimine bağlı olarak soğutucu akışkanlardaki soğutma kapasitesi (Q_{ev})' nin değişimi incelenmiştir. Grafiklerden soğutucu akışkanların kütlesel debi oranı değerlerine göre çalışma aralıkları görülmektedir. R125 (0,6 – 0,95) kütlesel debi oranı aralığında en geniş çalışma aralığına sahip akışkandır. 4.7' de görüldüğü gibi R717 ise (0,85 – 0,95) kütlesel debi oranı aralığında en dar çalışma aralığına sahip akışkandır. Şekil 4.6 ve Şekil 4.7 de görüldüğü gibi en yüksek soğutma kapasitesine sahip soğutucu akışkan R717 (577,7 kW), en düşük soğutma kapasitesine sahip soğutucu akışkan ise R125 (49,18 kW)' dir. Evaporatör sıcaklığının 5 °C den 0 °C ye düşürülmesiyle soğutucu akışkanların soğutma kapasitesi değerlerinde artma olduğu tespit edilmiştir.

$T_{kon}=40\text{ }^{\circ}\text{C}$, $T_{ev}=0\text{ }^{\circ}\text{C}$ sıcaklık değerleri için R410a'nın kütlesel debi oranına bağlı soğutma kapasitesi R22'ye yakın; kütlesel debi oranına bağlı çalışma aralığı ise R22'ye göre daha genişdir.

Kondenser sıcaklığı sabit kalmak üzere evaporatör sıcaklığının $0\text{ }^{\circ}\text{C}$ ‘den $-5\text{ }^{\circ}\text{C}$ ’ ye düşürülmesi ile soğutkanlarda oluşacak soğutma kapasitelerinin değişimleri incelendi. Elde edilen bulgular Şekil 4.8’ da gösterilmektedir.

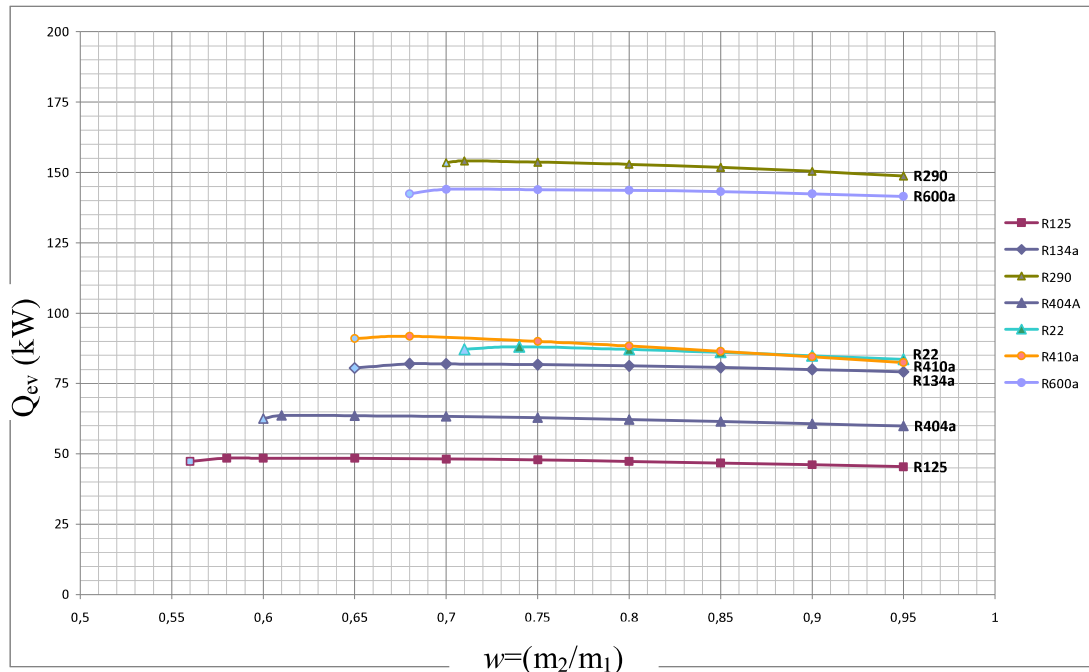


Şekil 4.8: $T_{kon}=40\text{ }^{\circ}\text{C}$, $T_{ev}= (-) 5\text{ }^{\circ}\text{C}$ için $Q_{ev} - w$ Değişimi

Şekil 4.8’ de, $T_{kon}=40\text{ }^{\circ}\text{C}$, $T_{ev}= -5\text{ }^{\circ}\text{C}$ sıcaklık değerleri için kütlesel debi (w) değişimine bağlı olarak soğutucu akışkanlardaki soğutma kapasitesi (Q_{ev})’ nin değişimi incelenmiştir. Grafiklerden soğutucu akışkanların kütlesel debi oranı değerlerine göre çalışma aralıkları görülmektedir. R125 (0,58 – 0,95) kütlesel debi oranı aralığında en geniş çalışma aralığına sahip akışkandır. Şekil 4.7 ’de görüldüğü gibi R717 ise (0,84 – 0,95)kütlesel debi oranı aralığında en dar çalışma aralığına sahip akışkandır. Şekil 4.8 ve Şekil 4.7’ de görüldüğü gibi en yüksek soğutma kapasitesine sahip soğutucu akışkan R717 (578,8 kW), en düşük soğutma kapasitesine sahip soğutucu akışkan ise R125 (48,1 kW)’dir. Evaporatör sıcaklığının $0\text{ }^{\circ}\text{C}$ den $-5\text{ }^{\circ}\text{C}$ ’ ye düşürülmesiyle soğutucu akışkanların soğutma kapasitesi değerlerinde artma olduğu tespit edilmiştir.

$T_{kon}=40\text{ }^{\circ}\text{C}$, $T_{ev}=-5\text{ }^{\circ}\text{C}$ sıcaklık değerleri için R410a’nın kütlesel debi oranına bağlı soğutma kapasitesi R22’ye yakın; kütlesel debi oranına bağlı çalışma aralığı ise R22’ye göre daha genişdir.

Kondenser sıcaklığı sabit kalmak üzere evaporatör sıcaklığının -5°C den -10°C ye düşürülmesi ile soğutkanlarda oluşacak soğutma kapasitelerinin değişimleri incelendi. Elde edilen bulgular Şekil 4.9 'da gösterilmektedir.

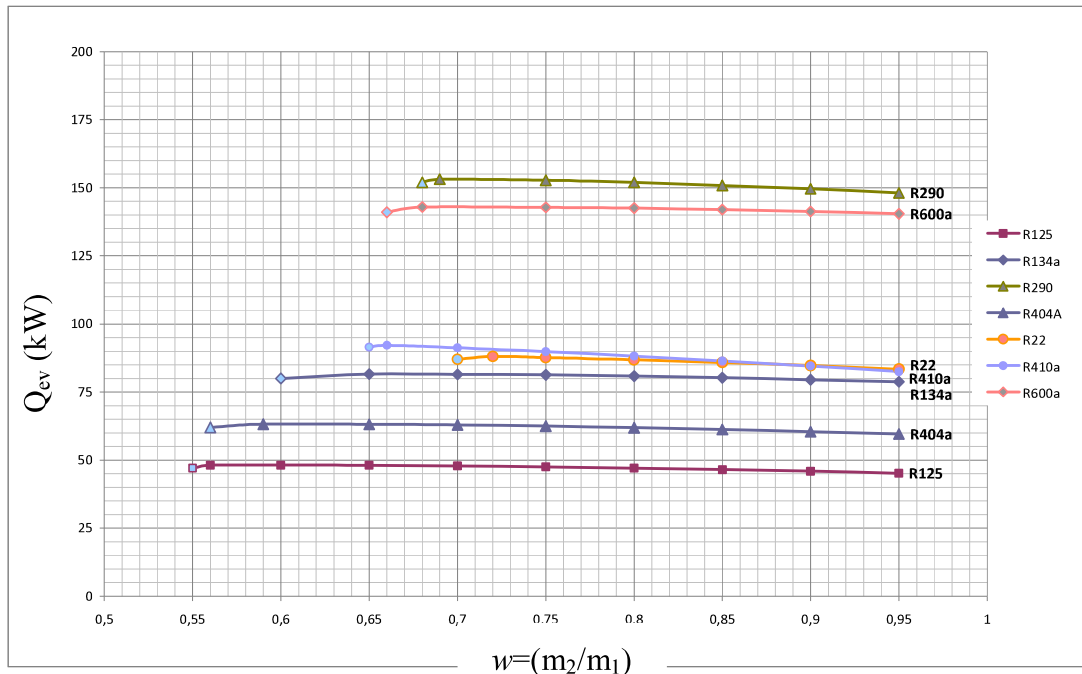


Şekil 4.9: $T_{\text{kon}}=40^{\circ}\text{C}$, $T_{\text{ev}}= (-) 10^{\circ}\text{C}$ için $Q_{\text{ev}} - w$ Değişimi

Şekil 4.9' da, $T_{\text{kon}}=40^{\circ}\text{C}$, $T_{\text{ev}}=-10^{\circ}\text{C}$ sıcaklık değerleri için kütlesel debi (w) değişimine bağlı olarak soğutucu akışkanlardaki soğutma kapasitesi (Q_{ev})' nin değişimi incelenmiştir. Grafiklerden soğutucu akışkanların kütlesel debi oranı değerlerine göre çalışma aralıkları görülmektedir. R125 (0,56 – 0,95) kütlesel debi oranı aralığında en geniş çalışma aralığına sahip akışkandır. Şekil 4.7' de görüldüğü gibi R717 ise (0,83 – 0,95) kütlesel debi oranı aralığında en dar çalışma aralığına sahip akışkandır. Şekil 4.9 ve Şekil 4.7 'de görüldüğü gibi en yüksek soğutma kapasitesine sahip soğutucu akışkan R717 (579,9 kW), en düşük soğutma kapasitesine sahip soğutucu akışkan ise R125 (48,5 kW)'dır. Evaporatör sıcaklığının -5°C den -10°C ye düşürülmesiyle soğutucu akışkanların soğutma kapasitesi değerlerinde artma olduğu tespit edilmiştir.

$T_{\text{kon}}=40^{\circ}\text{C}$, $T_{\text{ev}}=-10^{\circ}\text{C}$ sıcaklık değerleri için R410a'nın kütlesel debi oranına bağlı soğutma kapasitesi R22'ye yakın; kütlesel debi oranına bağlı çalışma aralığı ise R22'ye göre daha genişdir.

Kondenser sıcaklığı sabit kalmak üzere evaporatör sıcaklığının -10°C den -15°C ye düşürülmesi ile soğutkanlarda oluşacak soğutma kapasitelerinin değişimleri incelendi. Elde edilen bulgular Şekil 4.10' da gösterilmektedir.

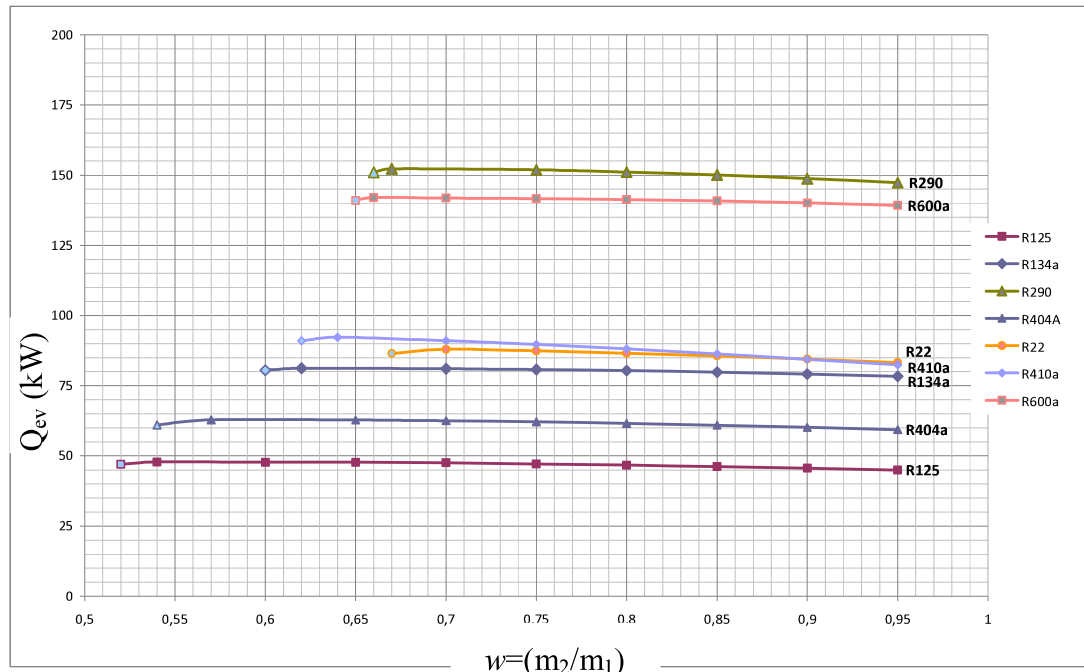


Şekil 4.10: $T_{\text{kon}}=40^{\circ}\text{C}$, $T_{\text{ev}}= (-) 15^{\circ}\text{C}$ için $Q_{\text{ev}} - w$ Değişimi

Şekil 4.10 'da, $T_{\text{kon}}=40^{\circ}\text{C}$, $T_{\text{ev}}=-15^{\circ}\text{C}$ sıcaklık değerleri için kütlesel debi (w) değişimine bağlı olarak soğutucu akışkanlardaki soğutma kapasitesi (Q_{ev})'nun değişimi incelenmiştir. Grafiklerden soğutucu akışkanların kütlesel debi oranı değerlerine göre çalışma aralıkları görülmektedir. R125 (0,55 – 0,95) kütlesel debi oranı aralığında en geniş çalışma aralığına sahip akışkandır. Şekil 4.10'da görüldüğü gibi R717 ise (0,8 – 0,95) kütlesel debi oranı aralığında en dar çalışma aralığına sahip akışkandır. Şekil 4.10 ve Şekil 4.7' de görüldüğü gibi en yüksek soğutma kapasitesine sahip soğutucu akışkan R717 (583,6 kW), en düşük soğutma kapasitesine sahip soğutucu akışkan ise R125 (48,8 kW)'dır. Evaporatör sıcaklığının -10°C den -15°C ye düşürülmesiyle soğutucu akışkanların soğutma kapasitesi değerlerinde artma olduğu tespit edilmiştir.

$T_{\text{kon}}=40^{\circ}\text{C}$, $T_{\text{ev}}= -15^{\circ}\text{C}$ sıcaklık değerleri için R410a'nın kütlesel debi oranına bağlı soğutma kapasitesi R22'ye yakın; kütlesel debi oranına bağlı çalışma aralığı ise R22'ye göre daha genişdir.

Kondenser sıcaklığı sabit kalmak üzere evaporatör sıcaklığının -15°C ‘den -20°C ‘ye düşürülmesi ile soğutkanlarda oluşacak soğutma kapasitelerinin değişimleri incelendi. Elde edilen bulgular Şekil 4.11 ‘de gösterilmektedir.

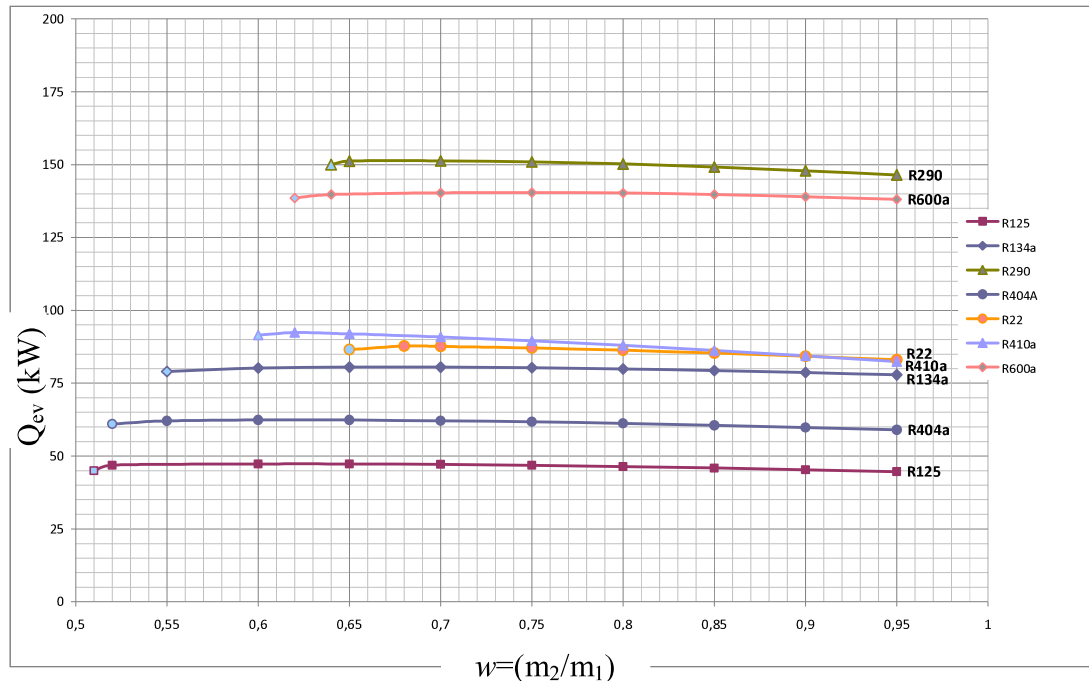


Şekil 4.11: $T_{\text{kon}}=40^{\circ}\text{C}$, $T_{\text{ev}}= (-) 20^{\circ}\text{C}$ için $Q_{\text{ev}} - w$ Değişimi

Şekil 4.11 ’de, $T_{\text{kon}}=40^{\circ}\text{C}$, $T_{\text{ev}}=-20^{\circ}\text{C}$ sıcaklık değerleri için kütlesel debi (w) değişimine bağlı olarak soğutucu akışkanlardaki soğutma kapasitesi (Q_{ev})’nin değişimi incelenmiştir. Grafiklerden soğutucu akışkanların kütlesel debi oranı değerlerine göre çalışma aralıkları görülmektedir. R125 (0,52 – 0,95) kütlesel debi oranı aralığında en geniş çalışma aralığına sahip akışkandır. Şekil 4.7’ de görüldüğü gibi R717 ise (0,78 – 0,95) kütlesel debi oranı aralığında en dar çalışma aralığına sahip akışkandır. Şekil 4.11 ve Şekil 4.7’ de görüldüğü gibi en yüksek soğutma kapasitesine sahip soğutucu akışkan R717 (585,4 kW), en düşük soğutma kapasitesine sahip soğutucu akışkan ise R125 (49,1 kW)’dır. Evaporatör sıcaklığının -15°C den -20°C ye düşürülmesiyle soğutucu akışkanların soğutma kapasitesi değerlerinde artma olduğu tespit edilmiştir.

$T_{\text{kon}}=40^{\circ}\text{C}$, $T_{\text{ev}}=-20^{\circ}\text{C}$ sıcaklık değerleri için R410a’nın kütlesel debi oranına bağlı soğutma kapasitesi R22’ye yakın; kütlesel debi oranına bağlı çalışma aralığı ise R22’ye göre daha genişdir.

Kondenser sıcaklığı sabit kalmak üzere evaporatör sıcaklığının -20°C den -25°C ye düşürülmesi ile soğutkanlarda oluşacak soğutma kapasitelerinin değişimleri incelendi. Elde edilen bulgular grafikleştirilerek Şekil 4.12 'de gösterildi.



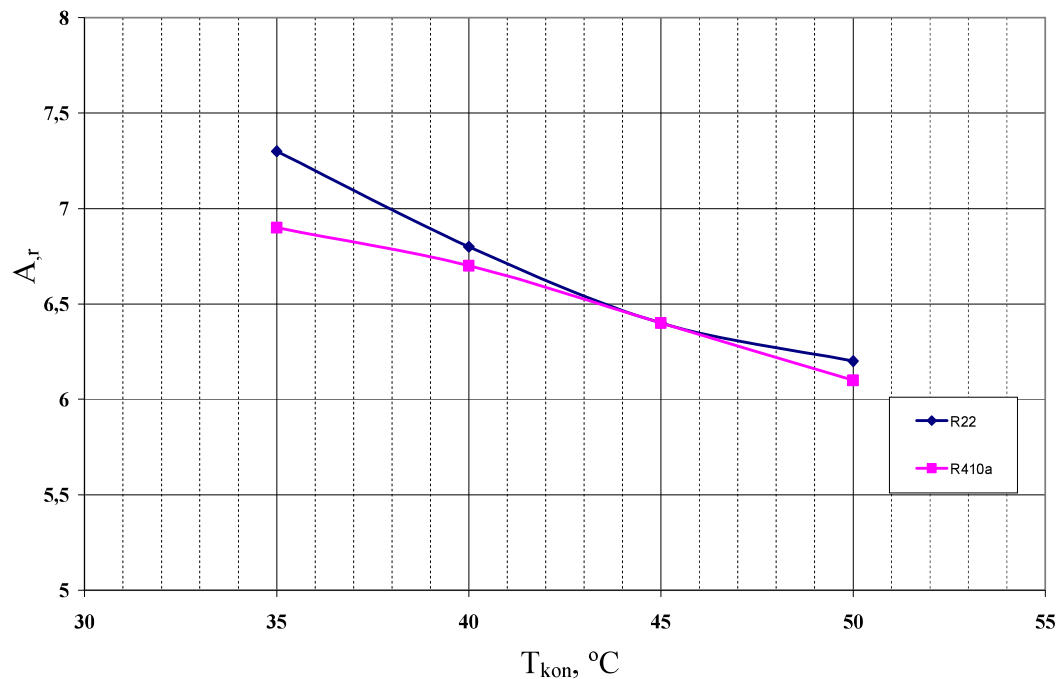
Şekil 4.12: $T_{\text{kon}}=40^{\circ}\text{C}$, $T_{\text{ev}}= (-) 25^{\circ}\text{C}$ için $Q_{\text{ev}} - w$ Değişimi

Şekil 4.12 'de, $T_{\text{kon}}=40^{\circ}\text{C}$, $T_{\text{ev}}=-25^{\circ}\text{C}$ sıcaklık değerleri için kütlesel debi (w) değişimine bağlı olarak soğutucu akışkanlardaki soğutma kapasitesi (Q_{ev}) 'nın değişimi incelenmiştir. Grafiklerden soğutucu akışkanların kütlesel debi oranı değerlerine göre çalışma aralıkları görülmektedir. R125 (0,51 – 0,95) kütlesel debi oranı aralığında en geniş çalışma aralığına sahip akışkandır. Şekil 4.7 'de görüldüğü gibi R717 ise (0,77 – 0,95) kütlesel debi oranı aralığında en dar çalışma aralığına sahip akışkandır. Şekil 4.12 'de ve Şekil 4.7 'de görüldüğü gibi en yüksek soğutma kapasitesine sahip soğutucu akışkan R717 (585,7 kW), en düşük soğutma kapasitesine sahip soğutucu akışkan ise R125 (49,5 kW)'dır. Evaporatör sıcaklığının -20°C den -25°C ye düşürülmesiyle soğutucu akışkanların soğutma kapasitesi değerlerinde artma olduğu tespit edilmiştir.

$T_{\text{kon}}=40^{\circ}\text{C}$, $T_{\text{ev}}=-25^{\circ}\text{C}$ sıcaklık değerleri için R410a'nın kütlesel debi oranına bağlı soğutma kapasitesi R22'ye yakın; kütlesel debi oranına bağlı çalışma aralığı ise R22'ye göre daha genişdir.

4.3 R22 ve R410a Soğutucu Akışkanlarının Kondenser Sıcaklık Değişimine Bağlı Olarak Optimum Ejektör Alan Oranlarının Değişiminin İncelenmesi

Bölüm 3.1'de açıklandığı gibi ejektör alan oranının optimum değeri pratik uygulamalar açısından önemlidir. Bu bölümde kondenser sıcaklığının optimum ejektör alan oranına etkisi araştırılmış ve elde edilen bulgular Şekil 4.13'de grafikleştirilmiştir.

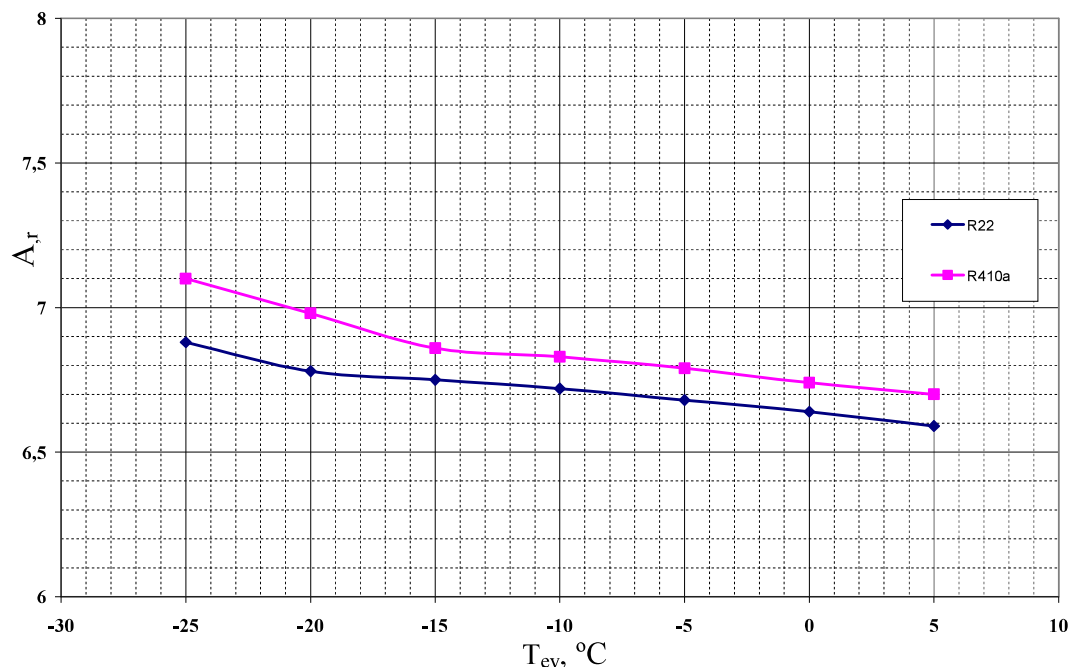


Şekil 4.13: $T_{ev}=5\text{ }^{\circ}\text{C}$ için R22 ve R410a Soğutucu Akışkanlarının Kondenser Sıcaklık Değişimine Bağlı Optimum Ejektör Alan Oranı Değişimi

Şekil 4.13'de, $5\text{ }^{\circ}\text{C}$ sabit evaporatör sıcaklığında kondenser sıcaklığının $35\text{ }^{\circ}\text{C}$ 'dan $50\text{ }^{\circ}\text{C}$ 'a artırılması ile soğutucu akışkanlarının optimum ejektör alan oranı (A_{opt}) değerlerinin azaldığı görülmektedir. Bunun nedeni, primer akışkanın debisi ve sesüstü lülesinin çıkış alanının kondenser sıcaklığına bağlı artış göstermesindendir. Bu da, optimum ejektör alan oranını azaltmaktadır. $35\text{ }^{\circ}\text{C}$ ile $50\text{ }^{\circ}\text{C}$ kondenser sıcaklığı aralığında R22 ve R410a soğutucu akışkanlarının grafik karakteristikleri benzerlik göstermiştir. $45\text{ }^{\circ}\text{C}$ civarında her iki soğutucu akışkanının optimum ejektör alan oranları birbirine eşit çıkmıştır. Bu sonuctan, bu sıcaklık değeri için tasarlanacak $6,4$ optimum ejektör alan oranı değerine sahip ejektörde R22 ve R410a soğutucu akışkanlarının ayrı ayrı kullanılabilmesinin uygun olduğunu söyleyebiliriz.

4.4 Farklı Evaporatör Sıcaklıklarına Göre Çeşitli Soğutucu Akışkanlarının Ejektör Alan Oranı Değişimlerinin İncelenmesi

Bu bölümde evaporatör sıcaklığının optimum ejektör alan oranına etkisi araştırılmış bu nedenle $T_{kon}=40\text{ }^{\circ}\text{C}$ sabit kondenser sıcaklığı için ve farklı evaporatör sıcaklık değerlerine göre incelemeye elde edilen bulgular Şekil 4.14'de gösterilmektedir.

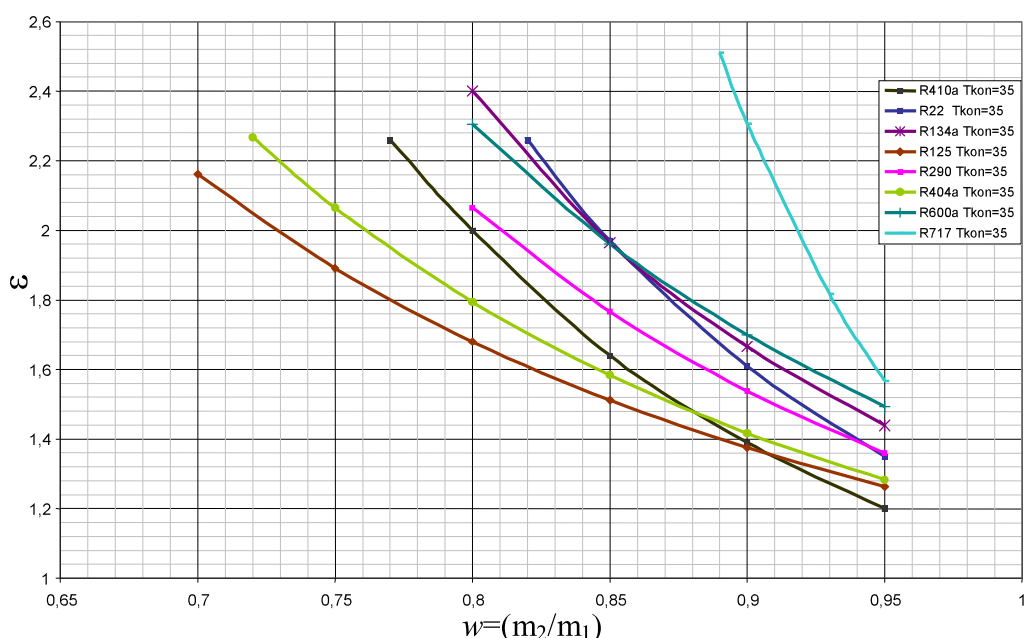


Şekil 4.14: $T_{kon}=40\text{ }^{\circ}\text{C}$ için R22 ve R410a Soğutucu Akışkanlarının Evaporatör Sıcaklık Değişimine Bağlı Optimum Ejektör Alan Oranı Değişimi

Şekil 4.14'de, $40\text{ }^{\circ}\text{C}$ sabit kondenser sıcaklığında evaporatör sıcaklığının $-25\text{ }^{\circ}\text{C}$ den $5\text{ }^{\circ}\text{C}$ ye arttırılması ile soğutucu akışkanların optimum ejektör alan oranı(A_{opt}) değerlerinin azaldığı görülmektedir. Evaporatör sıcaklığı arttıkça sekonder akışın debisi artacağından emme odası alanı da artar ve dolayısıyla optimum ejektör alan oranı artmış olur. $5\text{ }^{\circ}\text{C}$ ile $-25\text{ }^{\circ}\text{C}$ evaporatör sıcaklığı aralığında R22 ile R410a soğutucu akışkanlarının grafik karakteristikleri benzerlik göstermiştir. Fakat belirtilen evaporatör sıcaklık değerlerinde herhangi bir noktada kesim görülmemiştir. Bu nedenle bu sıcaklık aralığı için tasarlanacak ortak bir ejektörde, R22 ile R410a soğutucu akışkanlarının ayrı ayrı kullanılabilmesinin her iki soğutkanın grafiklerinin birbirlerine çok yakın olmasından dolayı ejektörde küçük bir modifikasyon yapılması ile mümkün olabileceği sonucuna varılabilir.

4.5 Farklı Soğutucu Akişkanlar için Kütlesel Debi Oranına Bağlı Olarak Kompresör Sıkıştırma Oranı Değişimlerinin İncelenmesi

Bu bölümde, Bölüm 2.'de kondenser basıncının seperatör basıncına oranı olarak ifade ettiğimiz kompresör sıkıştırma oranı değerinin sabit kondenser ve evaporatör sıcaklıklarında kütlesel debi oranına göre değişimi incelendi. Sekiz farklı soğutucu akışkan için $T_{kon}=35\text{ }^{\circ}\text{C}$ ve $T_{ev}=5\text{ }^{\circ}\text{C}$ için elde edilen bulgular Şekil 4.15'de görülmektedir.

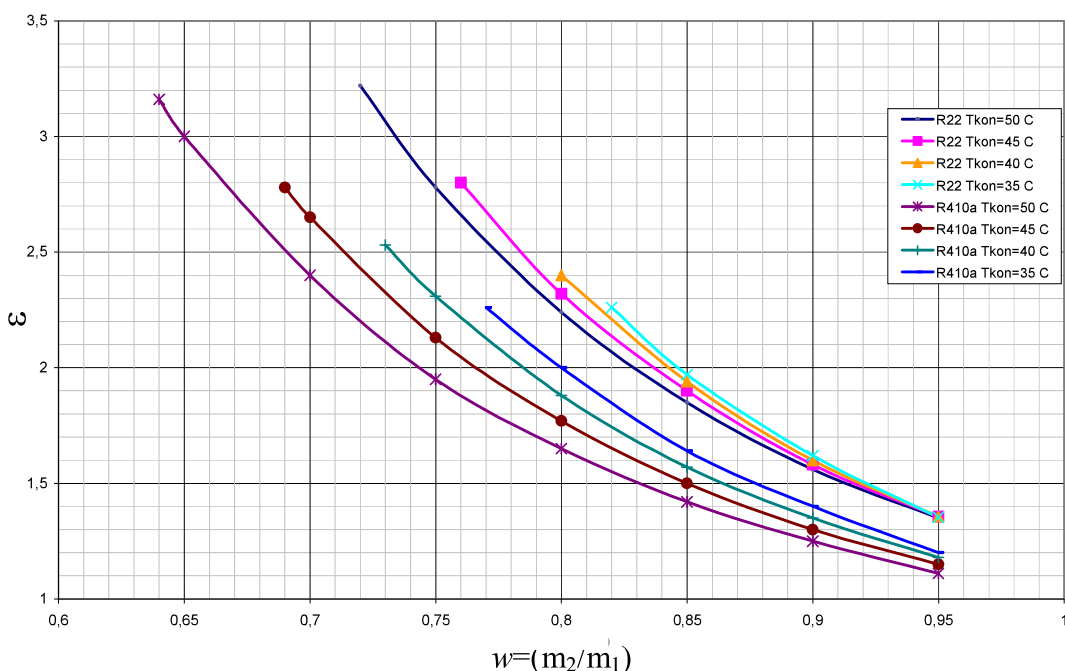


Şekil 4.15: $T_{kon}=35\text{ }^{\circ}\text{C}$, $T_{ev}=5\text{ }^{\circ}\text{C}$ için $\varepsilon - w$ Değişimi

Şekil 4.15 'de buhar jetli ejektörülü soğutma sistemlerinde kütlesel debi oranı (w)' na bağlı olarak kompresör sıkıştırma oranları (ε) 'nın değişim grafikleri görülmektedir. Grafiklerden de görüldüğü üzere kütlesel debi oranı w değeri yükseldikçe akışkanların kompresör sıkıştırma oranı değerleri azalmaktadır. En fazla değişimin R717' de, en az değişim ise R125' de olduğu görülmektedir.

4.6 Farklı Kondenser Sıcaklıklarları için R22 ve R410a 'nın Kütle Debi Oranı (w) - Kompresör Sıkıştırma Oranı (ε) Değişimlerinin İncelenmesi

Bu bölümde, Bölüm 4.5'de sekiz farklı soğutucu akışkan için yapılan genel incelemeden sonra R22 ve R410a soğutucu akışkanları için sabit evaporatör sıcaklığı için 35°C , 40°C , 45°C ve 50°C kondenser sıcaklıklarını için ayrı bir incelemede bulunuldu.

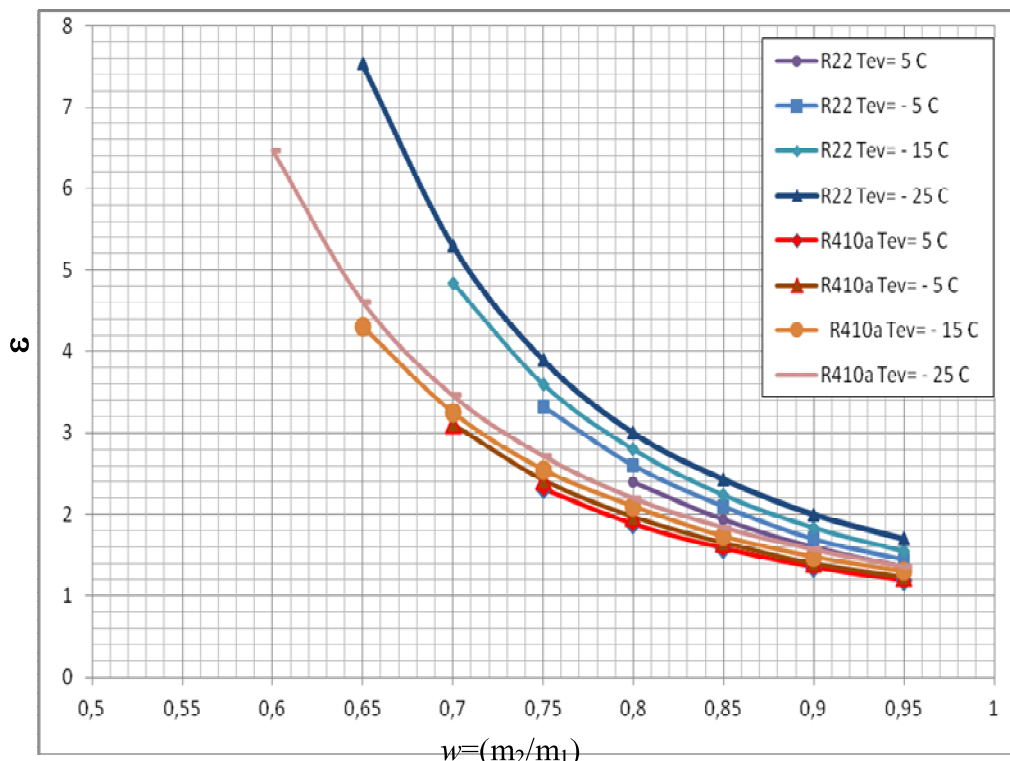


Şekil 4.16: $\text{Tev}=5^{\circ}\text{C}$ ve Farklı Kondenser Sıcaklıklarları için R22 ve R410a 'nın Kütle Debi Oranı (w) - Kompresör Sıkıştırma Oranı (ε) Değişimleri

Şekil 4.16'da R22 ve R410a soğutucu akışkanlarının buhar jetli ejektörlü soğutma sistemlerinde kütlesel debi oranı (w)'na bağlı olarak sabit evaporatör sıcaklığında farklı kondenser sıcaklıklarına göre kompresör sıkıştırma oranları (ε)'nın değişimi gösterilmiştir. Kondenser sıcaklığının kompresör sıkıştırma oranı üzerindeki etkisi kütlesel debi oranı arttıkça azalmaktadır. Öyle ki $w=0,95$ değerine yaklaşıkça bütün kondenser sıcaklıkları için kompresör sıkıştırma oranı değerleri birbirlerine çok yakın olmaktadır. Kondenser sıcaklığı artınca sistemin kütlesel debi oranına bağlı çalışma aralığı artmaktadır; kütlesel debi oranı değerlerinin azalmasına paralel kompresör sıkıştırma oranı değerleri artmaktadır.

4.7 Farklı Evaporatör Sıcaklıkları için R22 ve R410a 'nın Kütlesel Debi Oranı (w) - Kompresör Sıkıştırma Oranı (ε) Değişimlerinin İncelenmesi

Bu bölümde, Bölüm 4.6'da değişken kondenser sıcaklıklarını için yapılan incelemenin bir benzeri sabit kondenser sıcaklığı için $5\text{ }^{\circ}\text{C}$, $0\text{ }^{\circ}\text{C}$, $-5\text{ }^{\circ}\text{C}$, $-10\text{ }^{\circ}\text{C}$, $-15\text{ }^{\circ}\text{C}$, $-20\text{ }^{\circ}\text{C}$ ve $-25\text{ }^{\circ}\text{C}$ değişken evaporatör sıcaklıklarını için yapıldı.

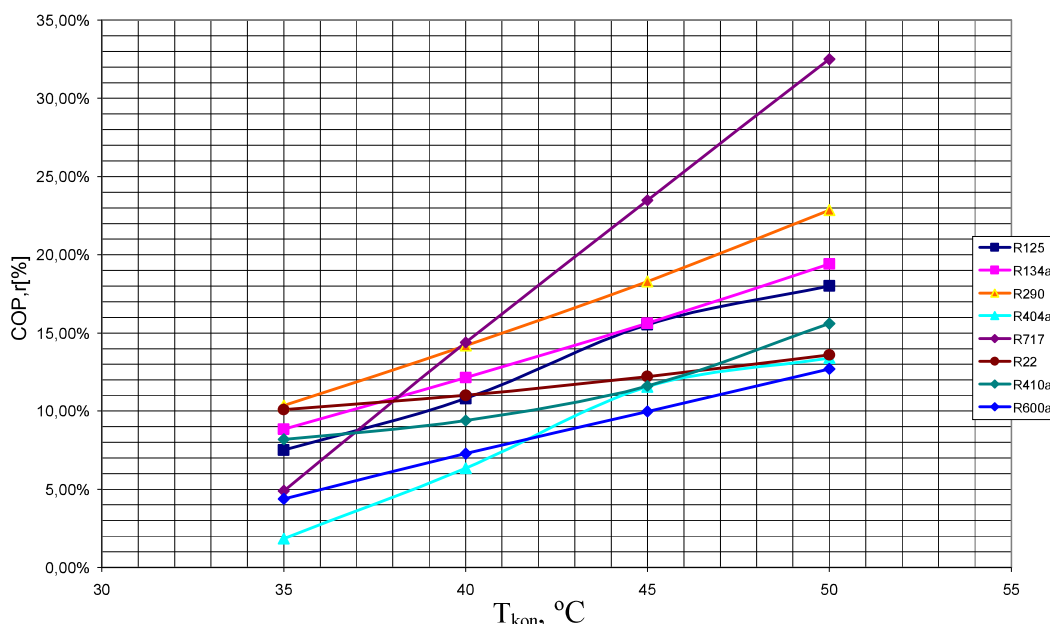


Şekil 4.17: $T_{kon}=40\text{ }^{\circ}\text{C}$ ve Farklı Evaporatör Sıcaklıkları için R22 ve R410a 'nın Kütlesel Debi Oranı (w) - Kompresör Sıkıştırma Oranı (ε) Değişimleri

Şekil 4.17'de R22 ve R410a soğutucu akışkanlarının buhar jetli ejektörülü soğutma sistemlerinde kütlesel debi oranı (w)'na bağlı olarak sabit kondenser sıcaklığında farklı evaporatör sıcaklıklarına göre kompresör sıkıştırma oranları (ε) 'nın değişim grafikleri görülmektedir. Evaporatör sıcaklığının kompresör sıkıştırma oranı üzerindeki etkisi kütlesel debi oranı arttıkça azalmaktadır. Öyle ki $w=0,95$ değerine yaklaşıkça bütün evaporatör sıcaklıklarını için kompresör sıkıştırma oranı değerleri birbirlerine çok yakın olmaktadır. Evaporatör sıcaklığı azaldıkça sistemin kütlesel debi oranına bağlı çalışma aralığı artmaktadır; kütlesel debi oranının değerlerinin azalmasına paralel kompresör sıkıştırma oranı değerleri artmaktadır. Kütlesel debi oranının değerleri R22 için R410a'ya göre aynı kütlesel debi oranının değerleri için daha yüksektir.

4.8 Kondenser Sıcaklık Değişimine göre Soğutucu Akişkanların Soğutma Performansı İyileştirilme Oranlarının İncelenmesi

Bu bölümde R125, R134a, R290, R404a, R717, R22, R410a ve R600a olmak üzere sekiz farklı soğutucu akişkanının ejektorlu soğutma sistemindeki soğutma performans katsayılarının (COP_i); klasik soğutma sistemindeki soğutma performans katsayılarına(COP_k) oranla meydana gelen iyileştirme oranlarının kondenser sıcaklığına bağlı değişimleri incelenmiştir.



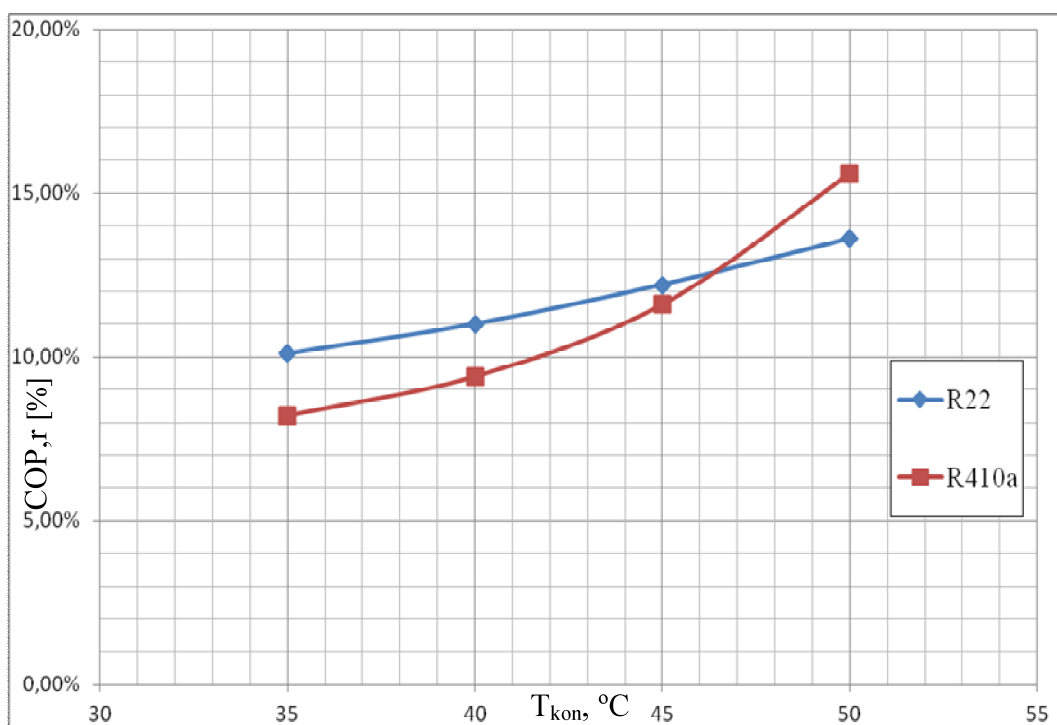
Şekil 4.18: $T_{evap}=5$ °C için Farklı Soğutkanların Kondenser Sıcaklığı Değişimine Bağlı Soğutma Performans Katsayısı İyileştirme Oranlarının Değişimi

Şekil 4.18' de $T_{evap}=5$ °C sabit evaporatör sıcaklığında farklı kondenser sıcaklıklarını için ejektorlu soğutma sisteminde elde edilen en yüksek ve en düşük iyileştirme oranına sahip soğutucu akişkanlar ile en yüksek ve en düşük iyileştirme oranı değerleri görülmektedir. Kondenser sıcaklığının 35 °C 'den 50 °C 'ye arttırılması ile en yüksek iyileştirme oranı R717'de (%4,2 → %32,5), en düşük iyileştirme oranı ise R410a'da (%8,2 → %15,6) görülmüştür. Evaporatör sıcaklığının sabit olduğu ejektorlu sistemlerde, R717'nin kondenser sıcaklık değişiminden diğer soğutucu akişkanlara göre daha hızlı etkilendiği Şekil 4.18 'den anlaşılmaktadır. Buradan R717'nin 40 °C üzerindeki kondenser sıcaklıklarında diğer soğutucu akişkanlara

göre ejektörlü soğutma sistemlerinde yüksek iyileştirme oranları verdiği sonucunu çıkartabiliriz.

4.9 Kondenser Sıcaklık Değişimine göre R22 ve R410a Soğutucu Akışkanlarının Soğutma Performansı İyileştirilme Oranlarının İncelenmesi

Bu bölümde, Bölüm 4.8'de genel olarak sekiz farklı soğutucu akışkan ile yapılan inceleme R22 ve R410a için ayrı olarak gerçekleştirilmiştir.

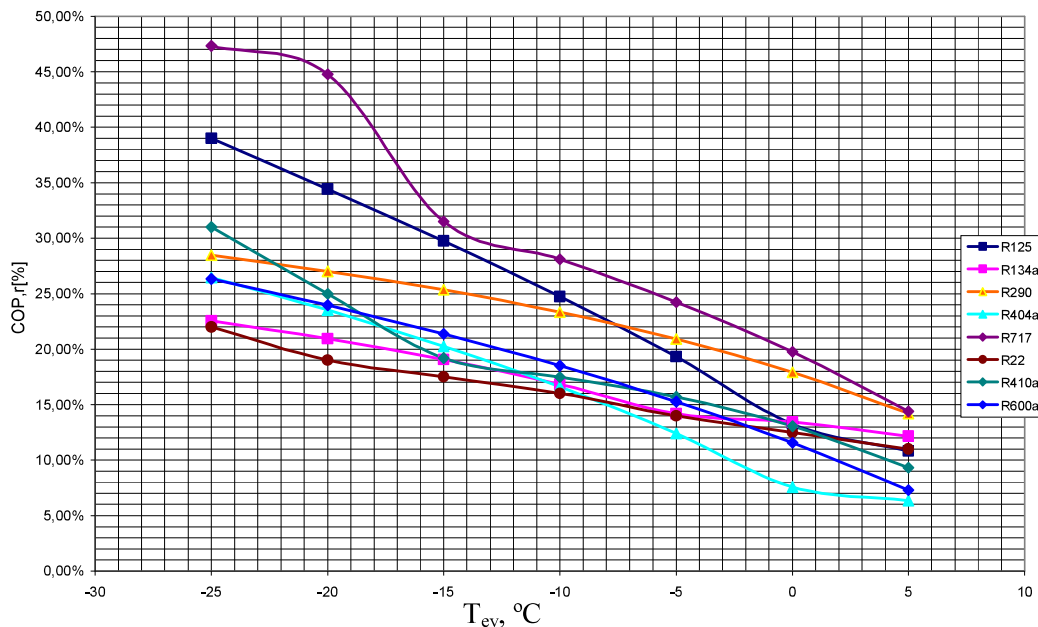


Şekil 4.19: $T_{ev}=5$ °C için Kondenser Sıcaklık Değişimine göre R22 ve R410a Soğutucu Akışkanlarının Soğutma Performansı İyileştirilme Oranlarının Değişimi

Soğutucu akışkan olarak R22 ve R410a kullanan iki farklı buhar sıkıştırılmış soğutma sisteme ejektör ilave edilmesiyle bu sistemlerin soğutma performansı etkinlik katsayısında meydana gelen iyileştirme oranlarının kondenser sıcaklığına bağlı etkisi araştırıldı. R410a soğutucu akışkanı kullanan sistemin soğutma performansı etkinlik katsayılarındaki iyileştirme oranının R22 kullanan sisteme kıyasla daha hızlı artış gösterdiği, soğutucu akışkanların sistem üzerindeki iyileştirme oranı değerlerinin birbirine yakın olduğu Şekil 4.19'da görülmektedir.

4.10 Evaporatör Sıcaklık Değişimine göre Soğutucu Akişkanlarının Soğutma Performansı İyileştirilme Oranlarının İncelenmesi

Bu bölümde R125, R134a, R290, R404a, R717, R22, R410a ve R600a olmak üzere sekiz farklı soğutucu akişkanının ejektorlu soğutma sistemindeki soğutma performans katsayılarının (COP_i); klasik soğutma sistemindeki soğutma performans katsayılarına (COP_k) oranla meydana gelen iyileştirme oranlarının evaporatör sıcaklığına bağlı değişimleri incelenmiştir.

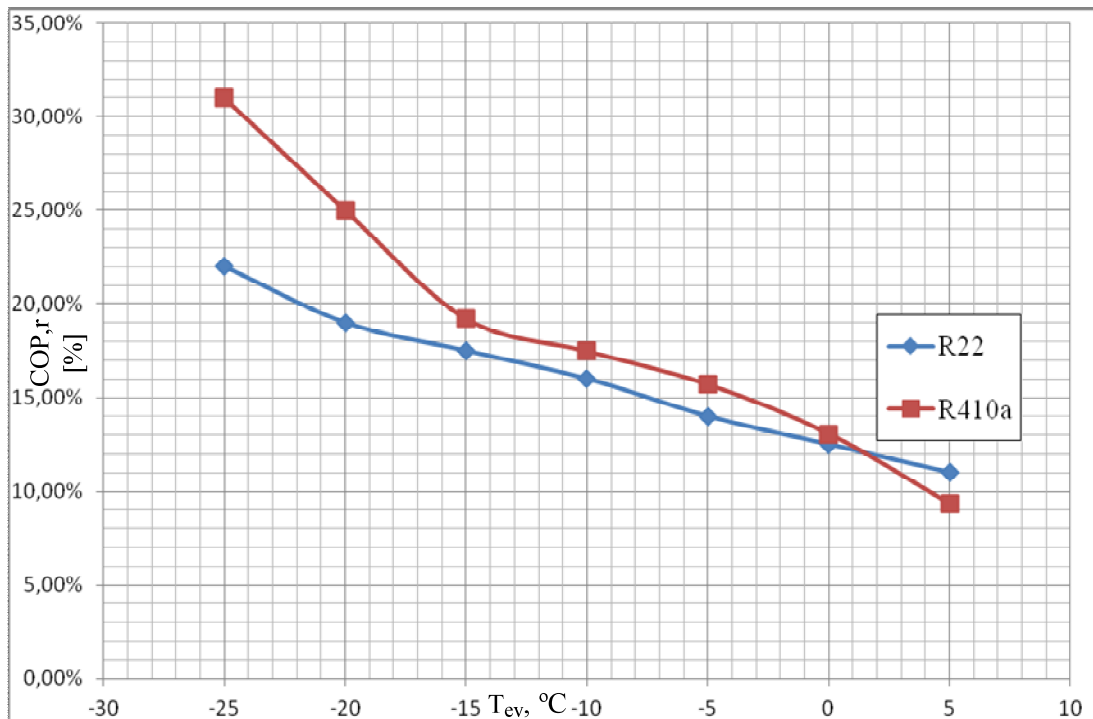


Şekil 4.20: $T_{kon}=40$ °C için Farklı Soğutkanların Evaporatör Sıcaklığı Değişimine Bağlı Soğutma Performans Katsayısı İyileştirme Oranlarının Değişimi

Şekil 4.20' de $T_{kon}=40$ °C sabit kondenser sıcaklığında farklı evaporatör sıcaklıklarını için ejektorlu soğutma sisteminde elde edilen en yüksek ve en düşük iyileştirme oranına sahip soğutucu akişkanlar ile en yüksek ve en düşük iyileştirme oranı değerleri görülmektedir. Evaporatör sıcaklığının 5 °C 'den -25 °C 'ye azaltılması ile en yüksek iyileştirme oranı R717'de (%14,4 → %47,3), en düşük iyileştirme oranı ise R134a'da (%12,2 → %22,6) görülmüştür. Kondenser sıcaklığının sabit olduğu ejektorlu sistemlerde, R717'nin evaporatör sıcaklık değişiminden diğer soğutucu akişkanlara göre daha hızlı etkilendiği bu oran yüzdesi değişimlerinden anlaşılmaktadır. Bu verilerden R717'nin 5 °C altındaki evaporatör sıcaklıklarında diğer soğutucu akişkanlara göre ejektorlu soğutma sistemlerinde yüksek iyileştirme oranlarına ulaşıldığı görülmektedir.

4.11 Evaporatör Sıcaklık Değişimine göre R22 ve R410a Soğutucu Akışkanlarının Soğutma Performansı İyileştirme Oranlarının İncelenmesi

Bu bölümde, Bölüm 4.10'da genel olarak sekiz farklı soğutucu akışkan ile yapılan inceleme R22 ve R410a için ayrı olarak gerçekleştirilmiştir.



Şekil 4.21: $T_{kon}=40$ °C için Evaporatör Sıcaklık Değişimine göre R22 ve R410a Soğutucu Akışkanlarının Soğutma Performansı İyileştirilme Oranlarının Değişimi

Soğutucu akışkan olarak R22 ve R410a kullanan iki farklı buhar sıkıştırmalı soğutma sistemine ejektör ilave edilmesiyle bu sistemlerin soğutma performansı etkinlik katsayısında meydana gelen iyileştirme oranlarının evaporatör sıcaklığına bağlı etkisi araştırıldı. R410a soğutucu akışkanı kullanan sistemin soğutma performansı etkinlik katsayılarındaki iyileştirme oranının R22 kullanan sisteme kıyasla daha hızlı artış gösterdiği, soğutucu akışkanların sistem üzerindeki iyileştirme oranı değerlerinin birbirine yakın olduğu Şekil 4.21'da görülmektedir.

5. SONUÇLAR

Bu çalışmada çok sayıda soğutkanın aynı çalışma koşullarında kullanımı ile elde edilen bulgulara göre ejektörlü buhar sıkıştırmalı soğutma sistemlerinde; sisteme ejektör ilave edilmesinin klasik sistemlerde kısılma ile kaybedilen enerjinin kullanıma alınıp kompresördeki sıkıştırma işinin azalması sonucu soğutma performans katsayısında artış sağladığı, her bir soğutkan için kütlesel debi oranının önemli bir faktör olduğu ve herbir soğutucu akışkanın kütlesel debi oranına bağlı belirli bir çalışma sınırı olduğu, çalışma sınırı dar olan R717 gibi soğutkanların soğutma kapasitelerinin çok yüksek değerlerde olduğu belirlenmektedir. Ejektör tasarımda önemli bir parametre olan optimum ejektör alan oranı değerinin kondenser ve evaporatör sıcaklıklarına göre değişken olduğu ve R22'nin R410a ile çok yakın optimum ejektör alan oranı değerine sahip olduğu belirlenmektedir. Kyoto ve Montreal Protokollerine göre çevreye yaptığı olumsuz etkileri nedeniyle üretimi durdurulan ve 2020 yılından itibaren de kullanımını yasaklanan R22 soğutucu akışkanı yerine R410a'nın kullanımının mümkün olabileceği tesbit edilmiştir. R410a'nın aynı çalışma koşullarında kütlesel debi oranına bağlı soğutma kapasitesi değerlerinin, optimum ejektör alan oranı değerleri ile soğutma performans katsayı iyileştirme oranlarının R22 ile yakınlık gösterdiği belirlenmiştir. Bu uyumluluk özellikle soğutma dünyasında kullanımını yasaklanmak üzere olan R22 yerine R410a'nın alternatif olarak sistem dönüşümünde kullanılabilirliğini göstermesi açısından önem taşımaktadır.

6. ÖNERİLER

Yapılan çalışmada kompresör sıkıştırma oranları R22 , R410A ve diğer farklı soğutkanlar için gösterilmiştir. Bu oranların bilinmesi seçilecek kompresörün kaç kademeli olması gerektiği hakkında bize bilgi vermektedir. Eğer kompresör iki ve daha fazla kademeli ise bu kademeler arasında yapılacak soğutma kompresörün işini etkilediğinden bu tip durumlar için de çalışmanın yapılması ayrıca soğutkanın kondenser çıkışında aşırı soğutulması durumunun da incelenmesi yararlı olacaktır.Diger taraftan sistemin ara soğutma kaplı sıvı seviye kontrollü tek genleşmeli iki kademeli çalışma durumunda da incelenmesi yararlı olacaktır.

Son yıllarda ozon tabakasında delinmelerin artması ve dünya sıcaklığının giderek yükselmesi nedenleriyle, çevreci örgütlerin de baskısıyla, ozon tabakasına zarar verebilecek ve sera etkisini artıracak soğutucu akışkanların tamamen yasaklanması gündemdedir. Bu yasaklamalarla ilgili hemen her gün birtakım kararlar alınmaktadır. Türkiye de bu kararlara uymakta ve takip etmektedir. Bu nedenle soğutma sistemlerini tasarlarken soğutucu akışkanlarla ilgili Dünya ve ülkemizde alınan çevresel kararların güncel olarak takip edilmesi gerekmektedir. Aksi taktirde tasarlampi olduğumuz soğutma sisteminin pratik uygulamalarda kullanımı mümkün olmayacağındır.

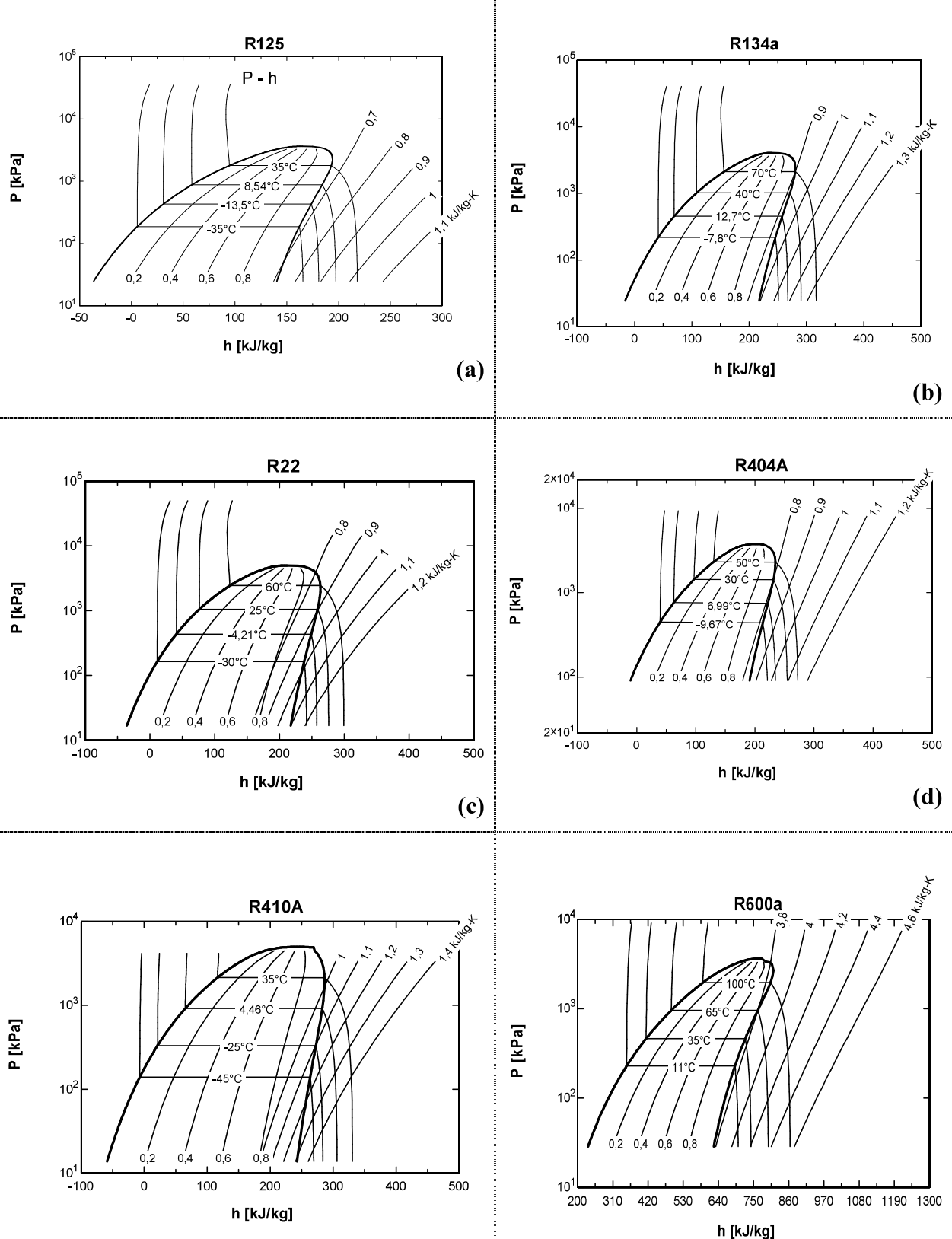
KAYNAKLAR

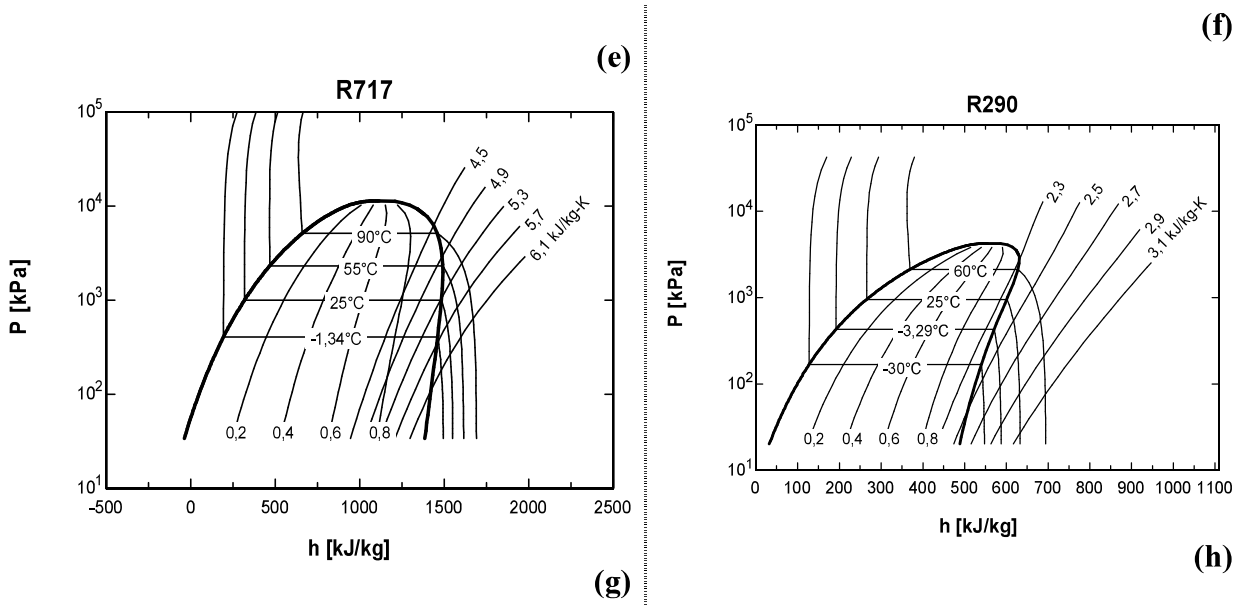
- Aktoprakoğlu, A., ve Yapıçı, R.,** 2006: Ejektorlu Soğutma Sisteminin Performansına Geometrik Parametrelerin Etkisinin İncelenmesi, Yüksek Lisans Tezi, Selçuk Üniversitesi, Fen Bil. Enstitüsü, 2006.
- ALARKO - CARRIER,** 2006: *Teknik Bülten, No:17*, 2006
- ASHRE,** 2004: “Designation and Safety Classification of Refrigerants”, ASHRAE, 2004, ISSN 1041-2336.
- Bergander, M.J.,** 2006: “Refrigeration Cycle With Two-Phase Condensing Ejector”, International Refrigeration and Air Conditioning Conference at Purdue, July 17-20, 2006.
- Bilir, N., ve H.K.Ersoy.,** 2009: Çift Fazlı Sabit Alanlı Ejektör Kullanarak Buhar Sıkıştırmalı Soğutma Çevrim Etkinliğinin İyileştirilmesi, Yüksek Lisans Tezi, Selçuk Üniversitesi, Fen Bil. Enstitüsü, 2009.
- Bilir, N., Ersoy, H.K., ve Hepbaşlı, A.,** 2011: “Farklı Soğutucu Akışkanlar için Genleştirmeli olarak Ejektör Kullanan Kompresörlü Soğutucunun Performans Analizi” TESKON, 15 Nisan 2011, İzmir
- Cengel, A.Y., ve Boles, A.M.,** 1994: “Thermodynamics: An Engineering Approach”, McGraw-Hill, New York, A.B.D., 1994.
- DENSO,** 2003:<<http://www.globaldenso.com/en/technology/product/airsupply/index.html>>, alındığı tarih 12.05.2011.
- DENSO,** 2004:<http://www.globaldenso.com/en/technology/product/airsupply/files/ejector_cycle_e.pdf>, alındığı tarih 21.11.2011.
- DENSO,** 2006: “Annual Report 2006” Automotive , 2006
- DUPONT,** 2003:<http://www2.dupont.com/Refrigerants/en_US/uses_apps/refrigeration/index.html>, alındığı tarih 15.01.2012.
- EPA** 2012:<http://www.free-press-releasecenter.info/industry_plum.html>, alındığı tarih 12.06.2012.
- IIR,** 2004: *International Energy Conference*, France, 12–15 April, 2004
- IIR,** 2009: <http://www.iifiir.org/ClientBookline/toolkit/p_requests.html>, alındığı tarih 05.10.2011.
- Kornhauser, A.A.,** 1990: “The Use of an Ejector as a Refrigerant Expander”, Proceedings of the 1990 USNC/IIR Purdue Refrigeration Conference, Purdue University:10–19,1990.

- Liao, C.,** 2008: "Gas Ejector Modeling for Design and Analysis", Texas A&M University, December 2008.
- Liu, F., ve Groll, E.A.,** 2008: "Analysis of a Two Phase Flow Ejector For Transcritical CO₂ Cycle" (2008). International Refrigeration and Air Conditioning Conference. Paper 924.
- Moncaster, A.,** 1909: "The Westinghouse-Leblanc", The Westinghouse Machine Company, East Pittsburg, PA, A.B.D.
- Montreal Protocol,** 2000:<<http://ozone.unep.org/pdfs/Montreal-Protocol2000.pdf>>, alındığı tarih 05.01.2012.
- Sun,DW.,** 1997: Solar powered combined ejector vapor compression cycle for air conditioning and refrigeration,Energy Converts,38(5),479-491
- Talley, E.,** 2011: "Hybrid Air Conditioning Systems Overview" Presentations, Southern Illionis Univercity,Carbondale,USA, 04.01.2011.
- TEAP** 2010: "TEAP 2010 Progress Report, Volume 1: Assessment of HCFCs and Environmentally Sound Alternatives." ISBN: 9966-7319-3-8 UNEP Technology and Economic Assessment Panel (TEAP). Nairobi, Kenya May 2010.
- UNEP** 2010: "Guidance of the Process for Selecting Alternatives to HCFCs in Foams." United Nations Environment Programme (UNEP). 2010.
- Üçgül, İ.,** 2008: Soğuk Depolama için Güneş Enerjili Ejektör Soğutma Sistemi Uygulamasının Termodinamik Çevresel ve Ekonomik Analizleri, Pamukkale Üniversitesi Mühendislik Bilimleri Dergisi, Cilt 15, Sayı 2, 2009, Sayfa 269-277
- Yakın, M., ve Özkaraymak, M.,** 2007: Buhar Sıkıştırmalı Soğutma Çevriminde Ejektör Kullanımının Performansa Etkisi, Yüksek Lisans Tezi, Zonguldak Karaelmas Üniversitesi, Fen Bil. Enstitüsü, 2007.

EKLER

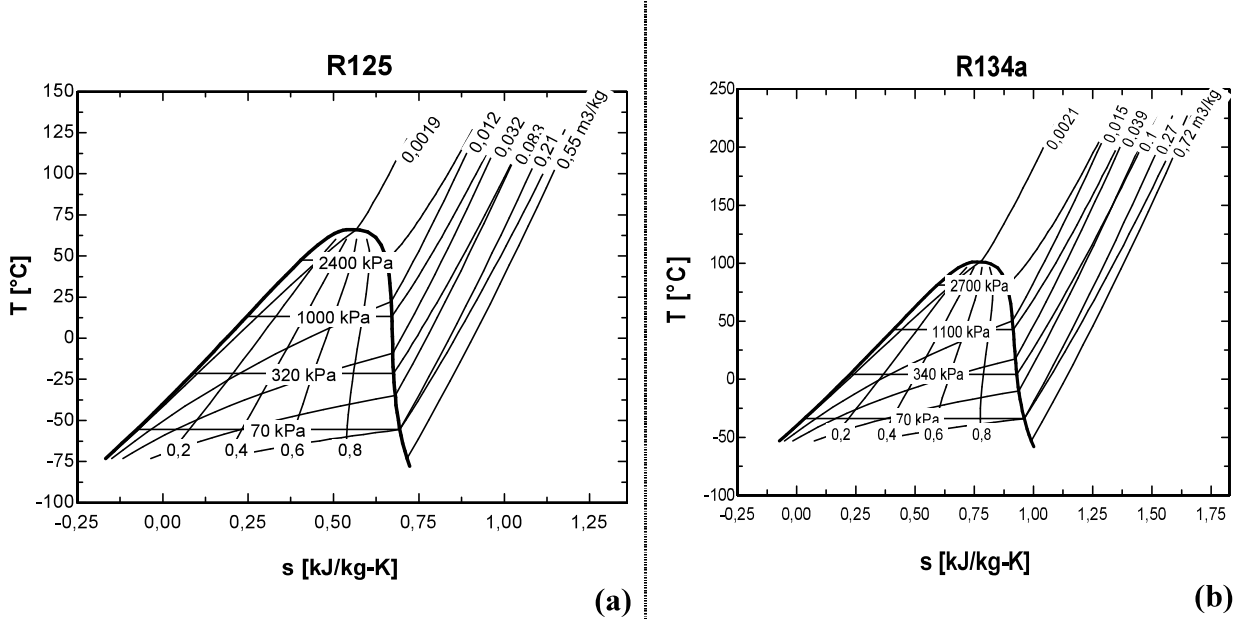
EK A.1 Çalışmada Kullanılan Soğutucu Akişkanlarının Basınç – Entalpi (P – h) Diyagramları

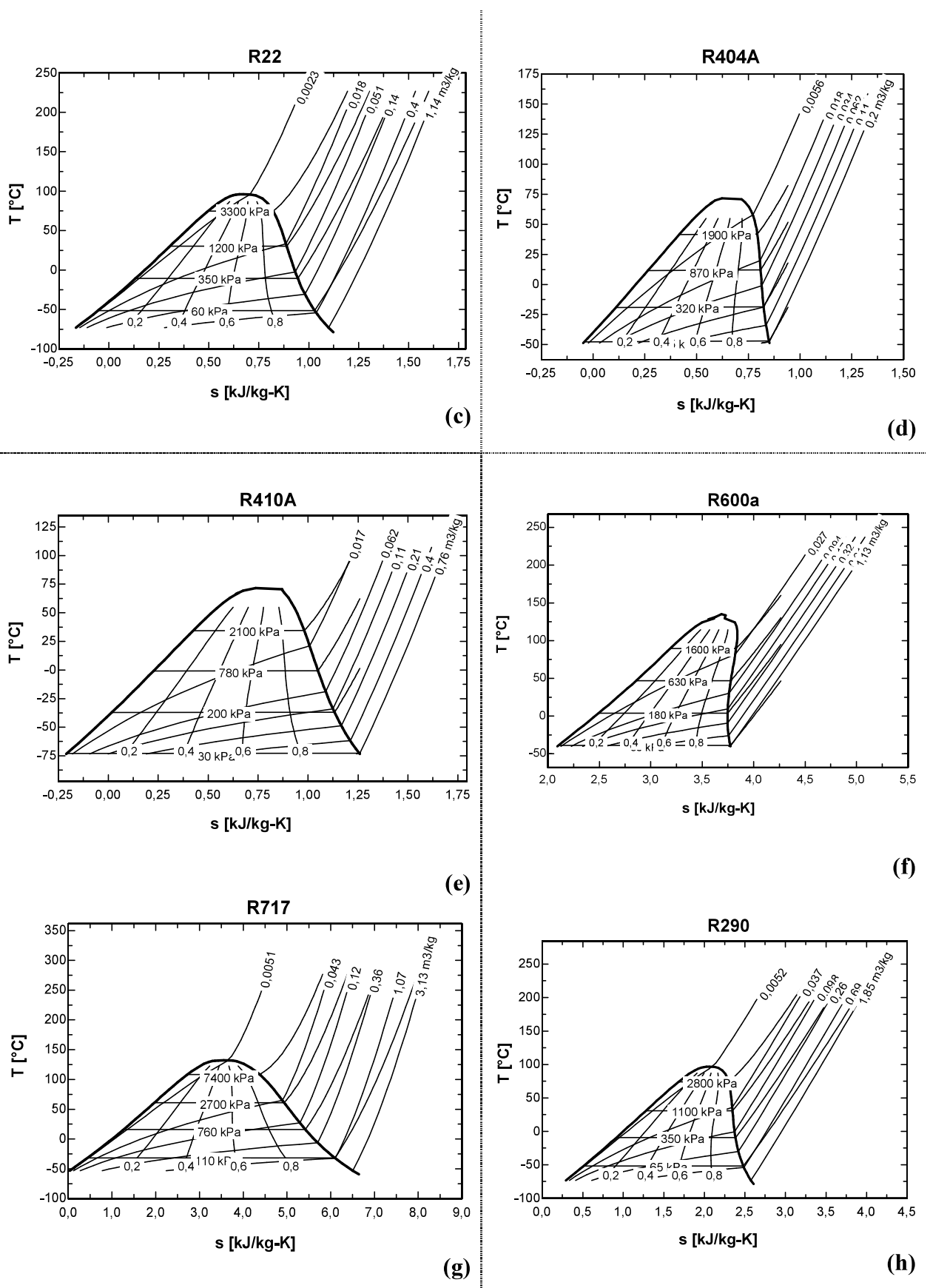




Şekil A.1 : Çalışmada Kullanılan Soğutucu Akışkanların Basınç – Entalpi
Diyagramları: (a)R125 (b)R134a (c)R22 (d)R404A (e)R410A (f)R600a (g)R717
(h)R290

EK A.2 Çalışmada Kullanılan Soğutucu Akışkanların Sıcaklık – Entropi (T – s) Diyagramları





Şekil A.2 : Çalışmada Kullanılan Soğutucu Akışkanlarının Sıcaklık – Entropi
Diyagramları: (a)R125 (b)R134a (c)R22 (d)R404A (e)R410A (f)R600a (g)R717
(h)R290

EK B.1 $T_{kon}= 40 \text{ }^{\circ}\text{C}$, $T_{ev}= 5 \text{ }^{\circ}\text{C}$ Sıcaklık Değerlerine göre R22 için EES' de
Hazırlanmış Program Örneği

EQUATION

```

T[1]=40"C"
T[2]=5"C"
w=0,8
X[1]=0 "assume inlet to be saturated liquid"
P[1]=pressure(R22;T=T[1];X=X[1])
P[1]=P[5]
X[2]=1 "assume inlet to be saturated vapor"
P[2]=pressure(R22;T=T[2];X=X[2])
P[2]=P[7]
Pb=P[2]*0,88 "kPa"
P[8]=Pb
h[1]=ENTHALPY(R22;T=T[1];X=X[1])
s[1]=entropy(R22;T=T[1];X=X[1])
s[1]=s1b
h1bs=ENTHALPY(R22;P=Pb;s=s[1])
nm=0,9"Tahrik Lülesi Verimi"
h1b=(1-nm)*h[1]+nm*h1bs
u1b=(2000*(h[1]-h1b))^0,5
v1b=VOLUME(R22;h=h1b;P=Pb)
a1b=v1b/(u1b*(1+w))
h[2]=ENTHALPY(R22;T=T[2];X=X[2])
ns=0,9"Emme Lülesi Verimi"
s[2]=entropy(R22;T=T[2];X=X[2])
s[2]=s2b
h2bs=ENTHALPY(R22;P=Pb;s=s2b)
h2b=((1-ns)*h[2]+(ns*h2bs))
u2b=(2000*(h[2]-h2b))^0,5
v2b=VOLUME(R22;h=h2b;P=Pb)
a2b=(v2b*w)/(u2b*(1+w))
P3m=P[2]*1,01
P[9]=P3m
u3m=((Pb*(a1b+a2b))+((1/(1+w))*u1b)+((w/(1+w))*u2b)-(P3m*(a1b+a2b)))
h3m=(1/(1+w))*(h[1]+w*h[2])+(u3m*u3m/2000)
v3m=VOLUME(R22;h=h3m;P=P3m)
K=((a1b+a2b)*u3m)/v3m
h[3]=(( h[1]+w* h[2])/(1+w))
nd=0,8 "difüzör verimi"
h3s= nd*(h[3]-h3m)+h3m
X[3]=(1/(1+w))
P[3]=PRESSURE(R22;X=X[3];h=h[3])
P[3]=P[4]
P[4]=P[6]
X[6]=0
h[6]=ENTHALPY(R22;P=P[6];X=X[6])
h[7]=h[6]
Qe=(h[2]-h[7])*w/(1+w)
X[4]=1
s[4]=ENTROPY(R22;P=P[4];X=X[4])
s5s=s[4]
h5s=ENTHALPY(R22;s=s5s;P=P[1])

```

```

h[4]=ENTHALPY(R22;P=P[4];X=X[4])
nkomp=0,75
h[5]=((h5s-h[4])/nkomp)+h[4]
Wkomp=(h[5]-h[4])/(1+w)
COPi=Qe/Wkomp
qek=(h[2]-h[1])
hkompisk=ENTHALPY(R22;s=s[2];P=P[1])
hkompk=((hkompisk-h[2])/nkomp)+h[2]
Wkompk=hkompk-h[2]
COPk=qek/Wkompk
COPt=(COPi-COPk)/COPk
Aopt=(a1b+a2b)/a1b
ε=P[5]/P[4]

```

EK B.2 $T_{kon} = 40 \text{ }^{\circ}\text{C}$, $T_{ev} = 5 \text{ }^{\circ}\text{C}$ Sıcaklık Değerlerine göre R22 için Hazırlanan EES Programından Elde Edilen Çıktı Örneği

SOLUTION

Variables in Main

```

a1b=0,0000698
a2b=0,0002747
Aopt=6,536
h1b=246,2 [kJ/kg]
h1bs=245,8 [kJ/kg]
h2b=404,1 [kJ/kg]
h2bs=403,8 [kJ/kg]
h3m=322,8 [kJ/kg]
h3s=320,2 [kJ/kg]
h5s=429,4 [kJ/kg]
hkompisk=430,7 [kJ/kg]
hkompk=438,6 [kJ/kg]
h[1]=249,8 [kj/kg]
h[2]=406,8 [kj/kg]
h[3]=319,6 [kj/kg]
h[4]=407,8 [kj/kg]
h[5]=436,6 [kj/kg]
h[6]=209,3 [kj/kg]
h[7]=209,3 [kj/kg]
K=1,17 [kg/s]
nd=0,8
nkomp=0,75
nm=0,9
ns=0,9
P3m=590,1 [kPa]
Pb=514,2 [kPa]
P[1]=1534 [kPa]
P[2]=584,3 [kPa]
P[3]=637,8 [kPa]
P[4]=637,8 [kPa]
P[5]=1534 [kPa]
P[6]=637,8 [kPa]
P[7]=584,3 [kPa]
P[8]=514,2 [kPa]
P[9]=590,1 [kPa]

```

Qe=87,77 [kW]
 qek=157
 s1b=1,167 [kJ/kg·K]
 s2b=1,743 [kJ/kg·K]
 s5s=1,74 [kJ/kg·K]
 s[1]=1,167 [kJ/kg·K]
 s[2]=1,743 [kJ/kg·K]
 s[4]=1,74 [kJ/kg·K]
 T[1]=40 [C]
 T[2]=5 [C]
 u1b=85,01 [m/s]
 u2b=73,43 [m/s]
 u3m=79,83 [m/s]
 v1b=0,01068 [m^3/kg]
 v2b=0,04539 [m^3/kg]
 v3m=0,02351
 w=0,8
 Wkomp=16,01 [kW]
 Wkompk=31,81 [kW]
 X[1]=0
 X[2]=1
 X[3]=0,5556
 X[4]=1
 X[6]=0
 $\varepsilon=2,405$
 COPi=5,484 COPk=4,935 COPr=0,1112

EK C.1 $T_{kon}= 40 \text{ } ^\circ\text{C}$, $T_{ev}= 5 \text{ } ^\circ\text{C}$ Sıcaklık Değerlerine göre R410A için EES' de Hazırlanmış Program Örneği

EQUATION

```

T[1]=40"C"
T[2]=5"C"
w=0,74
X[1]=0 "assume inlet to be saturated liquid"
P[1]=pressure(R410A;T=T[1];X=X[1])
P[1]=P[5]
X[2]=1 "assume inlet to be saturated vapor"
P[2]=pressure(R410A;T=T[2];X=X[2])
P[2]=P[7]
Pb=P[2]*0,86 "kPa"
P[8]=Pb
h[1]=ENTHALPY(R410A;T=T[1];X=X[1])
s[1]=entropy(R410A;T=T[1];X=X[1])
s[1]=s1b
h1bs=ENTHALPY(R410A;P=Pb;s=s[1])
nm=0,9"Tahrik Lülesi Verimi"
h1b=(1-nm)*h[1]+nm*h1bs
u1b=(2000*(h[1]-h1b))^0,5
v1b=VOLUME(R410A;h=h1b;P=Pb)
a1b=v1b/(u1b*(1+w))
h[2]=ENTHALPY(R410A;T=T[2];X=X[2])
ns=0,9"Emme Lülesi Verimi"

```

```

s[2]=entropy(R410A;T=T[2];X=X[2])
s[2]=s2b
h2bs=ENTHALPY(R410A;P=Pb;s=s2b)
h2b=((1-ns)*h[2]+(ns*h2bs))
u2b=(2000*(h[2]-h2b))^0,5
v2b=VOLUME(R410A;h=h2b;P=Pb)
a2b=(v2b*w)/(u2b*(1+w))
P3m=P[2]*1,005
P[9]=P3m
u3m=((Pb*(a1b+a2b))+((1/(1+w))*u1b)+((w/(1+w))*u2b)-(P3m*(a1b+a2b)))
h3m=(1/(1+w))*(h[1]+w*h[2])+(u3m*u3m/2000)
v3m=VOLUME(R410A;h=h3m;P=P3m)
K=((a1b+a2b)*u3m)/v3m
h[3]=(( h[1]+w* h[2])/(1+w))
nd=0,8 "difüzör verimi"
h3s= nd*(h[3]-h3m)+h3m
X[3]=(1/(1+w))
P[3]=PRESSURE(R410A;X=X[3];h=h[3])
P[3]=P[4]
P[4]=P[6]
X[6]=0
h[6]=ENTHALPY(R410A;P=P[6];X=X[6])
h[7]=h[6]
Qe=(h[2]-h[7])*w/(1+w)
X[4]=1
s[4]=ENTROPY(R410A;P=P[4];X=X[4])
s5s=s[4]
h5s=ENTHALPY(R410A;s=s5s;P=P[1])
h[4]=ENTHALPY(R410A;P=P[4];X=X[4])
nkomp=0,75
h[5]=((h5s-h[4])/nkomp)+h[4]
Wkomp=(h[5]-h[4])/(1+w)
COPi=Qe/Wkomp
qek=(h[2]-h[1])
hkompisk=ENTHALPY(R410A;s=s[2];P=P[1])
hkompk=((hkompisk-h[2])/nkomp)+h[2]
Wkompk=hkompk-h[2]
COPk=qek/Wkompk
COPt=(COPi-COPk)/COPk
Aopt=(a1b+a2b)/a1b
ε=P[5]/P[4]

```

EK C.2 $T_{kon}= 40 \text{ } ^\circ\text{C}$, $T_{ev}= 5 \text{ } ^\circ\text{C}$ Sıcaklık Değerlerine göre R410A için Hazırlanan
EES Programından Elde Edilen Çıktı Örneği

SOLUTION

Variables in Main
 $a1b=0,00005407$
 $a2b=0,0001634$
 $Aopt=6,702$
 $h1b=120,5 \text{ [kJ/kg]}$
 $h1bs=119,9 \text{ [kJ/kg]}$
 $h2b=279,3 \text{ [kJ/kg]}$

h2bs=278,9 [kJ/kg]
 h3m=197 [kJ/kg]
 h3s=193,4 [kJ/kg]
 h5s=306,9 [kJ/kg]
 hkompisk=308,4 [kJ/kg]
 hkompk=316,9 [kJ/kg]
 h[1]=125,7 [kj/kg]
 h[2]=282,8 [kj/kg]
 h[3]=192,5 [kj/kg]
 h[4]=283,4 [kj/kg]
 h[5]=314,7 [kj/kg]
 h[6]=69,75 [kj/kg]
 h[7]=69,75 [kj/kg]
 K=1,204 [kg/s]
 nd=0,8
 nkomp=0,75
 nm=0,9
 ns=0,9
 P3m=935 [kPa]
 Pb=800 [kPa]
 P[1]=2416 [kPa]
 P[2]=930,3 [kPa]
 P[3]=1000 [kPa]
 P[4]=1000 [kPa]
 P[5]=2416 [kPa]
 P[6]=1000 [kPa]
 P[7]=930,3 [kPa]
 P[8]=800 [kPa]
 P[9]=935 [kPa]
 Qe=90,6 [kW]
 qek=157
 s1b=0,457 [kJ/kg·K]
 s2b=1,039 [kJ/kg·K]
 s5s=1,034 [kJ/kg·K]
 s[1]=1,167 [kJ/kg·K]
 s[2]=1,743 [kJ/kg·K]
 s[4]=1,74 [kJ/kg·K]
 T[1]=40 [C]
 T[2]=5 [C]
 u1b=102,4 [m/s]
 u2b=83,7 [m/s]
 u3m=94,42 [m/s]
 v1b=0,009635 [m^3/kg]
 v2b=0,03216 [m^3/kg]
 v3m=0,01706
 w=0,74
 Wkomp=18,01 [kW]
 Wkompk=34,13 [kW]
 X[1]=0
 X[2]=1
 X[3]=0,5747
 X[4]=1
 X[6]=0
 ε =2,416
 COPi=5,031 COPk=4,602 COPr=0,095

ÖZGEÇMİŞ



Ad Soyad: İlker GÖKAY

Doğum Yeri ve Tarihi: DİNAR-1983

Adres: Tepe Mah.36.Sok.Yasemin Apt.No:13/6 Marmaris/MUĞLA

Lisans Üniversite: Süleyman Demirel Üniversitesi - Makine Mühendisliği Bölümü